

ECMO

Extra Corporeal Membrane Oxygenation

QUE ES EL ECMO

HISTORIA – EVOLUCION – SITUACION MUNDIAL



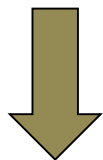
Dr. Alberto Díaz Seminario

Médico Intensivista

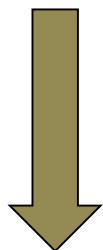
Sociedad Peruana de Medicina Intensiva

Extracorporeal Life Support Organization

40' - 50'



Cirugía a corazón abierto

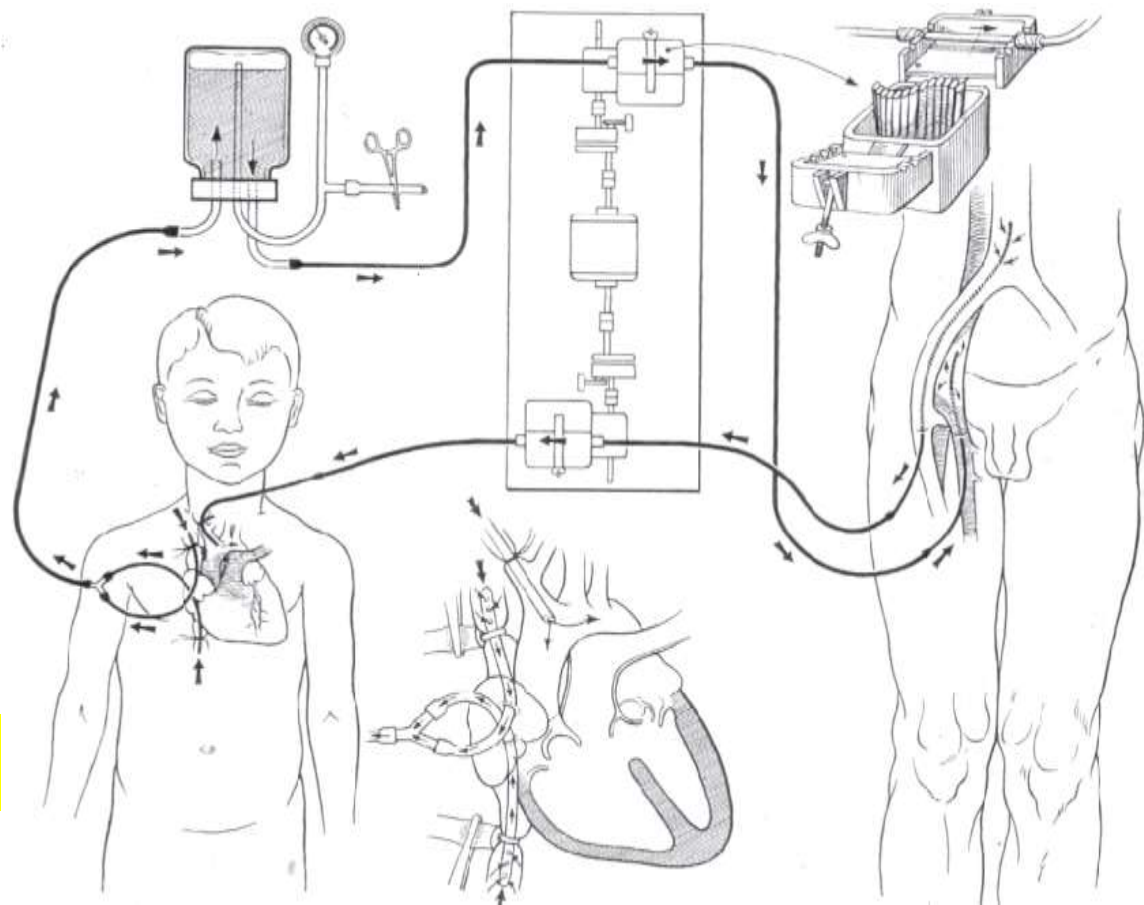


Circulación cruzada controlada

Circulación extracorporea

Sistema de circulación cruzada
1954 - C. W. Lillehei.

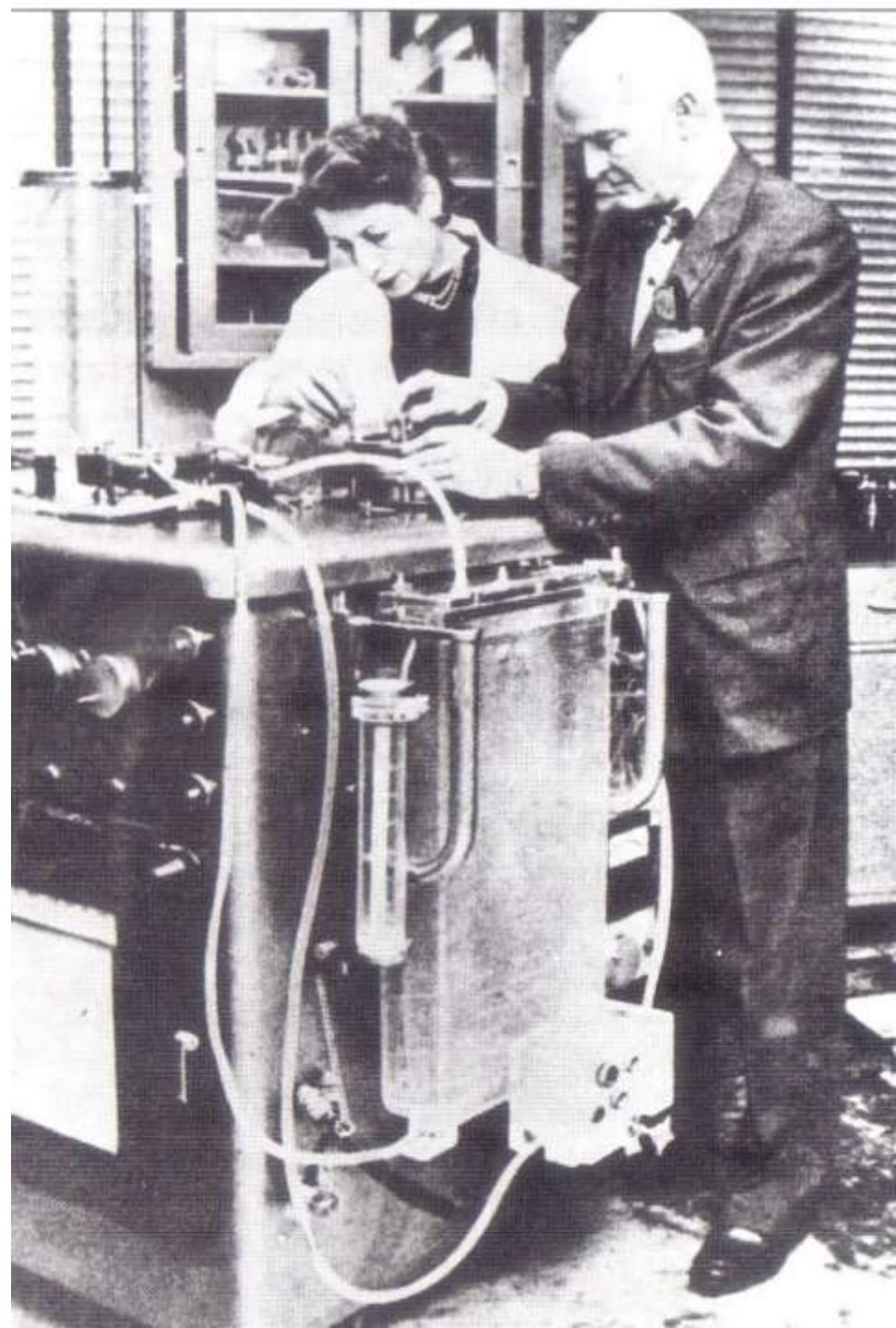
32 pacientes



Esquema de circulación cruzada controlada, en la que un "donante", habitualmente el padre o la madre de un niño, servía como bomba y oxigenador para efectuar la cirugía a corazón abierto.

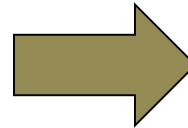
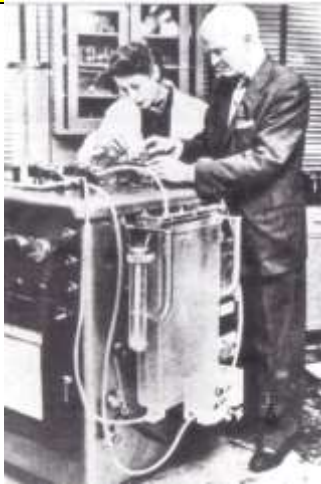
1

6 de Mayo de 1953
Dr. John H. Gibbon
Hospital Jefferson en Filadelfia



1

6 de Mayo de 1953
Dr. John H. Gibbon
Hospital Jefferson en Filadelfia



Cecilia Bavolek , 18 años

Comunicación
interauricular (CIA)



26 minutos de
circulación
extracorpórea

1936
Charles Best



Síntesis de heparina

1939 ATS
Dr. Gibbon

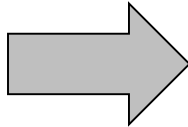


Supervivencia de 4
animales de
laboratorio sometidos
a extracorpórea

1944 Thomas Watson
IBM

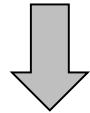


6 de Mayo de 1953
Dr. John H. Gibbon
Hospital Jefferson en Filadelfia

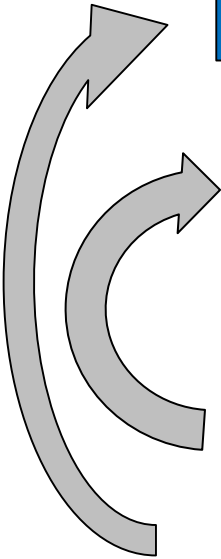
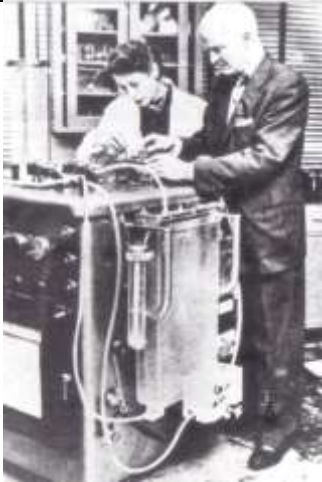


Cecilia Bavolek , 18 años

Comunicación
interauricular (CIA)

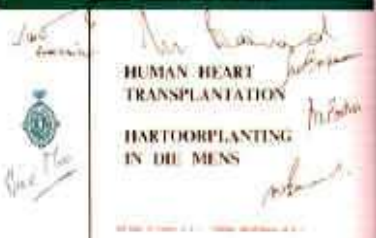


26 minutos de
circulación
extracorpórea

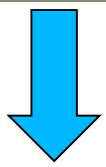


1

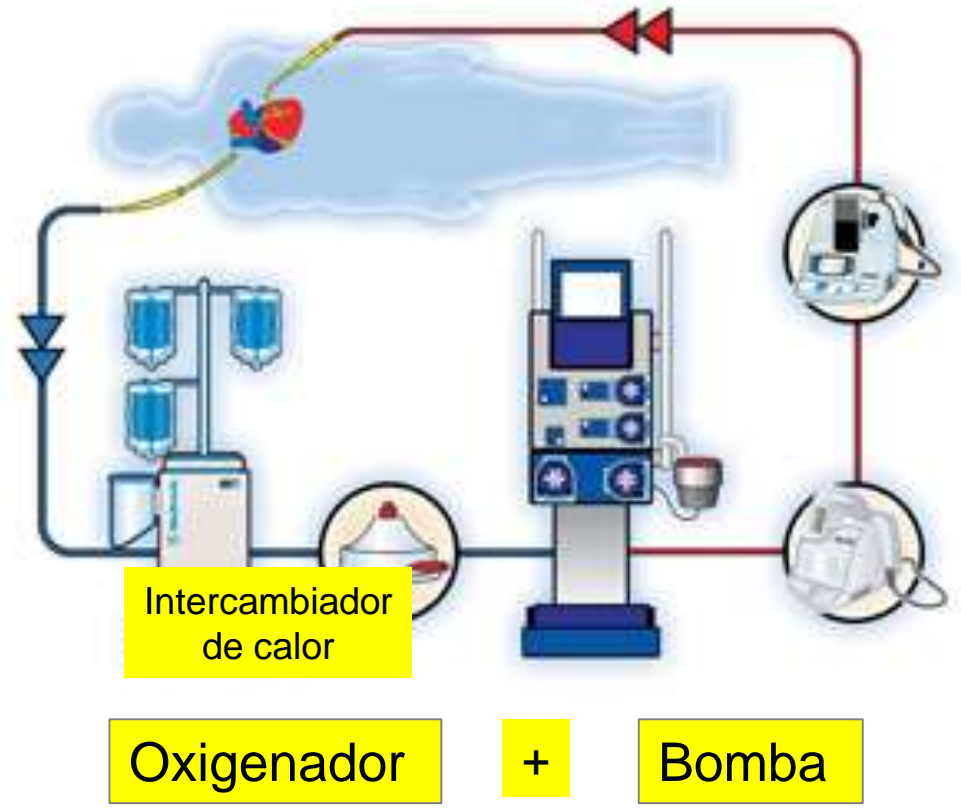
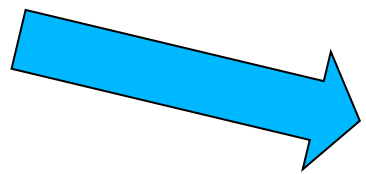
Avances en cirugía cardiopulmonar Transplante cardiaco



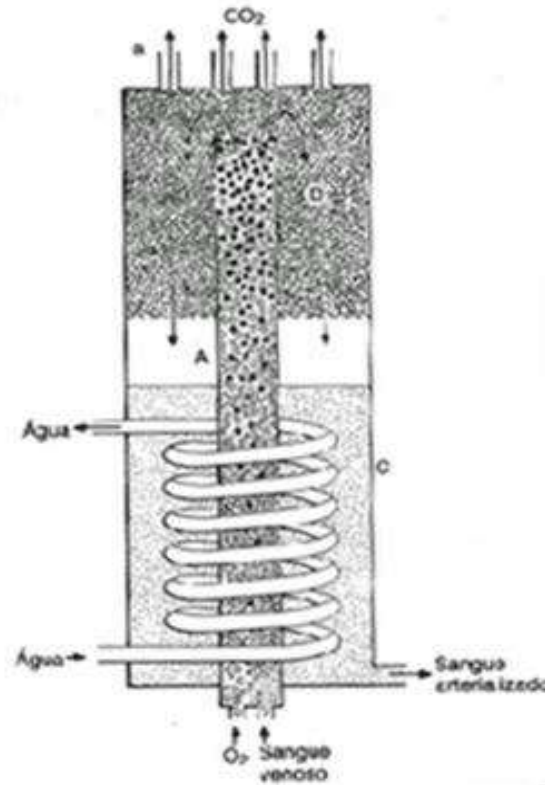
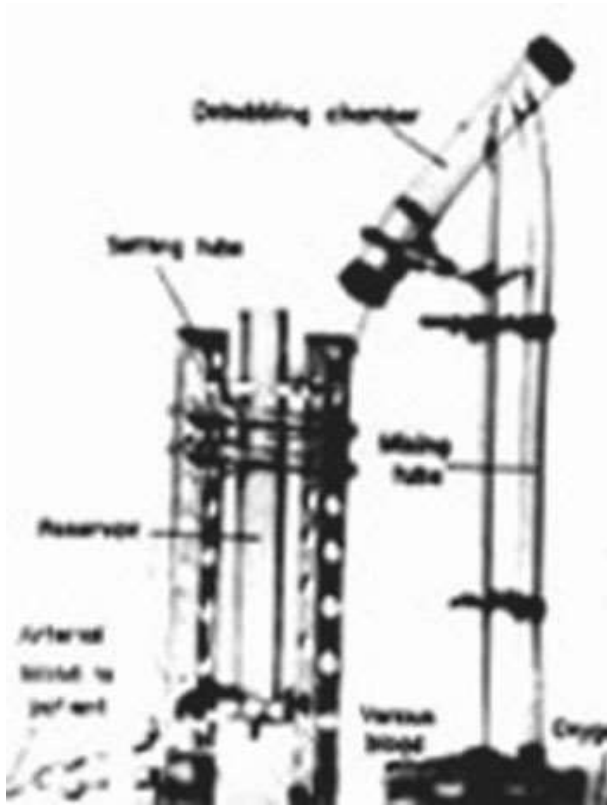
Cirugía con corazón parado



Maquina circulación extracorpórea
o
Máquina de bypass
cardiopulmonar



Evolución sistema de circulación extracorpórea



Oxigenador
de burbujas

1° prototipo del oxigenador de burbujas(Wall-Lillehei). Compuesto del tubo intercambiador de oxígeno (a la derecha), el recipiente para desburbujear (sobre éste) y el reservorio de hélice (a la izquierda).



Oxigenador de burbujas

contacto directo entre la sangre y la fase gaseosa

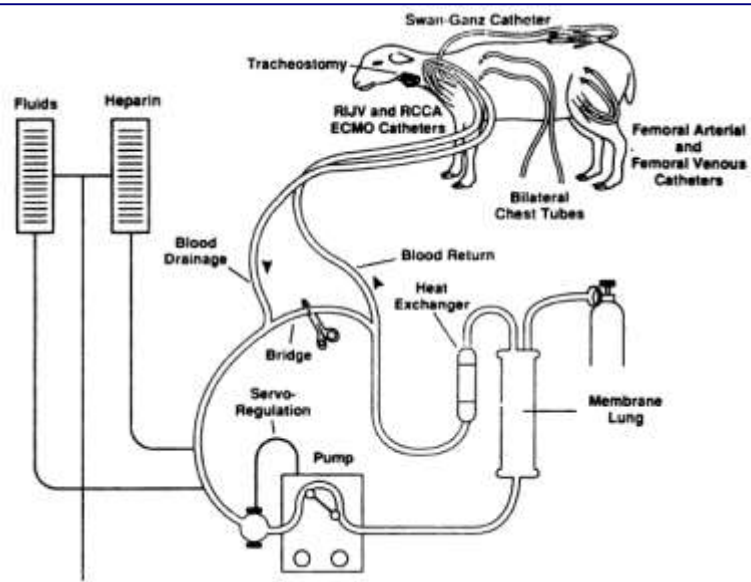


HEMÓLISIS

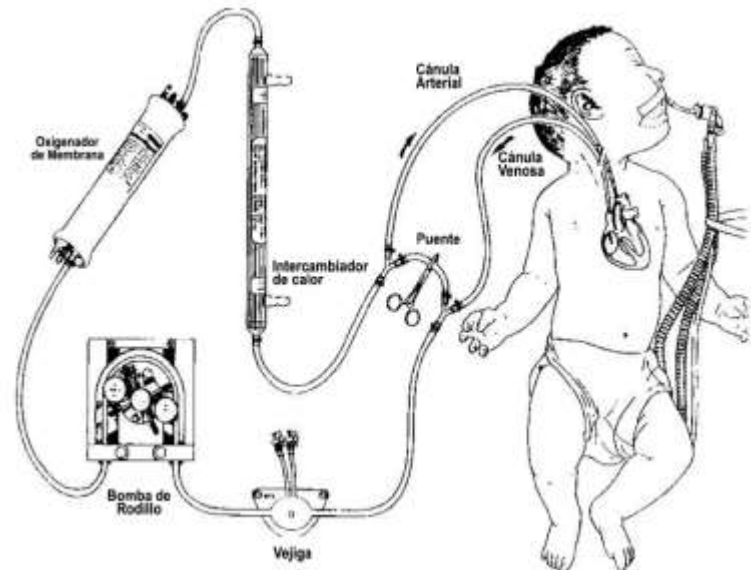


Desarrollo de varios OXIGENADORES DE MEMBRANA

mejor interface en términos de intercambio gaseoso y biocompatibilidad



Separación de las faces hemática y gaseosa por un oxigenador de membrana



Disminuye el daño de los componentes de la sangre

Permite un tiempo más prolongado de perfusión

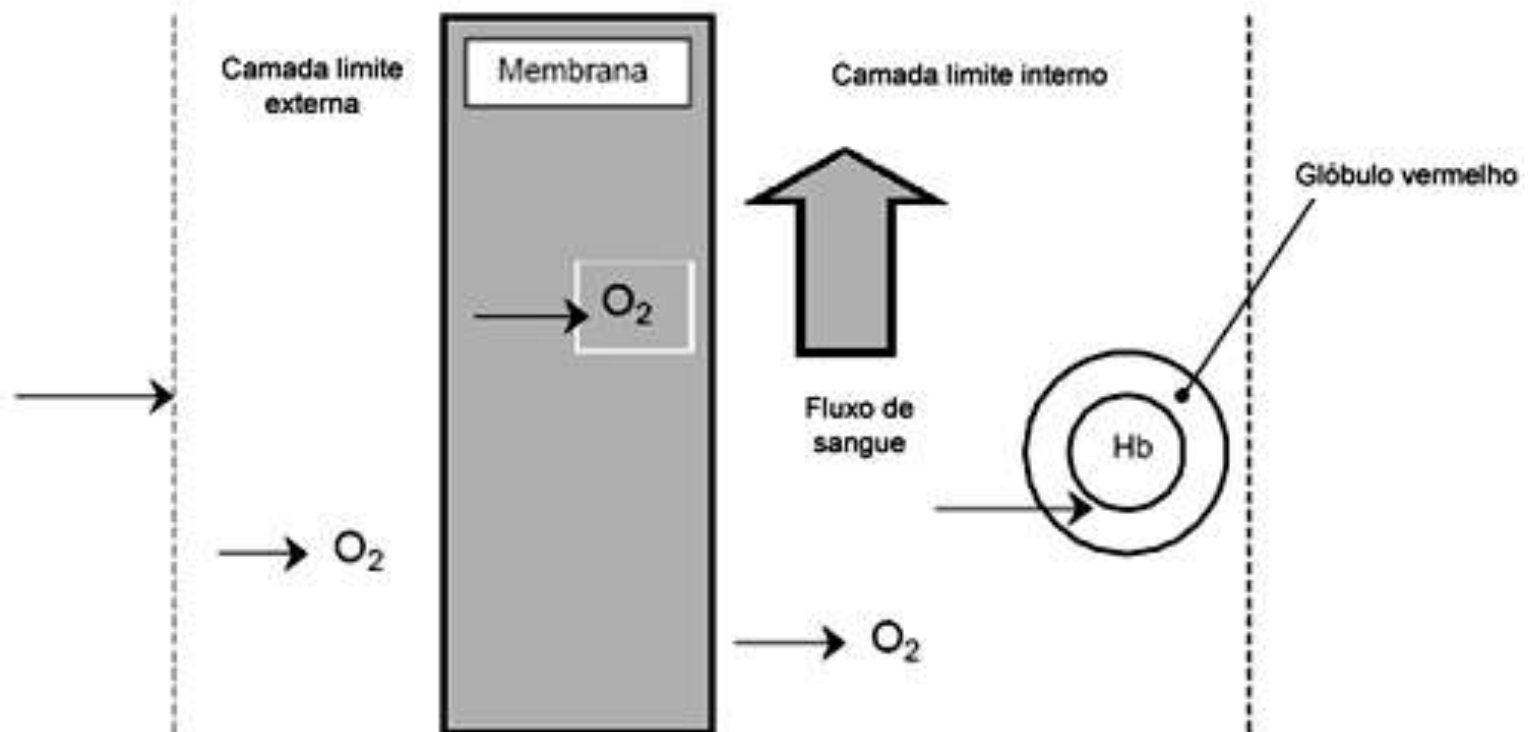
Separación de las fases gaseosa y acuosa



Difusión

Menor hemólisis

Permite tiempos prolongados de uso



Oxigenador de membrana

Membrana de caucho reforzada en silicona, envuelta en plástico con una separación en su interior.

En su exterior hay tubos de caucho y silicona plegados que transportan al interior el flujo de gas que circula de arriba hacia abajo

FIG. 1

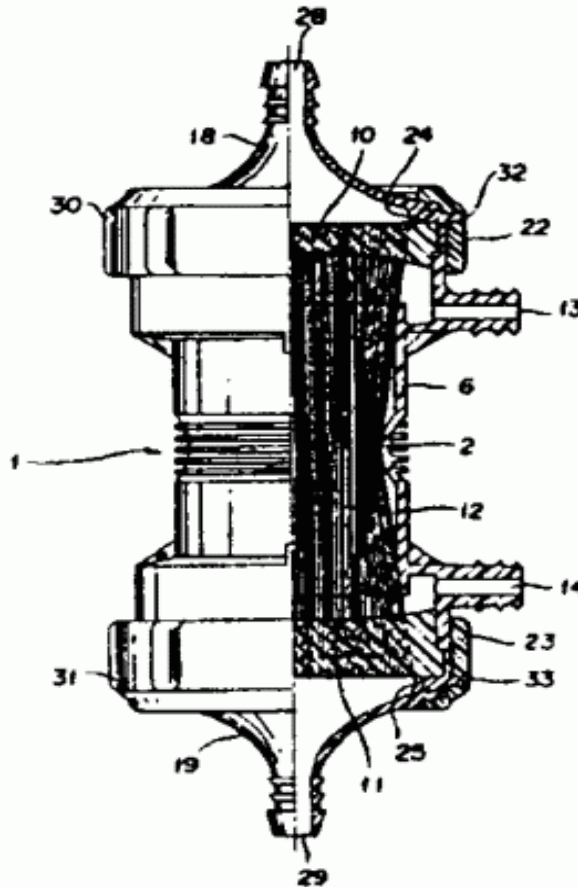
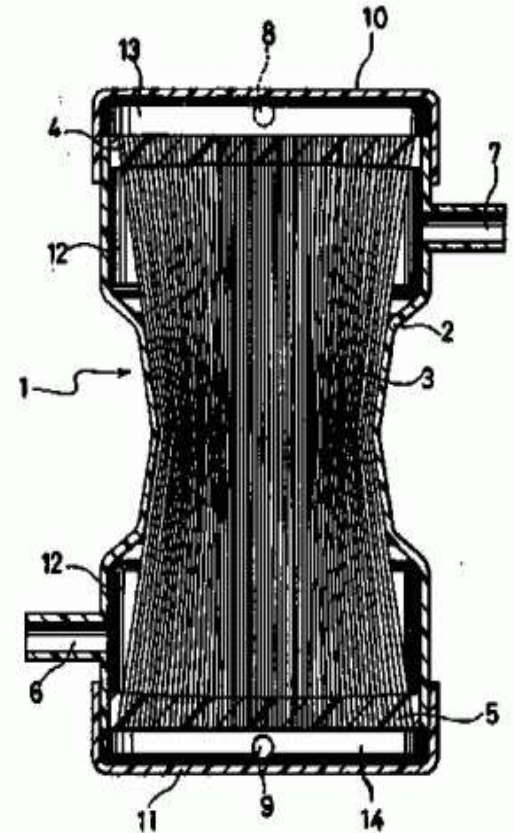
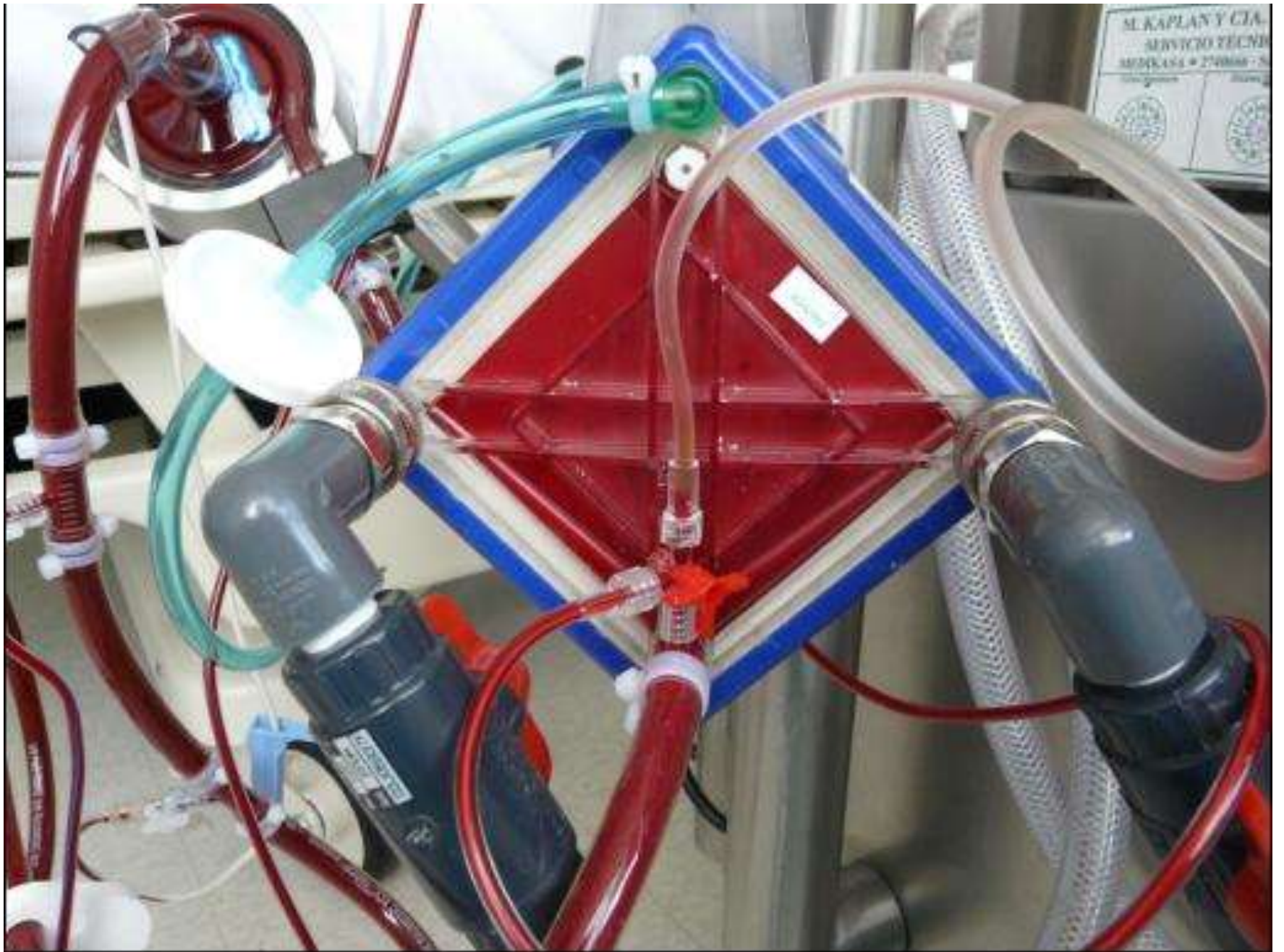


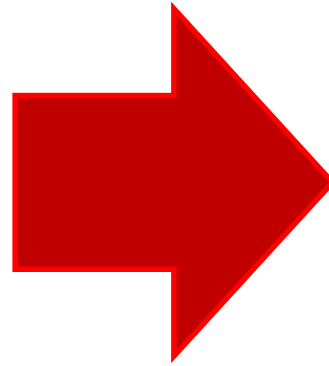
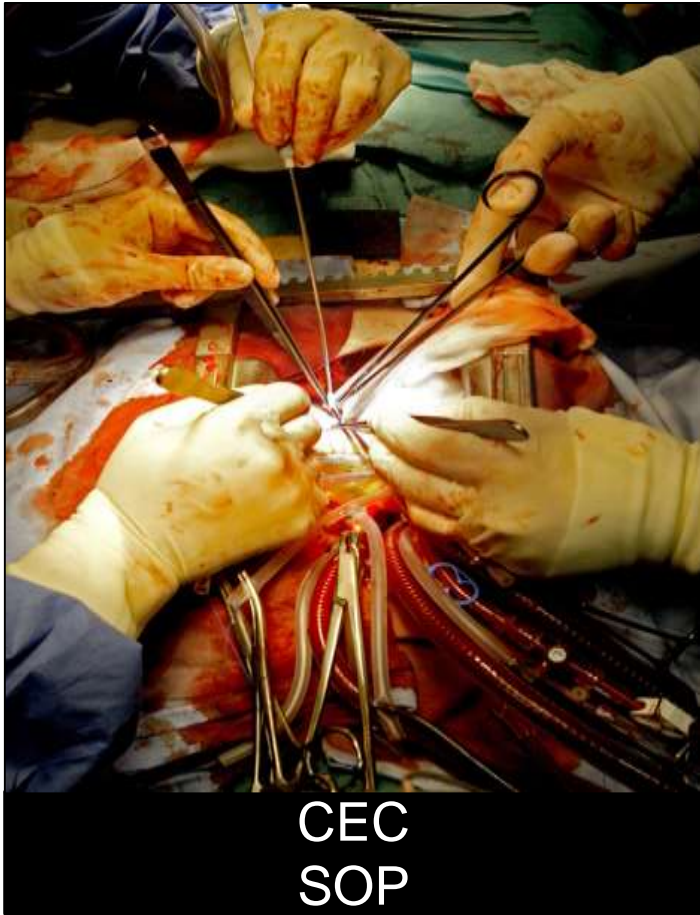
FIG. 1







Separación de las faces hemática y gaseosa por un oxigenador de membrana



La aplicación del soporte extracorpóreo se extendió a la asistencia prolongada de pacientes con insuficiencia respiratoria y cardíaca aguda con cada vez mayor éxito

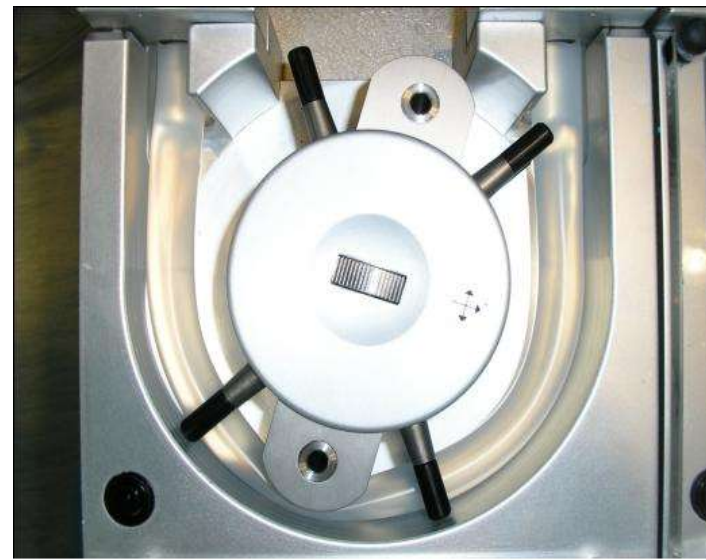
Continúa

**BUSQUEDA DE MEJORES SISTEMAS
DE BOMBA + OXIGENADORES DE
MEMBRANA**

Bombas



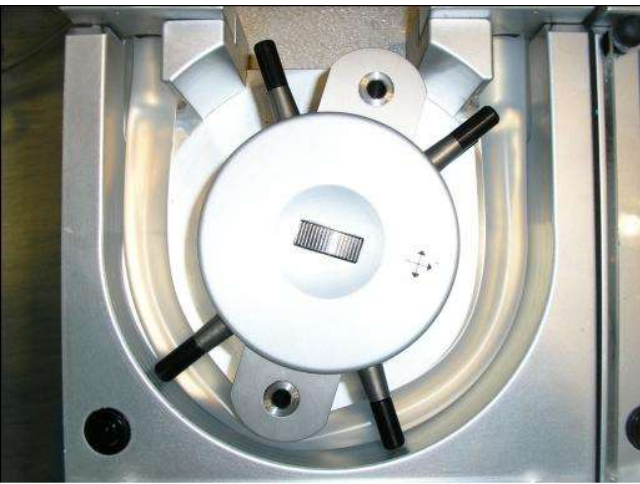
**BOMBAS PERISTALTICAS
DE RODILLO**



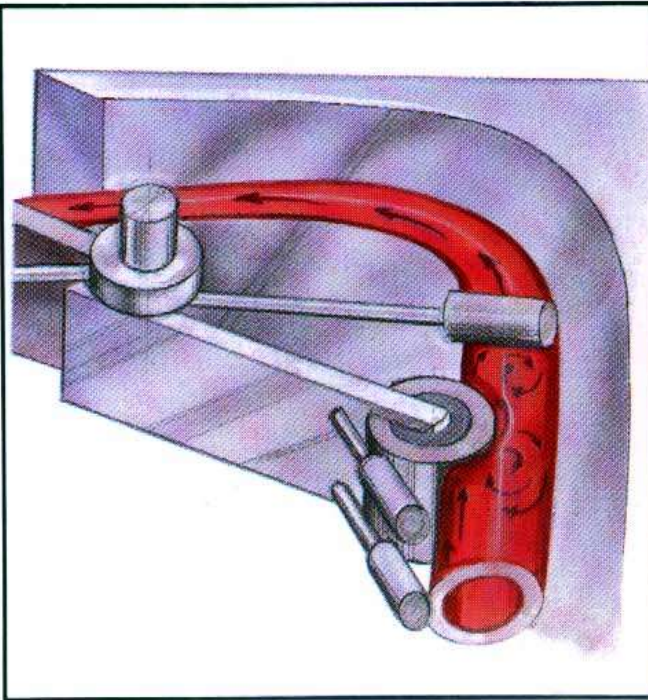
Bombas

Bombas pulsátiles
Bombas no pulsátiles

De rodillo
Impeledor
Centrífuga
Levitación magnética



PERFUSION PUMP TECHNOLOGIES



Roller Pump

(Positive Displacement)

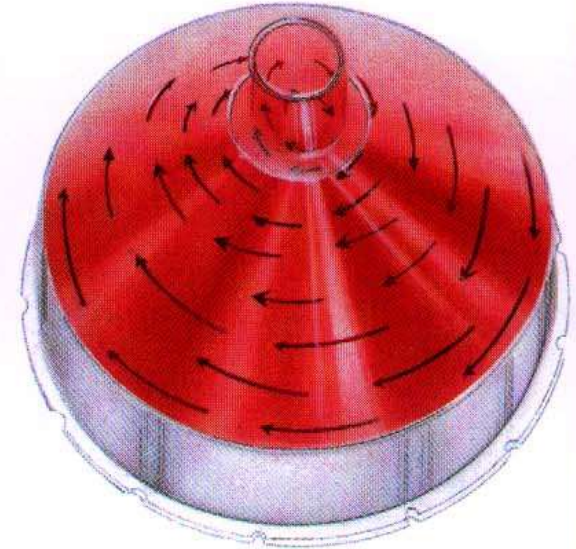
Rollers push the blood along. Leading and trailing edges of rollers create **turbulence** in the blood.



Impeller Pump

(Centrifugal)

Impeller blades push through the blood, creating **turbulence** in areas of positive pressure (leading edge) and negative pressure (trailing edge).



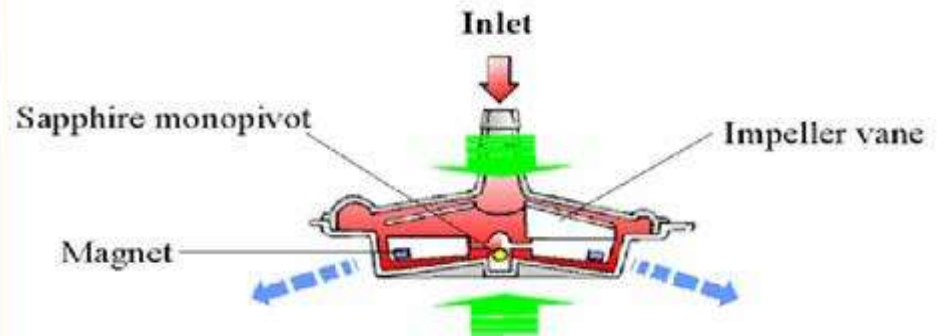
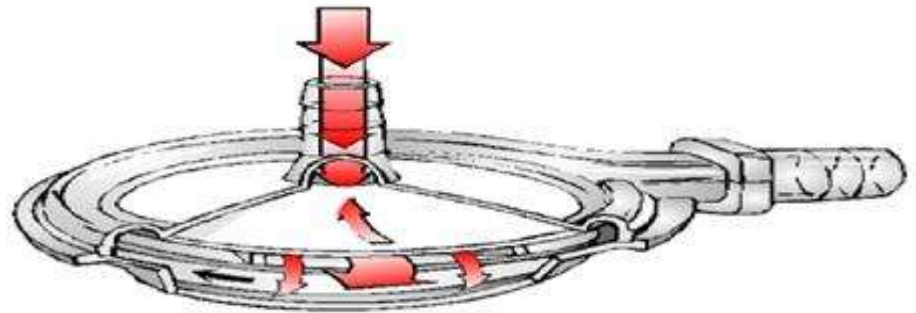
Bio-Medicus Pump

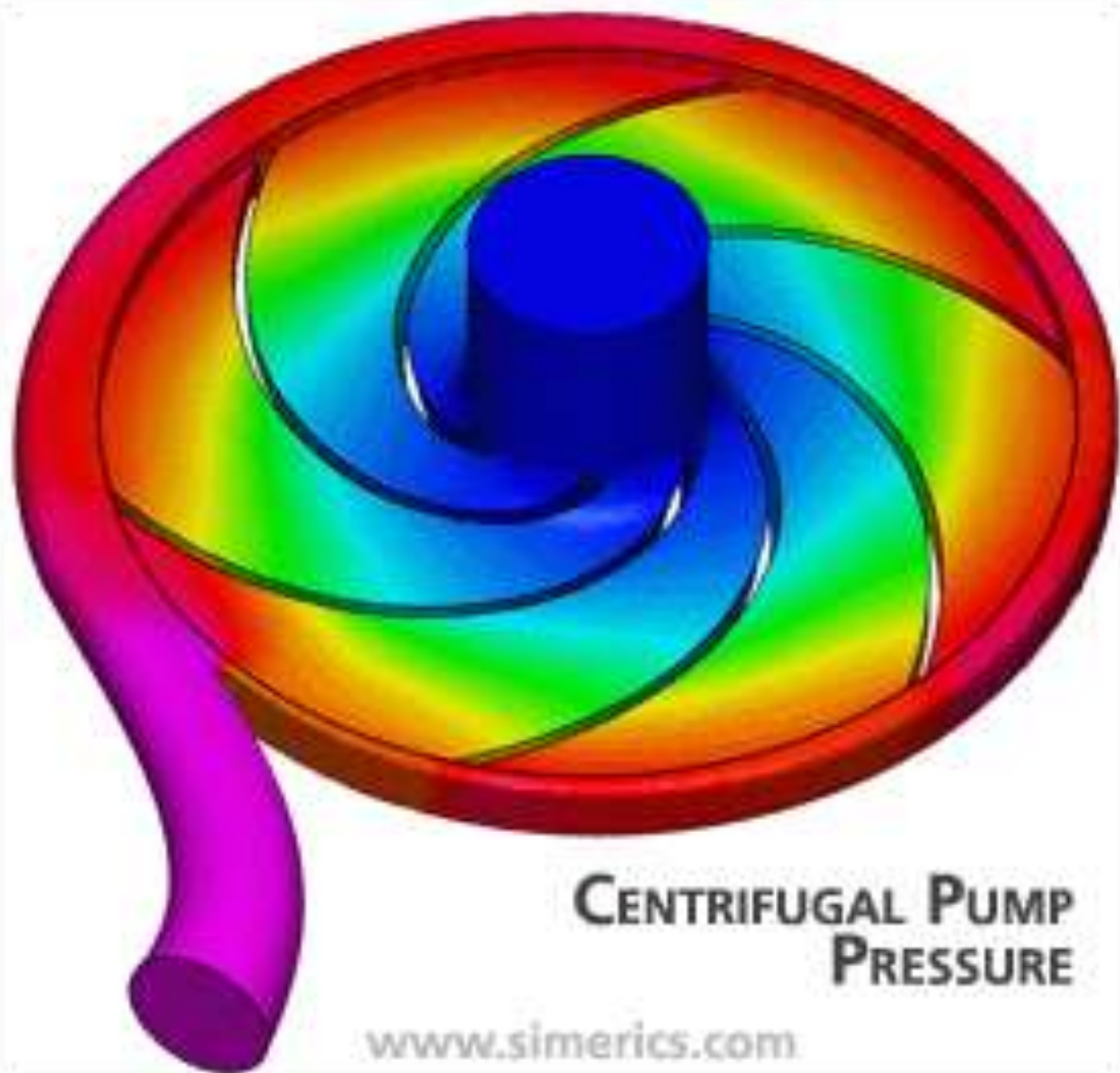
(Centrifugal)

Smooth, rotating cones use viscous drag. Pumping action is smooth and gentle. The blood does its own pumping.



BOMBAS CENTRIFUGAS





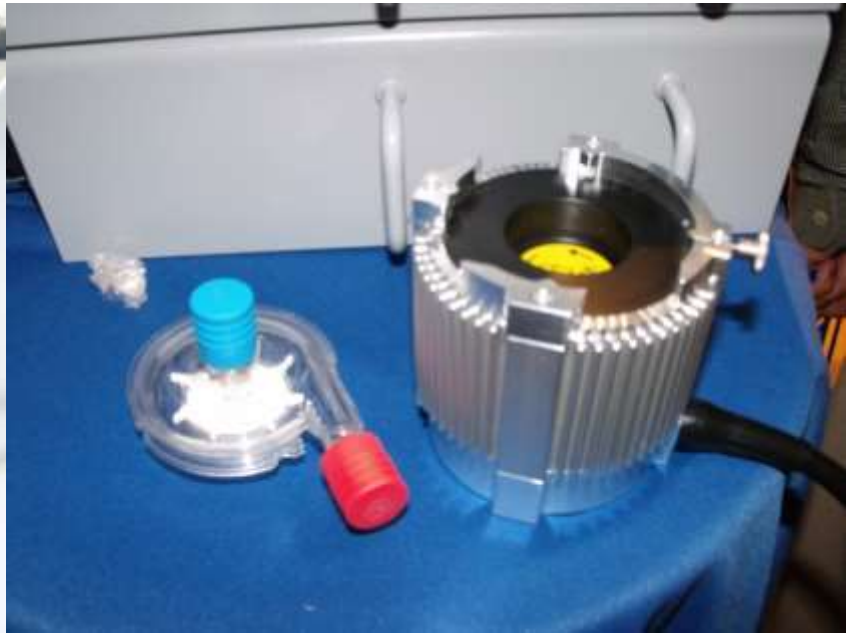
**CENTRIFUGAL PUMP
PRESSURE**

www.simerics.com





**BOMBA
CENTRIFUGA DE
LEVITACION
MAGNETICA**

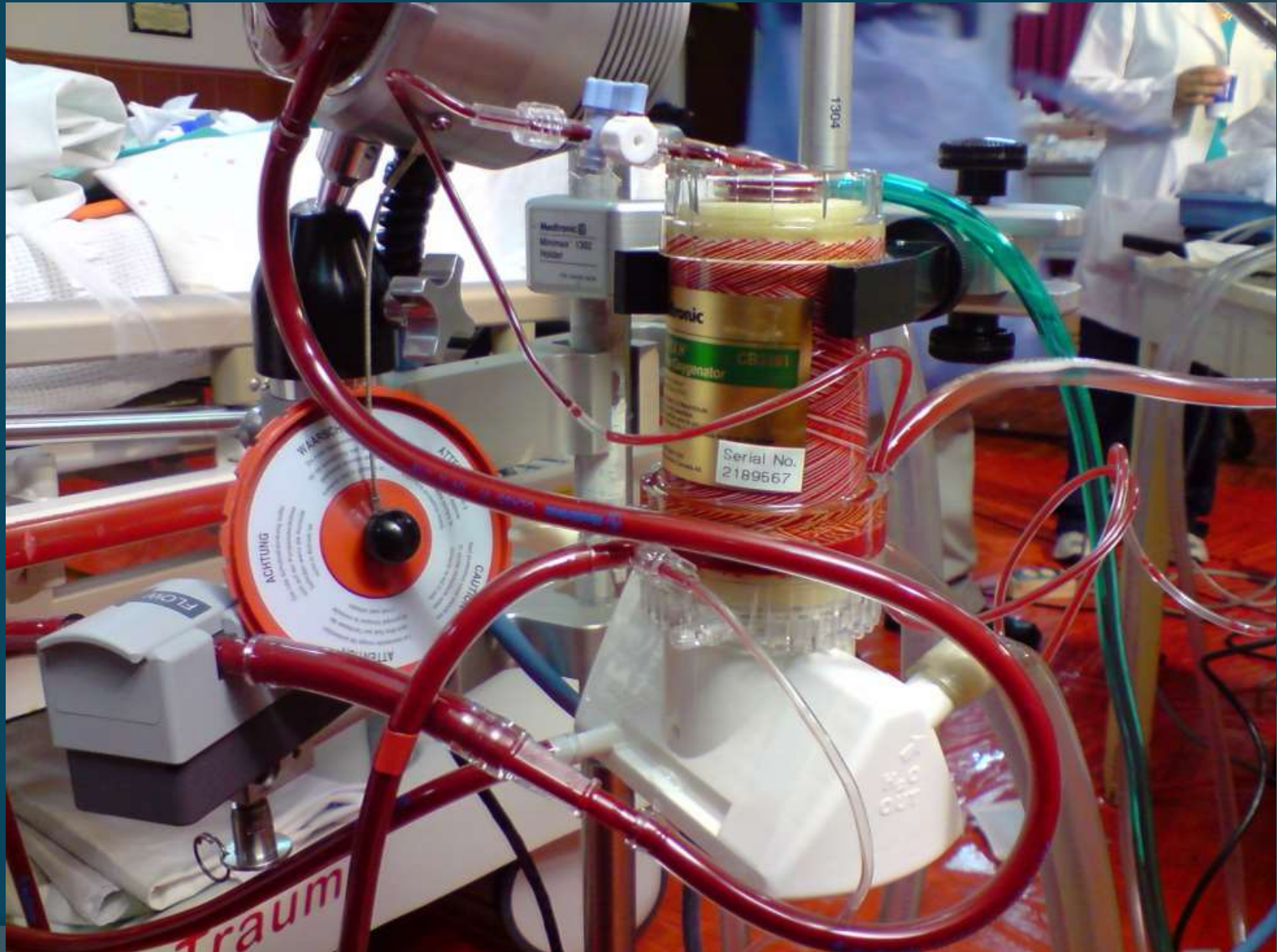


INTERACCION SANGRE

—

BIOMATERIALES ECMO

INTERACCION SANGRE – BIOMATERIALES ECMO



The image shows an ECMO (Extracorporeal Membrane Oxygenation) circuit in an operating room. The circuit consists of red and blue tubes connected to a pump and a membrane oxygenator. The pump is a white device with a clear window showing the internal mechanism. The membrane oxygenator is a large, clear plastic container with a white cap. The circuit is connected to a patient's blood. In the background, a person in a white lab coat is visible, and the word "Traum" is partially visible on a piece of equipment.

ECMO requiere la exposición constante del volumen sanguíneo a una extensa superficie artificial

INTERACCION SANGRE – BIOMATERIALES ECMO

BIOQUIMICA



ACTIVACION CASCADAS
COAGULACION - COMPLEMENTO

ACTIVACION DE PLAQUETAS

ACTIVACION ENDOTELIAL

ACTIVACION – INVASION NEUTROFILOS

SIRS

INTERACCION SANGRE – BIOMATERIALES ECMO

BIOQUIMICA



ACTIVACION CASCADAS
COAGULACION - COMPLEMENTO

ACTIVACION DE PLAQUETAS

ACTIVACION ENDOTELIAL

ACTIVACION – INVASION NEUTROFILOS

SIRS

MECANICA

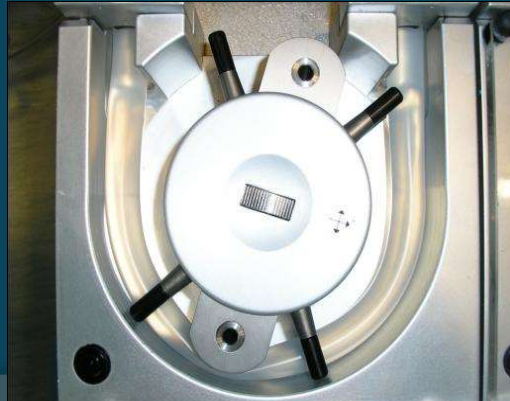
Altas fuerzas mecánicas - fluidos

HEMOLISIS

Catéteres

Bombas

oxigenador



Interpreting Blood-Biomaterial Interactions from Surface Free Energy and Work of Adhesion

Trends Biomater. Artif. Organs, Vol 18 (2), January 2005

Axial dependence of platelet-collagen interactions in flowing blood. Upstream thrombus growth impairs downstream platelet adhesion

KS Sakariassen and HR Baumgartner

Arterioscler Thromb Vasc Biol 1989, 9:33-42

Blood-Surface Interactions During Cardiopulmonary Bypass

L. Henry Edmunds Jr

Journal of Cardiac Surgery

Volume 8, Issue 3, 404-410, May 1993

CELL-SURFACE ADHESIVE INTERACTIONS IN MICROCHANNELS AND MICROVESSELS

First International Conference on
Microchannels and Minichannels
April 24-25, 2003, Rochester, New York, USA

THE INTERACTION OF POLYMER SURFACES WITH BLOOD

T. BEUGELING

*Department of Chemical Technology, Biomaterials Section, Twente
University of Technology, ENSCHEDE, The Netherlands*

Interpreting Blood-Biomaterial Interactions from Surface Free Energy and Work of Adhesion

Trends Biomater. Artif. Organs, Vol 18 (2), January

Axial dependence of platelet-collagen interactions in thrombus growth impairs downstream signaling
KS Sakariassen and

Arterioscler

35-42

Blood-Surface Interactions

J. ...
Vol ...
410

CELL-CELL INTERACTIONS IN MICROVESSELS

First International Conference on
Microchannels and Minichannels
April 24-25, 2003, Rochester, New York, USA

THE INTERACTION OF POLYMER SURFACES WITH BLOOD

T. BEUGELING
Department of Chemical Technology, Biomaterials Section, Twente University of Technology, ENSCHEDE, The Netherlands

Synthetic surfaces exposed to biological fluids adsorb proteins
... how does this mediate the body's ultimate response to a biomaterial?

ECMO



Segundos después . . .



ECMO

Segundos después . . .



MOLECULAR LAYER OF PROTEIN

FIBRINOGENO
ALBUMINA
ALFA GLOBULINA
GAMA GLOBULINA
HAGEMAN FACTOR - XII
OTRAS PROTEINAS



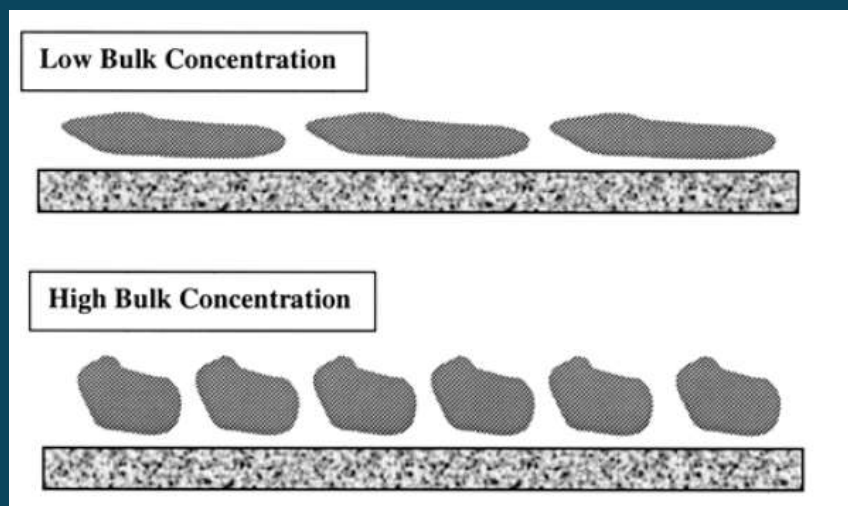
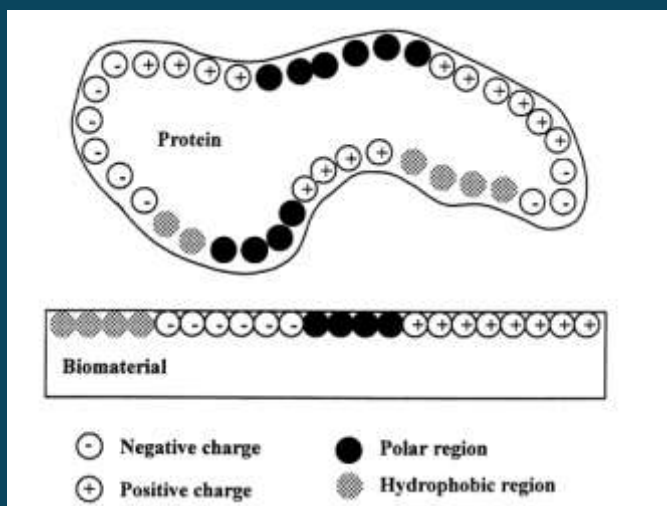
ECMO

Segundos después . . .



MOLECULAR LAYER OF PROTEIN

La naturaleza de las proteínas adsorbidas a la superficie afectan a los otros componentes sanguíneos



Protein-Surface Interactions

ECMO

Segundos después . . .



MOLECULAR LAYER OF PROTEIN

FIBRINOGENO
ALBUMINA
ALFA GLOBULINA
GAMA GLOBULINA
HAGEMAN FACTOR - XII
OTRAS PROTEINAS

Sin Heparina circulante

Activa la cascada de
la coagulación



ECMO

Segundos después . . .



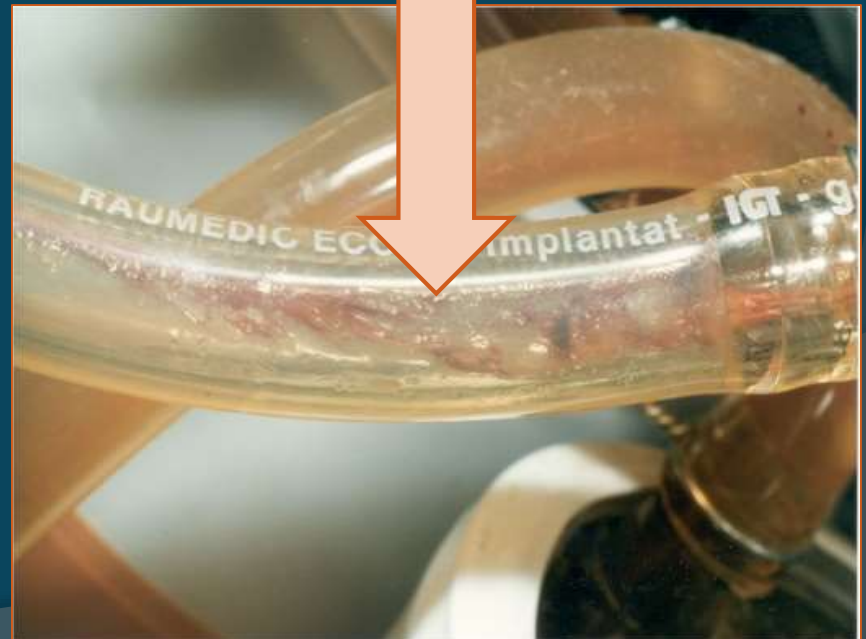
Sin Heparina circulante

Se convierte a fibrina + plaquetas =
trombos blancos

Adhesión fuerte a tubos-conectores
Zonas de alteración de flujo
Turbulencia
Distorsión y agregación de
plaquetas

MOLECULAR LAYER OF PROTEIN

FIBRINOGENO
ALBUMINA
ALFA GLOBULINA
GAMA GLOBULINA
HAGEMAN FACTOR - XII
OTRAS PROTEINAS





MOLECULAR LAYER OF PROTEIN

FIBRINOGENO
ALBUMINA
ALFA GLOBULINA
GAMA GLOBULINA
HAGEMAN FACTOR - XII
OTRAS PROTEINAS

Pre-tratado de circuitos con albúmina

Disminuye unión de otras proteínas al circuito



Monocapa de PROTEINAS
(albumina)



Evita la adherencia
posterior de
proteínas

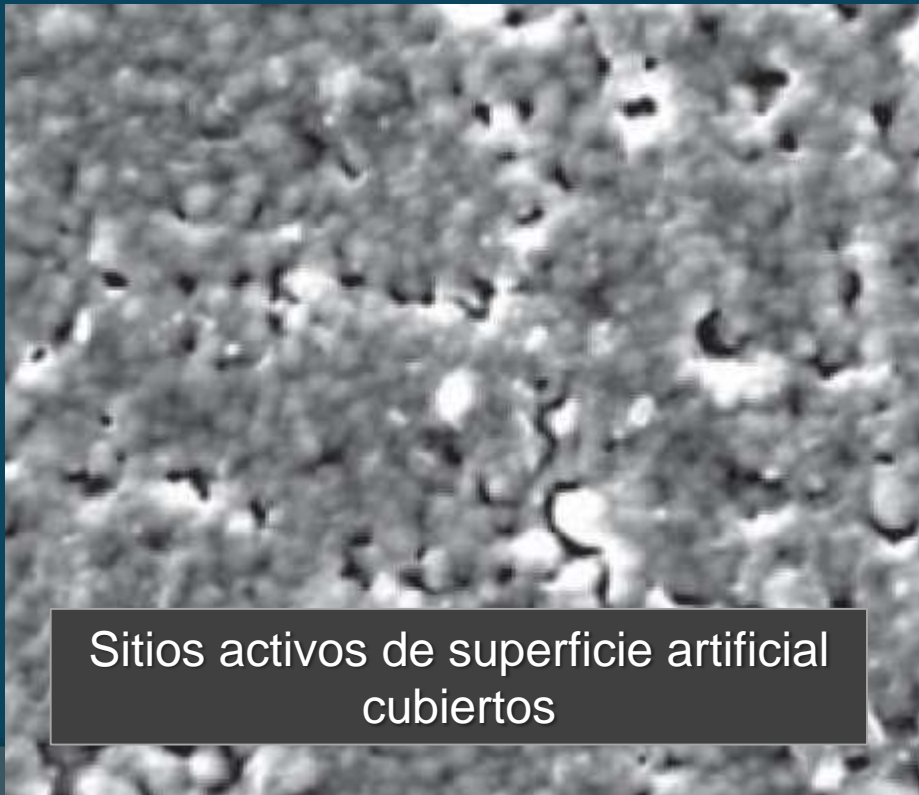
Evita el incremento
en tamaño de la capa



“protein - water – electrolyte layer”



Mantenimiento patrones de
flujo y
resistencia del circuito



Sitios activos de superficie artificial
cubiertos

ECMO



CYTOKINAS CIRCULANTES

~ 1 HORA



FNT α

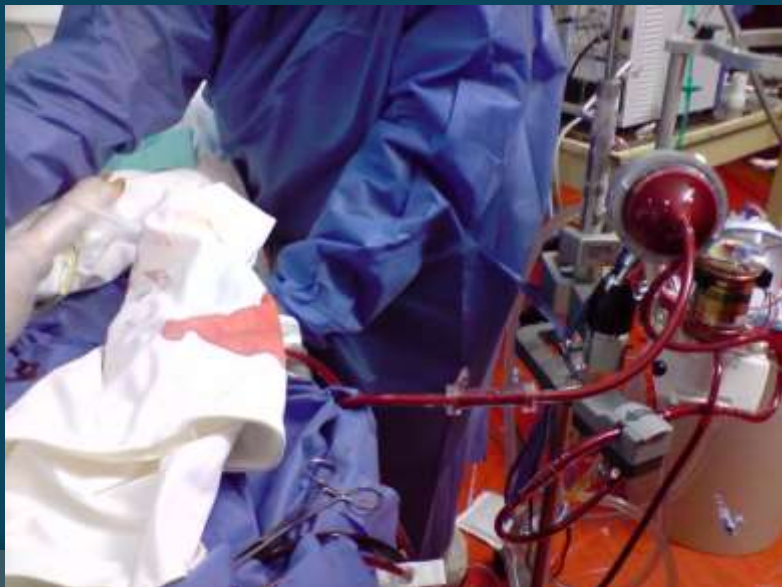
IL 6

IL 1 β

* Más rápido



No es sintetizada de novo



ACTIVACION DEL ENDOTELIO



FNT α

IL 6

IL 1 β

Moléculas de superficie

expresadas en membrana celular

favorecen

fenómenos de rodamiento

adhesión a la pared
endotelial

penetración de la pared
vascular

migración trans endotelial

ACTIVACION DEL ENDOTELIO



FNT α

IL 6

IL 1 β



Moléculas de superficie

expresadas en membrana celular

Moléculas de
adhesión



FAMILIA DE LAS SELECTINAS:

selectina E (ELAM 1)

selectina L (L ECAM)

selectina P (GMP-140)

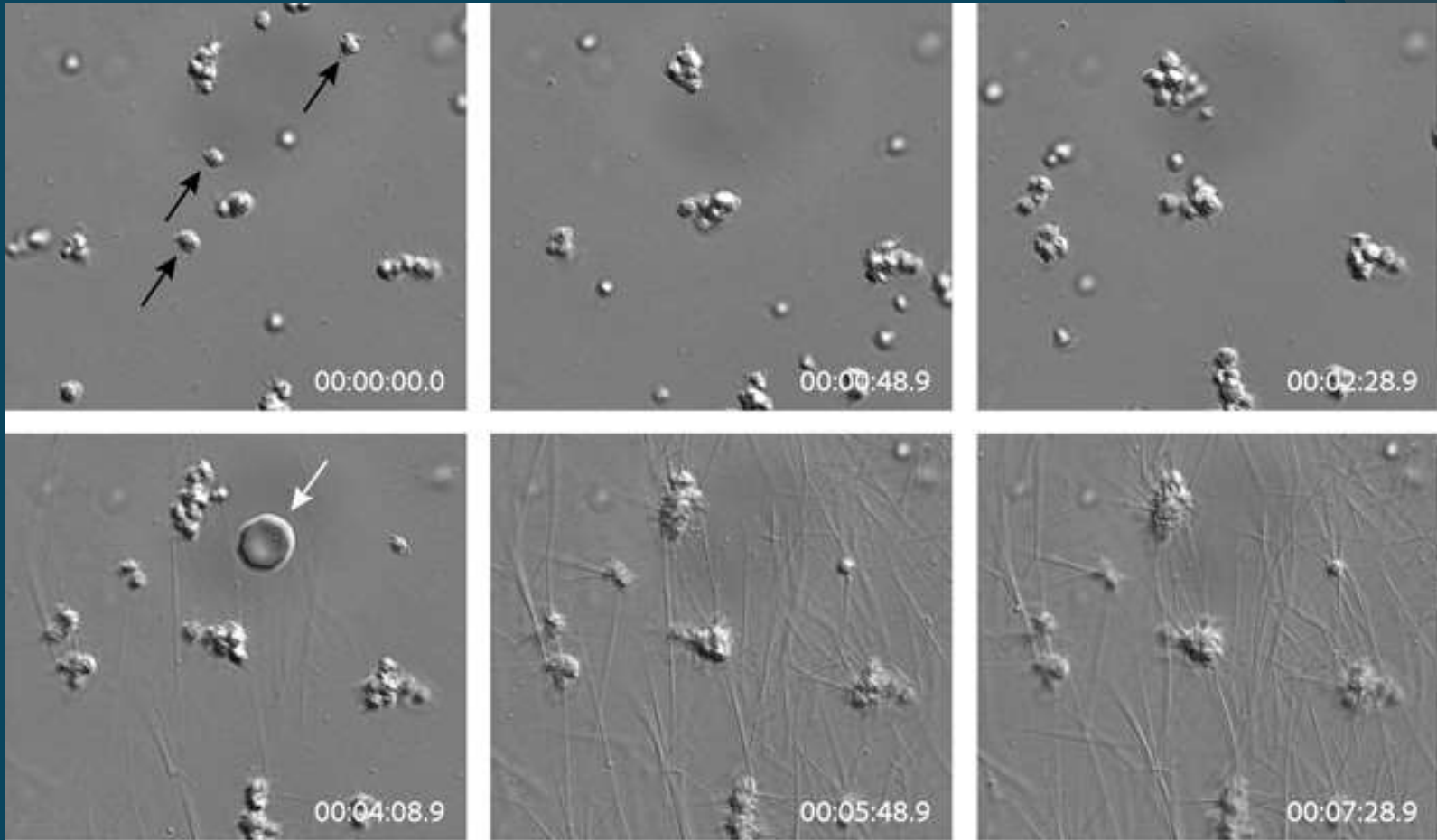
SUPERFAMILIA DE LAS INMUNOGLOBULINAS (IGSF)

VCAM-1 (molécula de adhesión intercelular)

FAMILIA DE LAS INTEGRINAS

CD11 y CD18

ACTIVACION PLAQUETARIA



Time-lapse images visualizing the adhesion of platelets, platelet aggregation and ultimately fibrin network formation on a hydrophilic glass surface.

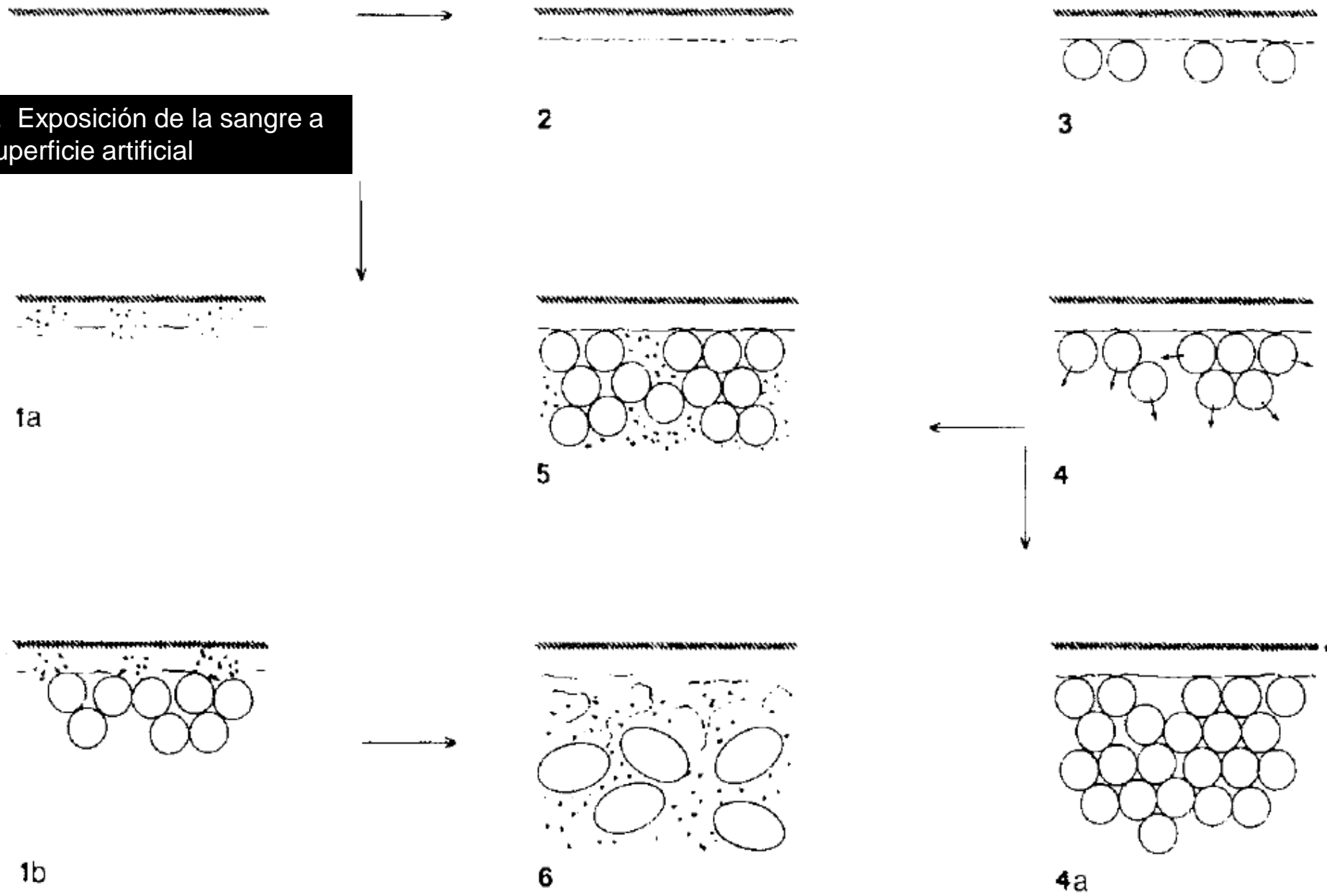
Black arrows: single platelets. White arrow: red blood cell.

The duration of the experiment was 8 minutes.

Images by differential interference contrast (DIC) microscopy

Interaction of a foreign material with blood

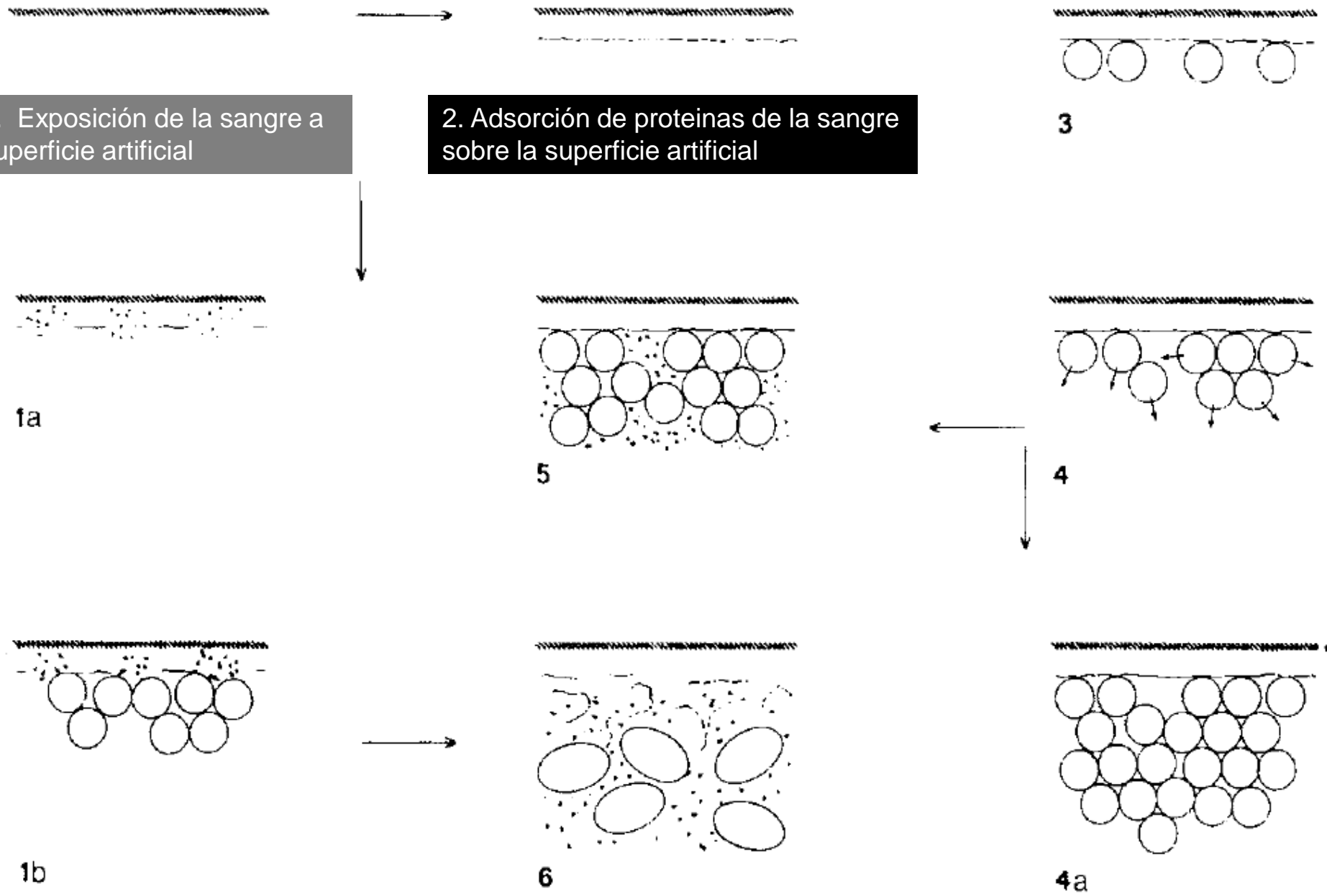
1. Exposición de la sangre a superficie artificial



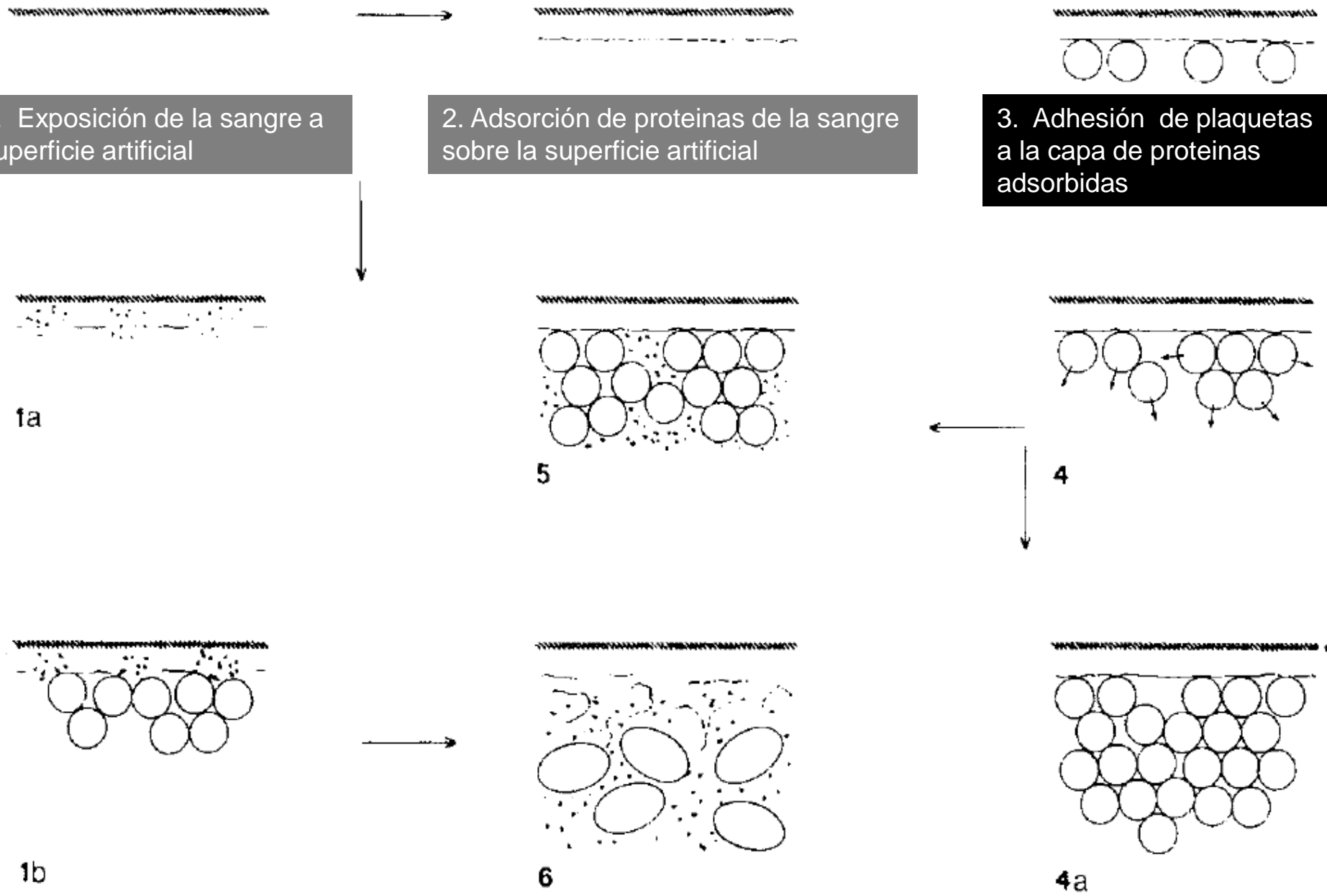
Como interactua la sangre con una superficie artificial

1. Exposición de la sangre a superficie artificial

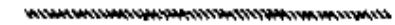
2. Adsorción de proteínas de la sangre sobre la superficie artificial



Interaction of a foreign material with blood



Interaction of a foreign material with blood



1. Exposición de la sangre a superficie artificial

2. Adsorción de proteínas de la sangre sobre la superficie artificial

3. Adhesión de plaquetas a la capa de proteínas adsorbidas



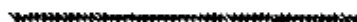
1a



5



4. Liberación de ADP y otros constituyentes plaquetarios. Formación de un agregado plaquetario



1b



6



4a

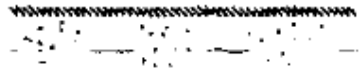
Interaction of a foreign material with blood



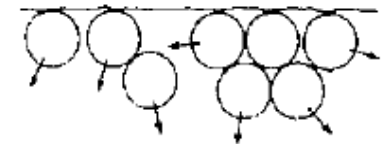
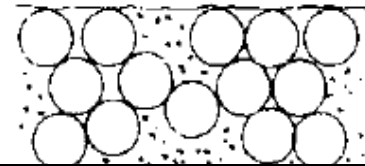
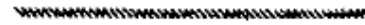
1. Exposición de la sangre a superficie artificial

2. Adsorción de proteínas de la sangre sobre la superficie artificial

3. Adhesión de plaquetas a la capa de proteínas adsorbidas



1a

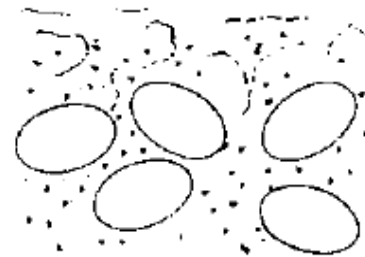


5. la coagulación inicia sobre la superficie de las plaquetas agregadas. Formación de una red insoluble de fibrina

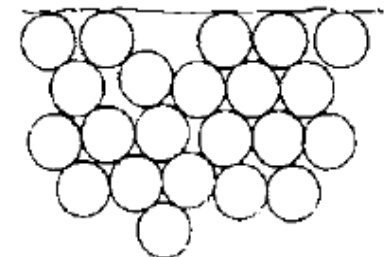
4. Liberación de ADP y otros constituyentes plaquetarios. Formación de un agregado plaquetario



1b



6



4a

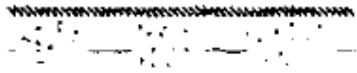
Interaction of a foreign material with blood



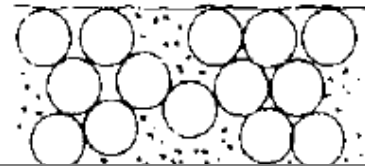
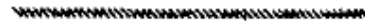
1. Exposición de la sangre a superficie artificial

2. Adsorción de proteínas de la sangre sobre la superficie artificial

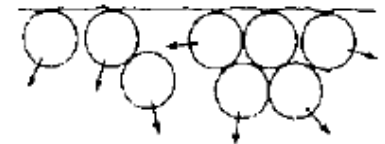
3. Adhesión de plaquetas a la capa de proteínas adsorbidas



1a



5. La coagulación inicia sobre la superficie de las plaquetas agregadas. Formación de una red insoluble de fibrina



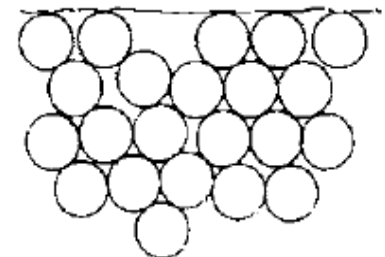
4. Liberación de ADP y otros constituyentes plaquetarios. Formación de un agregado plaquetario



1b

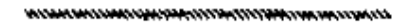


6. Plaquetas individuales pierden su integridad y se fusionan con otras. Fibrina atrapa otras células y se forma un trombo rojo



4a

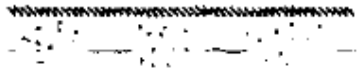
Interaction of a foreign material with blood



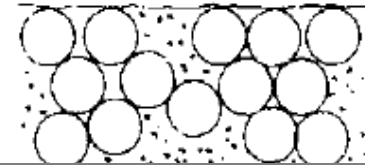
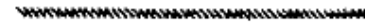
1. Exposición de la sangre a superficie artificial

2. Adsorción de proteínas de la sangre sobre la superficie artificial

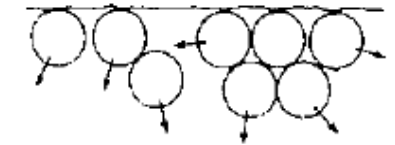
3. Adhesión de plaquetas a la capa de proteínas adsorbidas



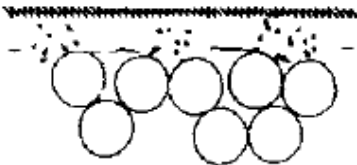
1a



5. la coagulación inicia sobre la superficie de las plaquetas agregadas. Formación de una red insoluble de fibrina



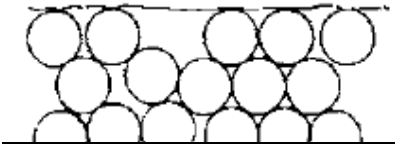
4. Liberación de ADP y otros constituyentes plaquetarios. Formación de un agregado plaquetario



1b

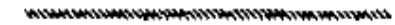


6. Plaquetas individuales pierden su integridad y se fusionan con otras. Fibrina atrapa otras células y se forma un trombo rojo



4a. Formación de un trombo blanco por agregación de plaquetas

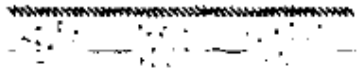
Interaction of a foreign material with blood



1. Exposición de la sangre a superficie artificial

2. Adsorción de proteínas de la sangre sobre la superficie artificial

3. Adhesión de plaquetas a la capa de proteínas adsorbidas



1a

1a se inicia la coagulación por la activación del factor XII sobre la superficie artificial



5. la coagulación inicia sobre la superficie de las plaquetas agregadas. Formación de una red insoluble de fibrina



4. Liberación de ADP y otros constituyentes plaquetarios. Formación de un agregado plaquetario



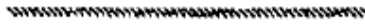
1b

6. Plaquetas individuales pierden su integridad y se fusionan con otras. Fibrina atrapa otras células y se forma un trombo rojo



4a. Formación de un trombo blanco por agregación de plaquetas

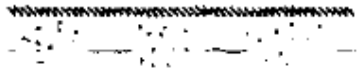
Interaction of a foreign material with blood



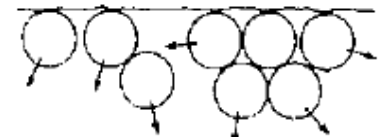
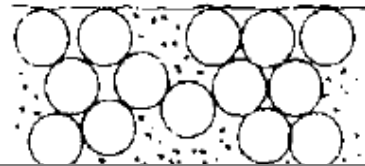
1. Exposición de la sangre a superficie artificial

2. Adsorción de proteínas de la sangre sobre la superficie artificial

3. Adhesión de plaquetas a la capa de proteínas adsorbidas



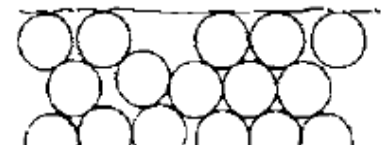
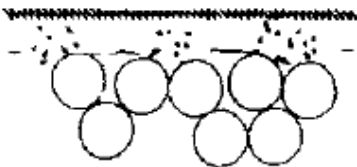
1a



1a se inicia la coagulación por la activación del factor XII sobre la superficie artificial

5. la coagulación inicia sobre la superficie de las plaquetas agregadas. Formación de una red insoluble de fibrina

4. Liberación de ADP y otros constituyentes plaquetarios. Formación de un agregado plaquetario

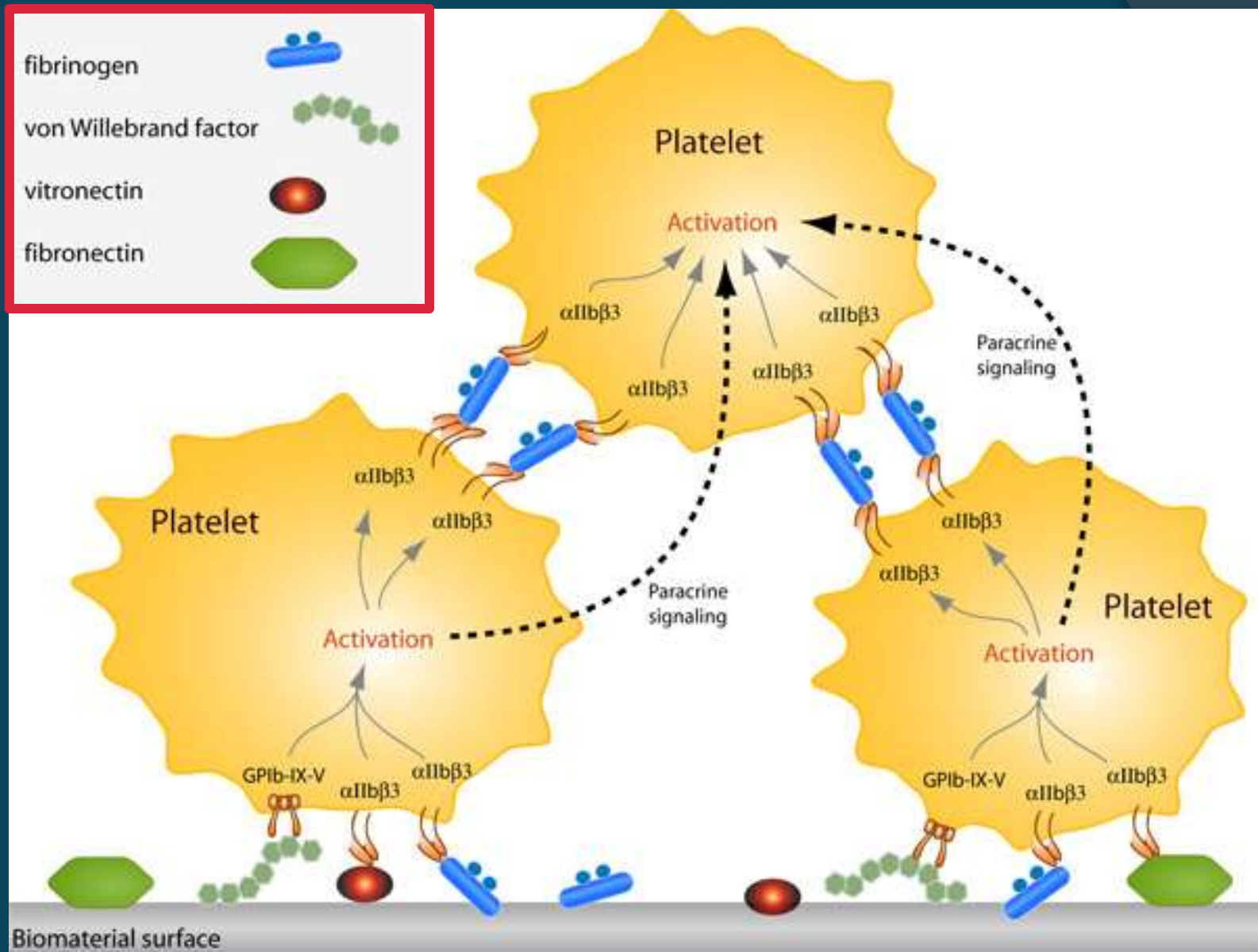


1b: se forma trombina durante el proceso de la coagulación resultando en agregación plaquetaria

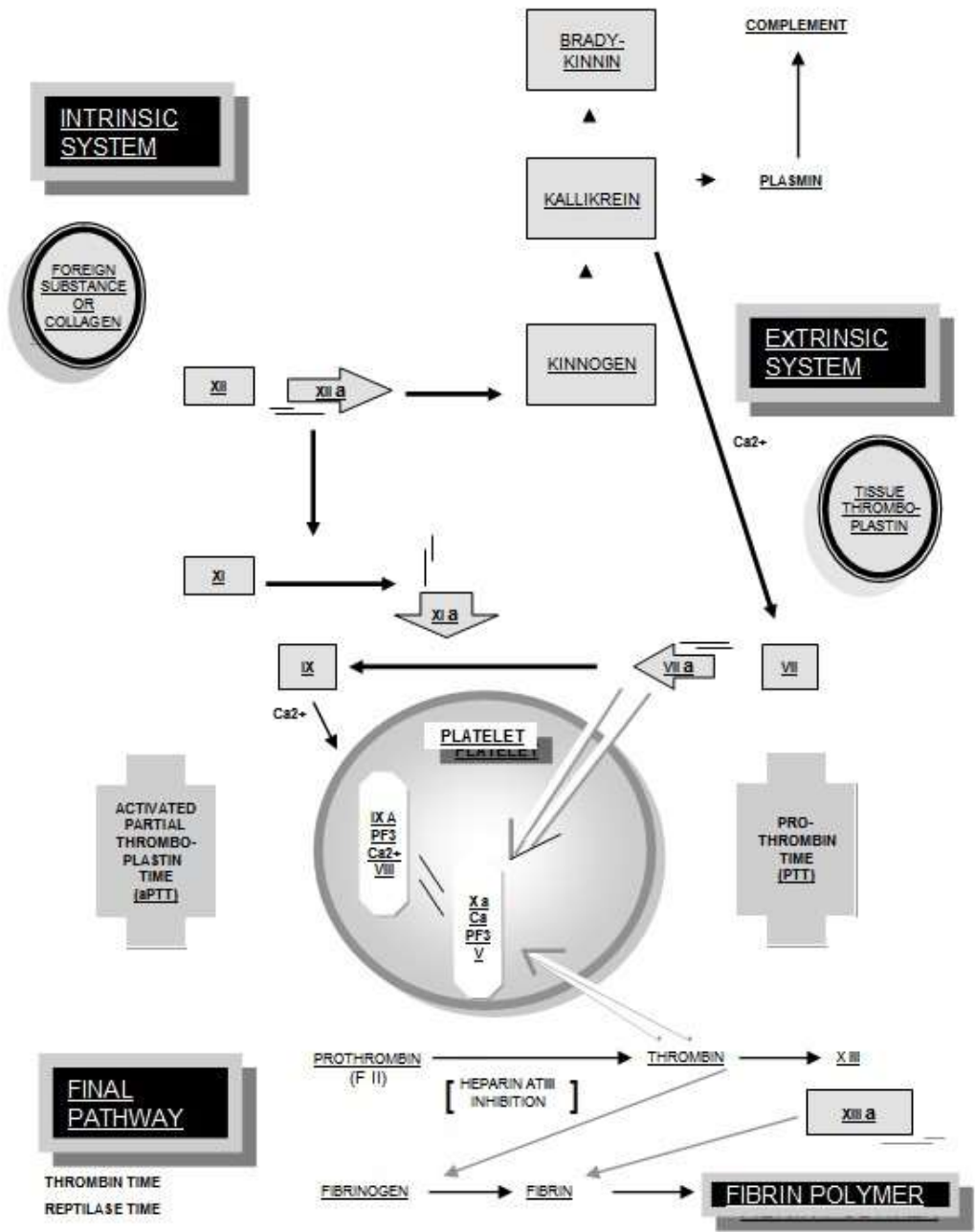
6. Plaquetas individuales pierden su integridad y se fusionan con otras. Fibrina atrapa otras células y se forma un trombo rojo

4a. Formación de un trombo blanco por agregación de plaquetas

ADHESION PLAQUETARIA A SUPERFICIES ARTIFICIALES



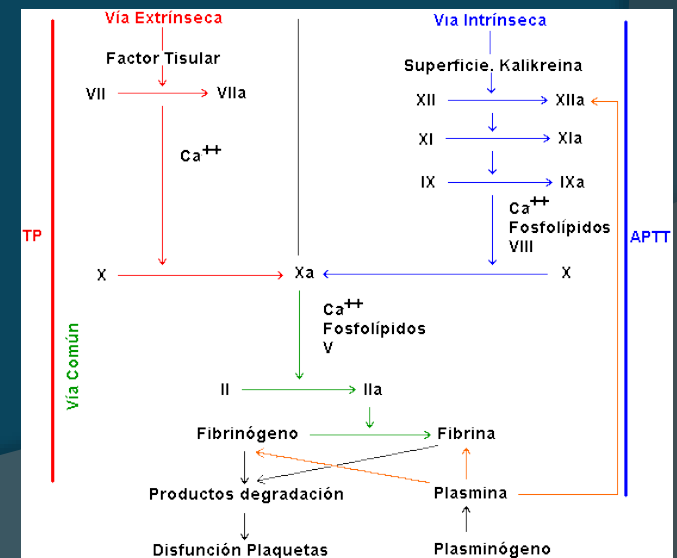
Platelets adhere to artificial surface through interaction with surface adsorbed adhesion molecules like **fibrinogen**, **von Willebrand factor**, **vitronectin** and **fibronectin**



Exposicion a superficies artificiales



1. Coagulation Cascade
~12 proteins
2. Complement Alternative Pathway
>20 proteins



The protein coagulation cascade: Note the very central role of the platelet. Interactions between serum enzyme proteins probably occur on the surface matrix of the platelet. (Speiss, 1993)

sangre

contacto

Elementos artificiales

Activación
Neutrófilos -PMN



Daño endotelial



sangre

contacto

Elementos artificiales

Mediadores proinflamatorios

IL-1, -2, -6, -8 TNF α

Factor de activación plaquetaria

Activación
Neutrófilos -PMN



complemento

C3 – C5a

Moléculas de adhesión a superficies

Daño endotelial



sangre

contacto

Elementos artificiales

Mediadores proinflamatorios

IL-1, -2, -6, -8 TNF α

Factor de activación plaquetaria

Activación
Neutrófilos -PMN



complemento

C3 – C5a

Moléculas de adhesión a superficies

selectina E
selectina P

moléculas de adhesión celular 1 y 2 (ICAM-1, ICAM-2)
molécula de adhesión celular del endotelio vascular 1 (VICAM-1).

sangre

contacto

Elementos artificiales

Mediadores proinflamatorios

IL-1, -2, -6, -8 TNF α

Factor de activación plaquetaria

Activación
Neutrófilos -PMN



complemento

C3 – C5a

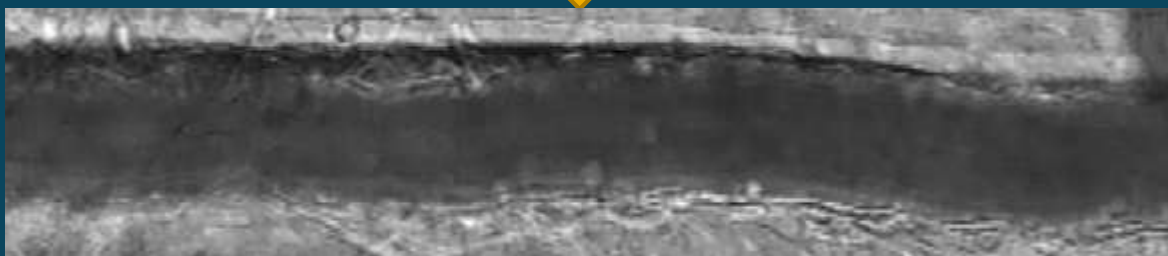
Moléculas de adhesión a superficies

AUMENTAN SU
EXPRESIÓN

selectina E
selectina P

ENDOTELIO

moléculas de adhesión celular 1 y 2 (ICAM-1, ICAM-2)
molécula de adhesión celular del endotelio vascular 1 (VICAM-1).



In vivo microcirculatory flow experiments.
Several white blood cells interacting with the vessel wall are evident

sangre

contacto

Elementos artificiales

Mediadores proinflamatorios

IL-1, -2, -6, -8 TNF α

Factor de activación plaquetaria

Activación
Neutrófilos -PMN



complemento

C3 – C5a

Moléculas de adhesión a superficies

selectina E
selectina P

moléculas de adhesión celular 1 y 2 (ICAM-1, ICAM-2)
molécula de adhesión celular del endotelio vascular 1 (VICAM-1).

PMN ADHERIDOS

MIGRACIÓN

Daño endotelial

Parenquima
pulmonar

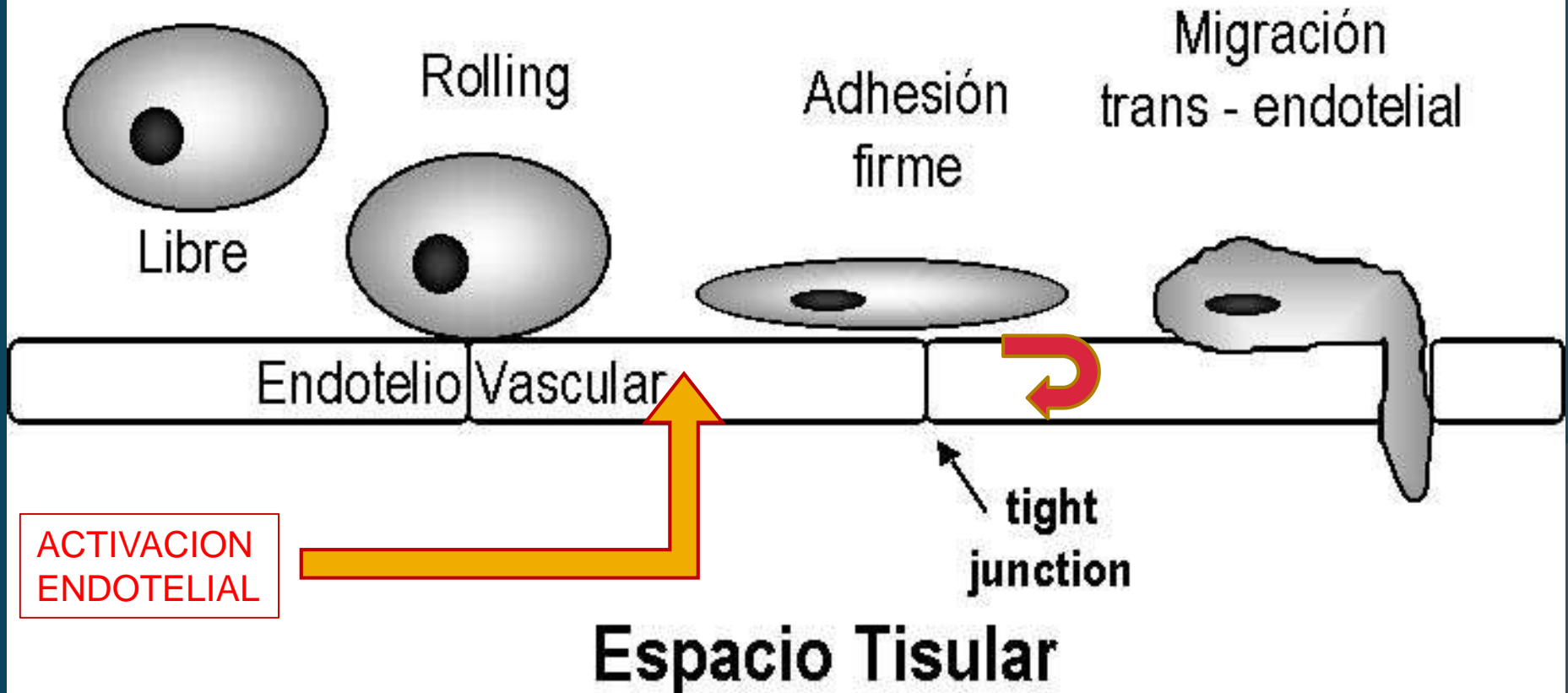
IL-8

ENDOTELIO PULMONAR

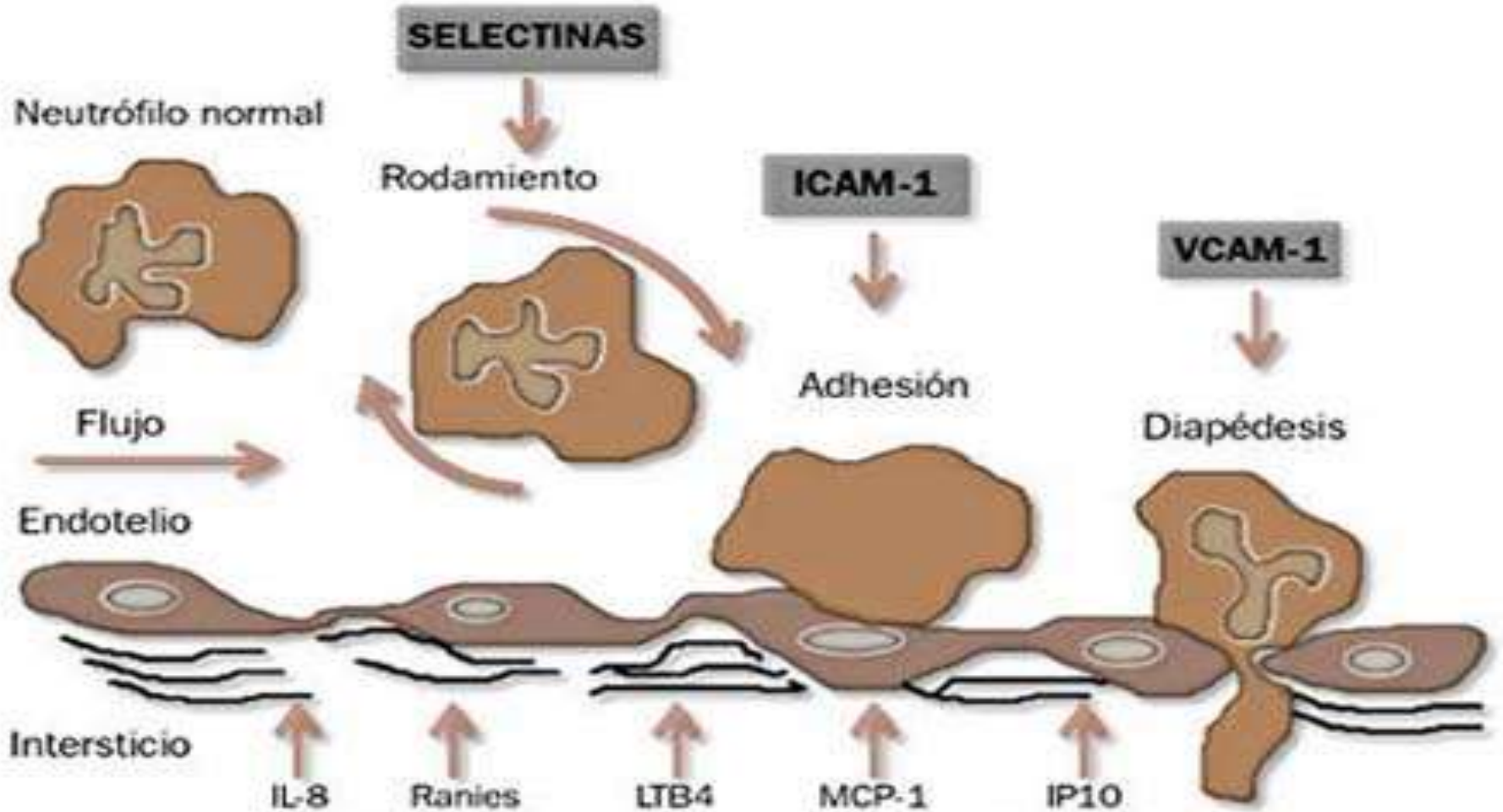
Neutrofilos activados

Mediado
Selectinas

Mediado
Integrinas



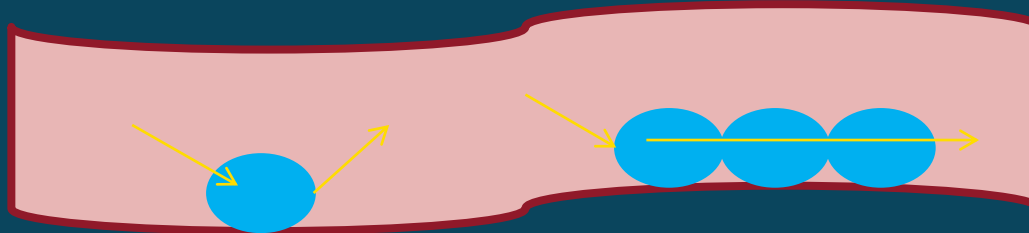
MOLECULAS DE ADHESION CELULAR A SUPERFICIES



CITOQUINAS QUE ATRAEN PMN

Estado de adhesividad endotelial

Encuentro aleatorio de cualquier leucocito con una célula endotelial



Aumento del tiempo de estancia de los leucocitos con el endotelio

ADHESION SECUENCIAL:

NEUTROFILOS



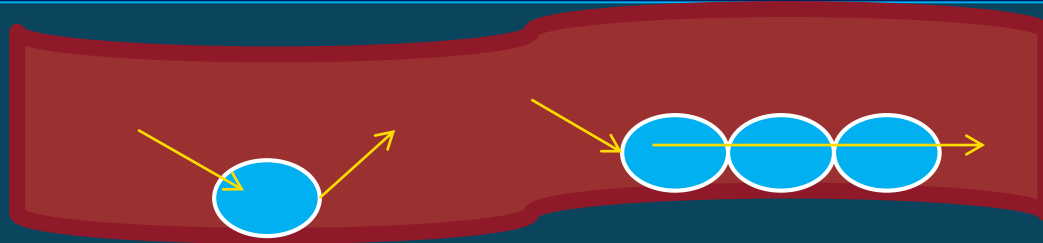
LINFOCITOS



MONOCITOS

Estado de adhesividad endotelial

Encuentro aleatorio de cualquier leucocito con una célula endotelial



Aumento del tiempo de estancia de los leucocitos con el endotelio

ADHESION SECUENCIAL:

NEUTROFILOS



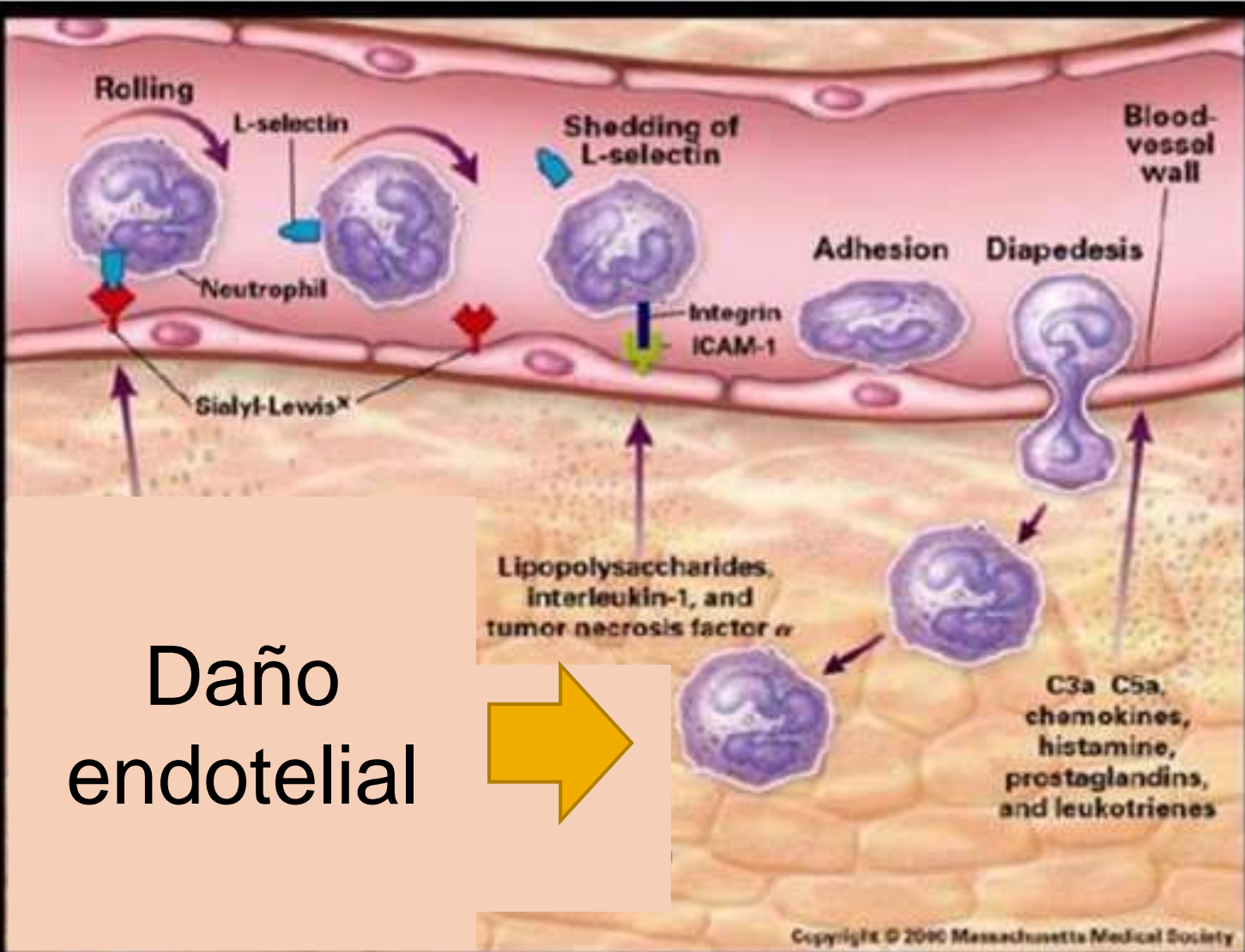
LINFOCITOS



MONOCITOS

HAPTOTAXIS

Movimiento a favor de un gradiente de moléculas de adhesión



Daño
endotelial



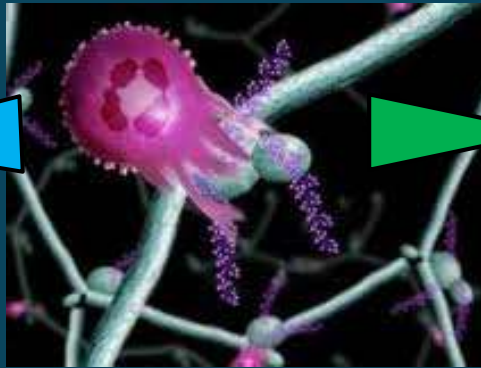
Neutrofilos activados

Liberación de radicales libres de oxígeno

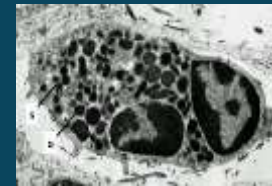
Peroxidación lipídica de membrana

Lisis de células endoteliales

↑ permeabilidad y reactividad vascular



Liberación enzimas proteolíticas específicas



elastasa

colagenasa

↓ daño vascular



Permeabilidad endotelial -alveolar



ELASTASA NEUTROFILICA =

Marcador útil
- Injuria pulmonar
- Activación de PMN

HEMOLISIS EN ECMO



oxigenador

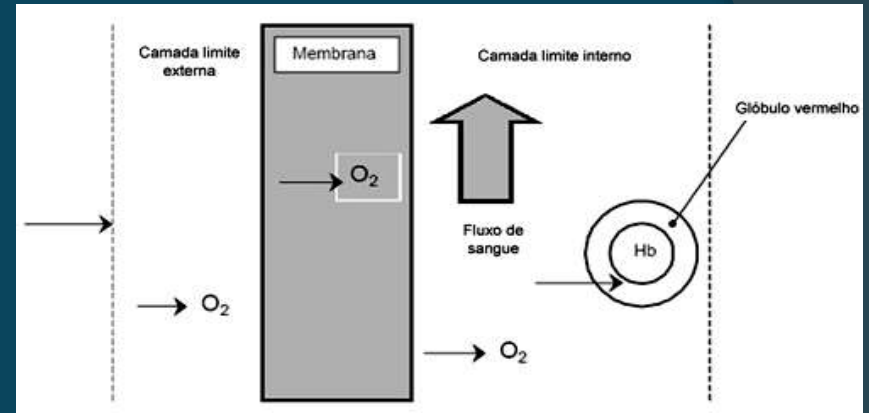
bomba

cánulas

Oxigenador de burbujas

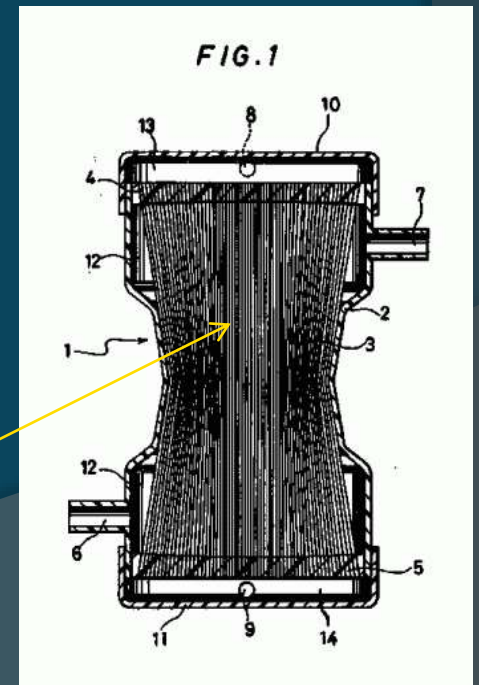


Separación de fases gaseosa y acuosa



Oxigenadores de membrana

obstrucción



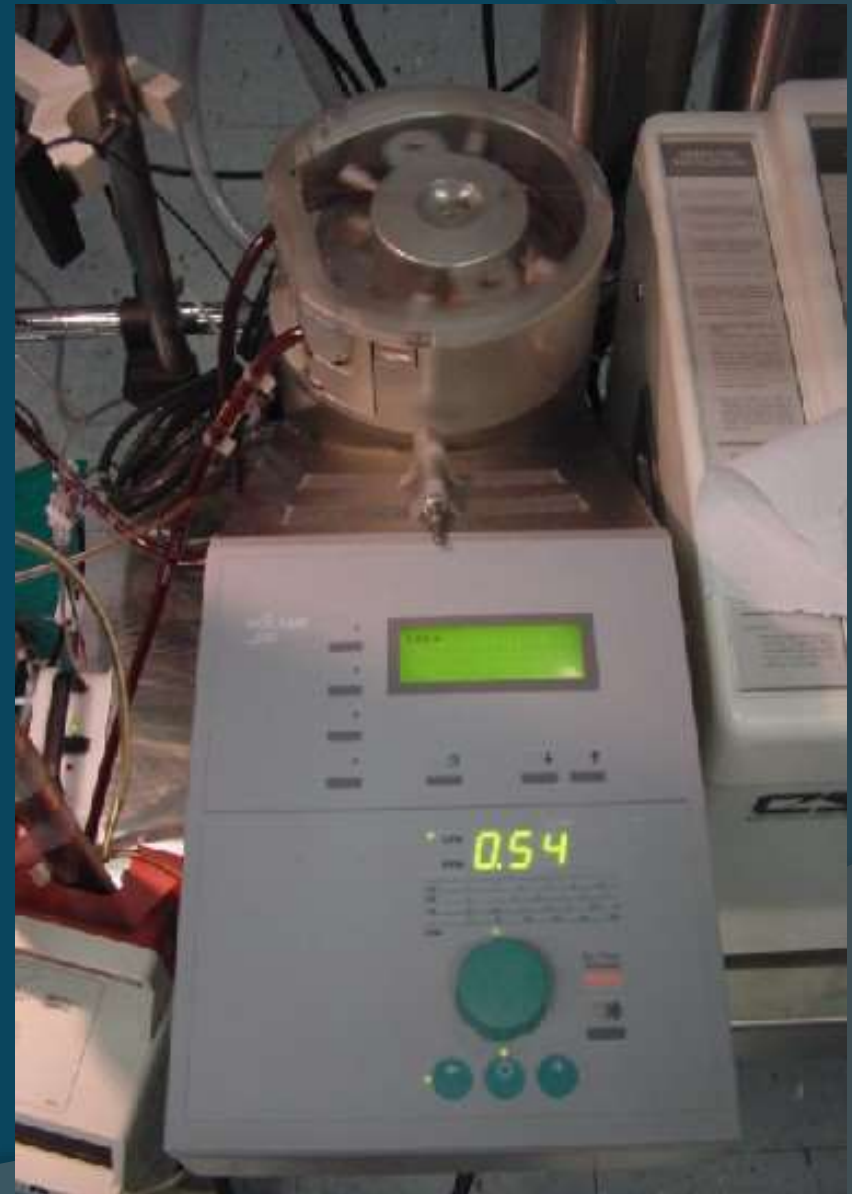
BOMBAS PERISTALTICAS DE RODILLO



compresión progresiva de un tubo
elástico contra una carcasa rígida

Generan flujo pulsátil

> hemolisis





BOMBAS CENTRIFUGAS

no manejan oclusividad, generando presión negativa

Limitar RPM a valor seguro
3000 -3500

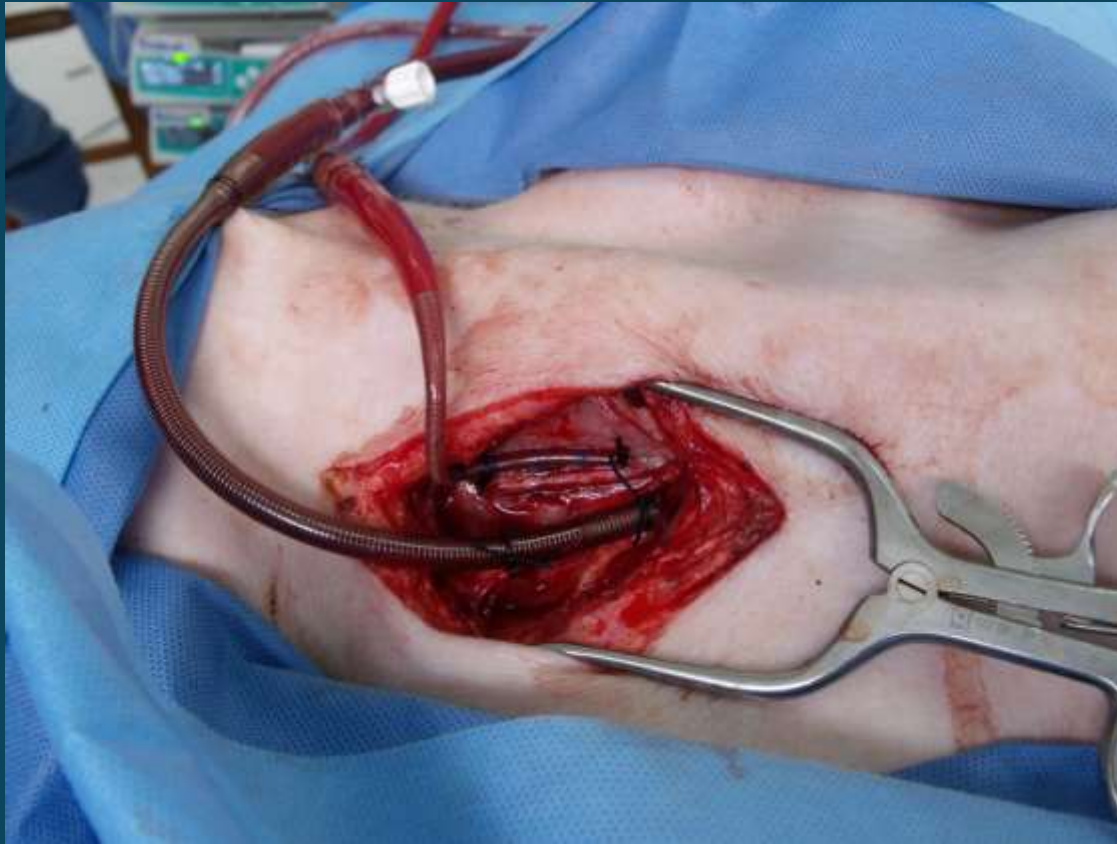
T°

Bio Pump



LEVITACION MAGNETICA

CANULAS



Selección de cánula adecuada

Tamaños pequeños generan flujos altos, mayor resistencia y mayor riesgo de hemólisis

Flujo a una RPM determinada esta en función de la resistencia en la cánula venosa

SHEAR STRESS < 132 dyn/cm²
 ΔP < 100 mmHg
 $\Delta P = R (Q, IDL, L)$
VENOSO < 50 mmhg
ARTERIAL < 80 mmHg

Hemolisis

Picos de caída de Hb y elevación de DHL

Presentación ususal:

- hemoglobinuria
- caída lenta de Hb

Relación con días en ECMO

Adición de hemofiltro incrementa hemolisis

MINIMIZAR ACTIVACION DE LA SANGRE

CORTICOIDES

APROTININA

NAFAMOSTAT

LEUCODEPLECION

ANTIOXIDANTES

MOLECULAR COATING
TECHNOLOGIES

Controlar mediadores

- Citoquinas
- coagulación
- complemento

Controlar efectores

Mejorar
biocompatibilidad

MOLECULAR COATING TECHNOLOGIES

Albumina Coating

Heparin Coating

NO Release of Surfaces

CARMEDA

TRILLIUM

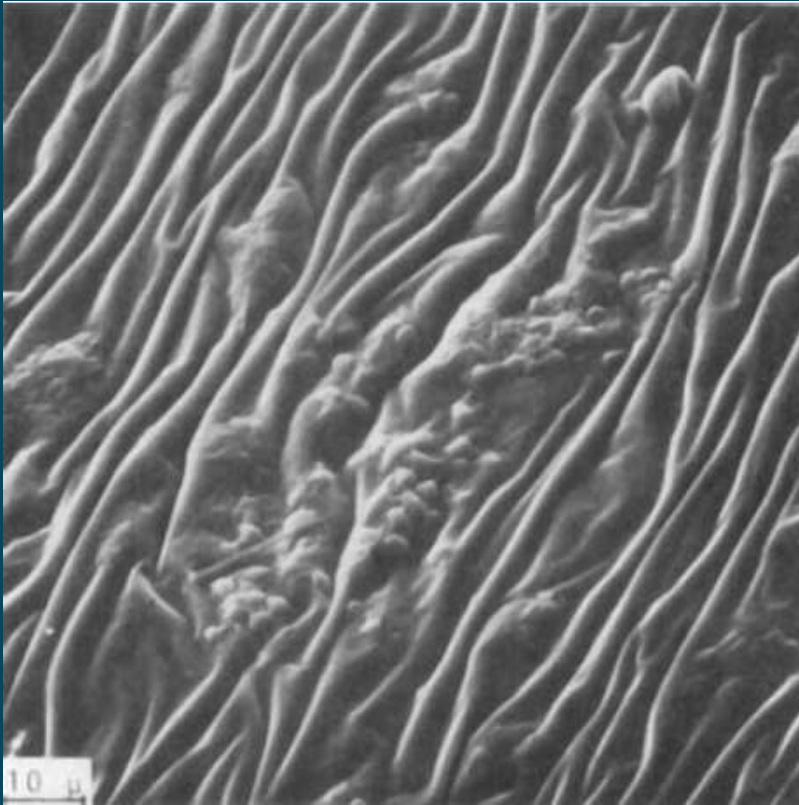
MOLECULAR COATING TECHNOLOGIES

Effect of Preadsorption of Albumin onto Different Surfaces on the Coagulation Time of Plasma

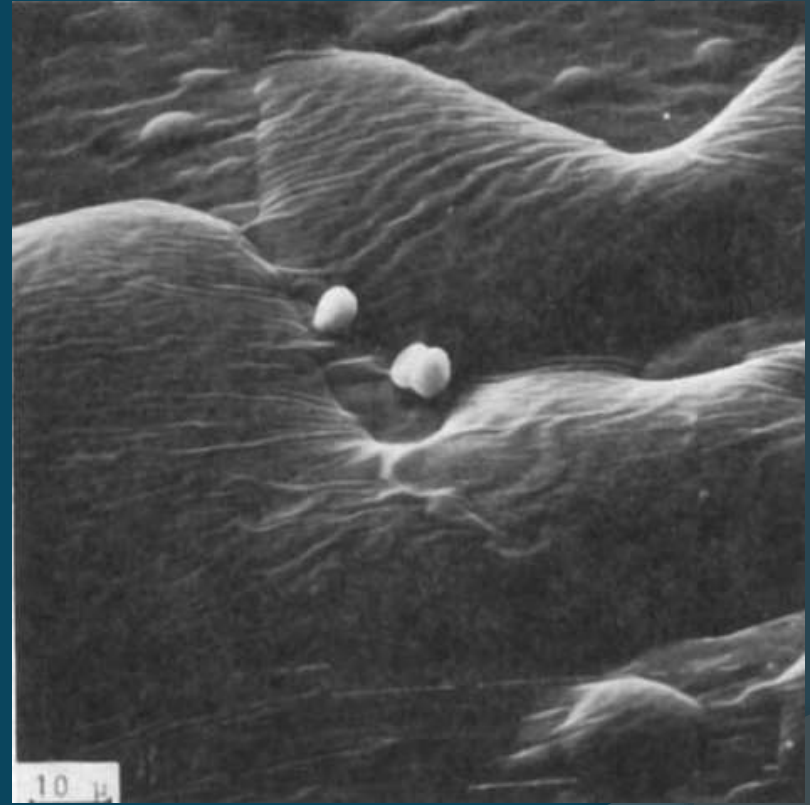
Material	Relative coagulation time in %	Number of experiments
cuprophane	100	10
albumin	115 - 119	3
polystyrene	105	10
albumin	119 - 126	9
glass	53	10
albumin	64 - 69	3

Unión iónica a la superficie de un polímero por medio de un agente de acoplamiento adsorbente

MOLECULAR COATING TECHNOLOGIES



PVC exposed to blood in the flow cell for 5 min (flow rate 1 ml/min). Many aggregated platelets with pseudopods adhere to the irregular surface



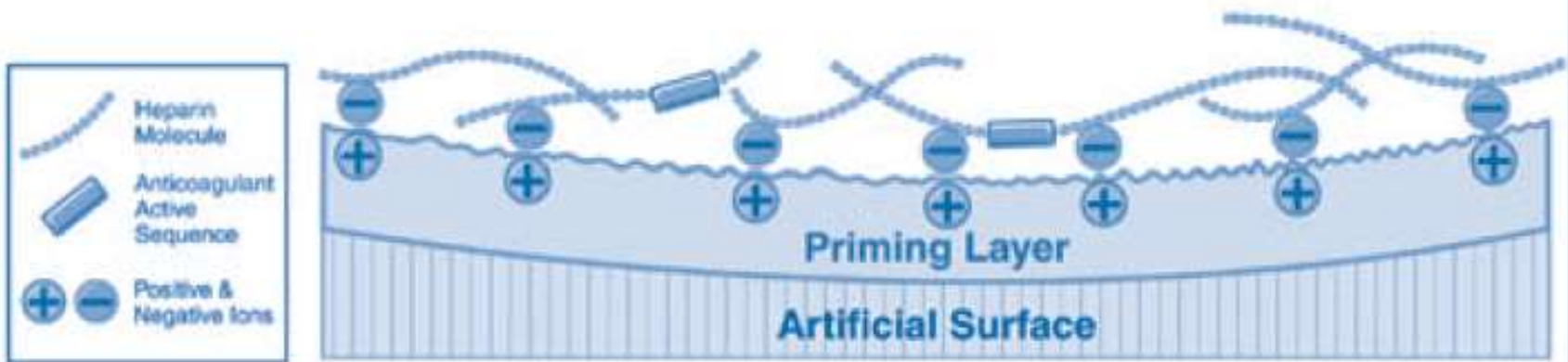
PVC coated with a complex of P and TDMAC. The surface has been exposed to blood in the flow cell for 5 min (flow rate 1 ml/min). Three erythrocytes adhere to the surface; no platelets are present upon this surface area

MOLECULAR COATING TECHNOLOGIES

Adhesion of Platelets and Activation of Intrinsic Coagulation

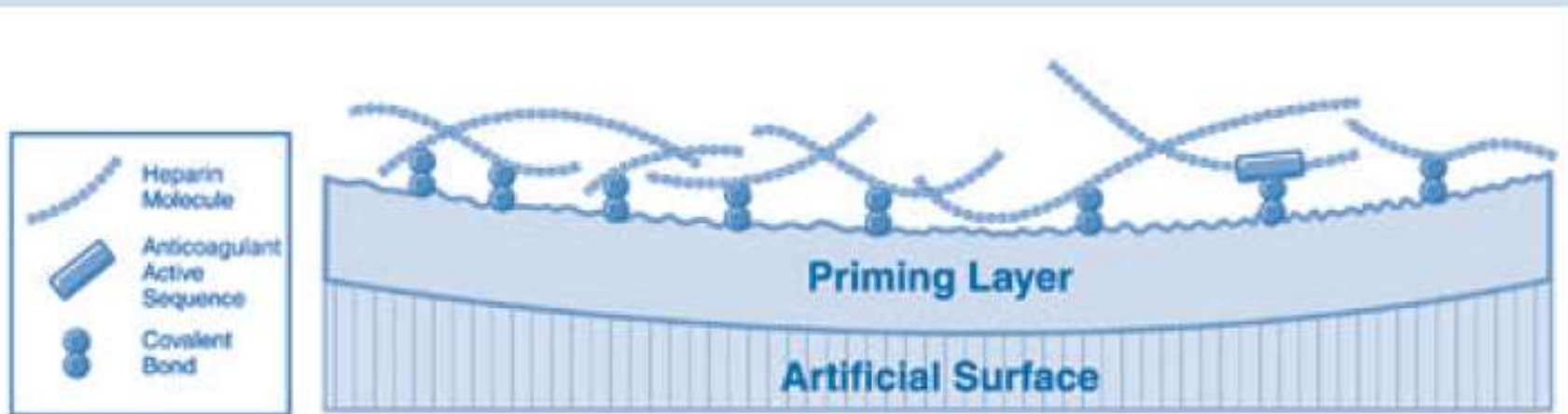
Material	Adhering platelets on 0.01 mm ²	PTT - value (polystyrene = 100%)
glass	34 (20 - 59)	66
polystyrene	14 (8 - 21)	100
PVC, uncoated	16 (13 - 18)	100
PVC/P-TDMAC	3 (0 - 5)	105

HEPARINA UNIDA IONICAMENTE



Ionically bonded heparin is less stable and tends to wash off when blood flows through the CPB Circuit.

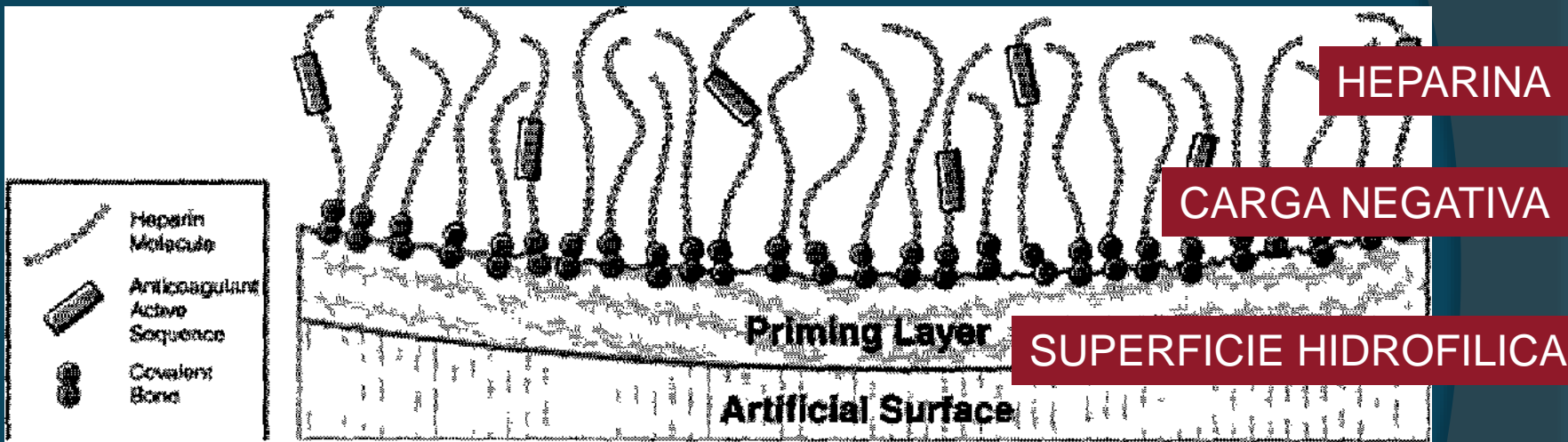
HEPARINA UNIDA COVALENTEMENTE



Covalent bonds are more stable but the heparin's anticoagulant active sequence may become involved in the bond and therefore unavailable to interact with blood.

MOLECULAR COATING TECHNOLOGIES

Carmeda[®] BioActive Surface

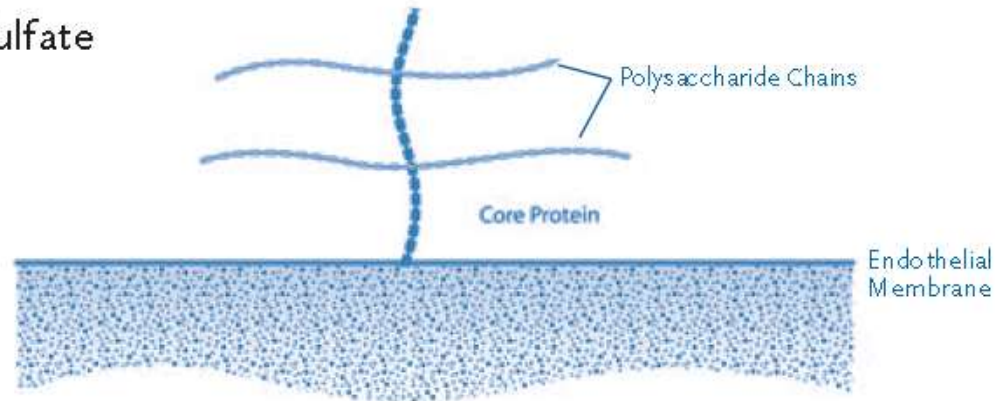


Durable, non-leaching End Point Attached heparin biosurface that mimics heparan sulfate naturally found on the vascular endothelium lining the circulatory system to provide thromboresistance and biocompatibility

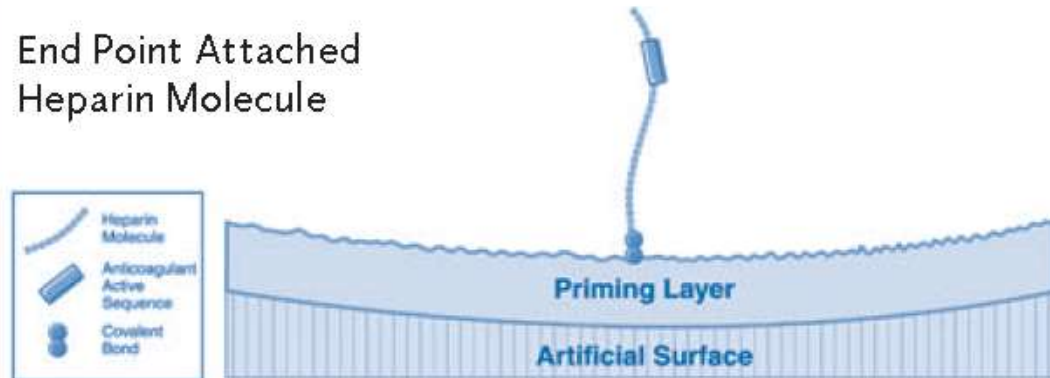
Carmeda[®] BioActive Surface

Orientation of Heparan Sulfate and End Point Attached Heparin (Carmeda[®] BioActive Surface): Schematics

Heparan Sulfate Molecule

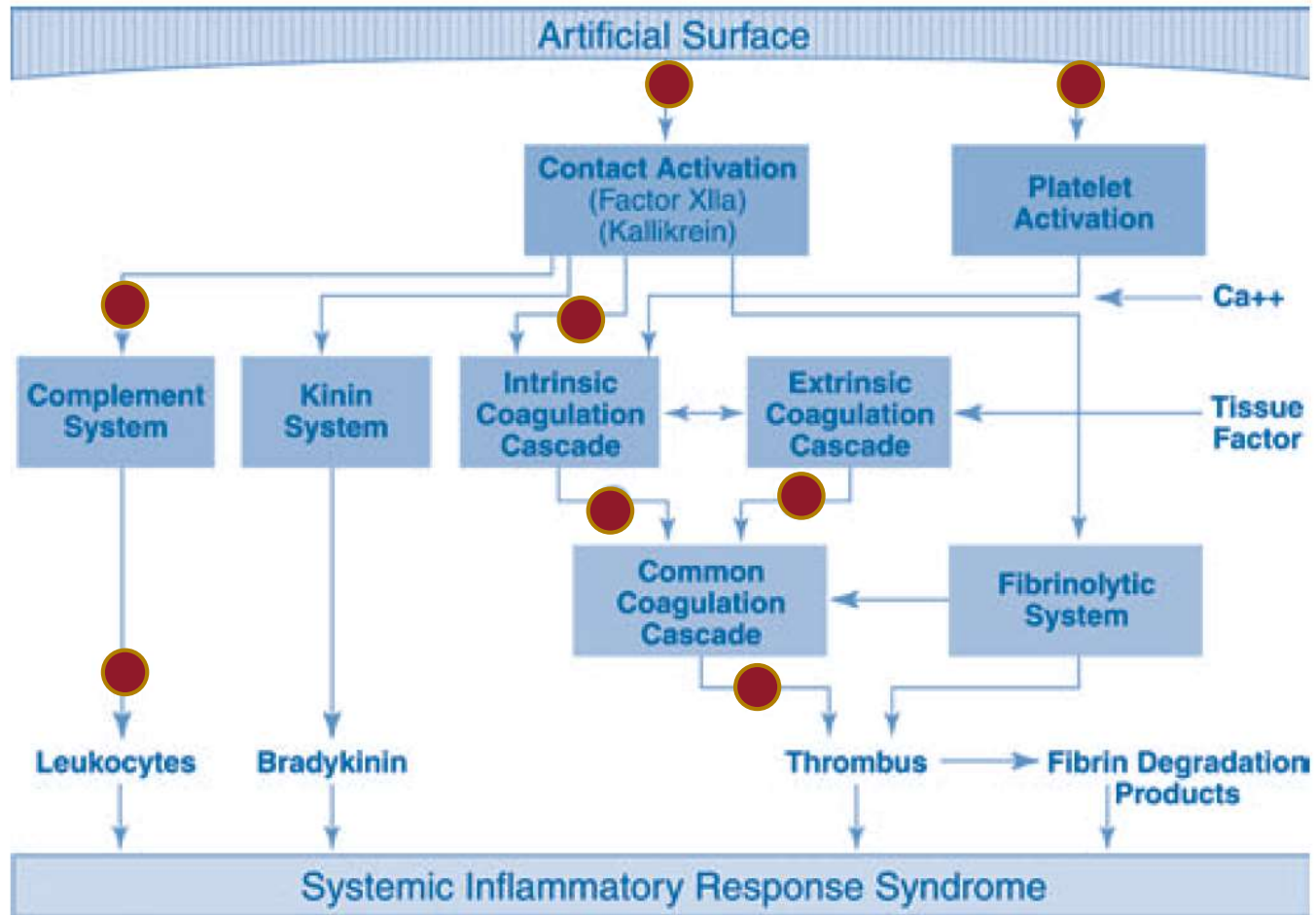


End Point Attached Heparin Molecule



MOLECULAR COATING TECHNOLOGIES

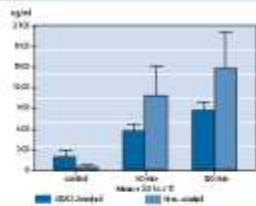
Impact of Carmeda® BioActive Surface on the Human Body Defense Systems



● Research indicates mitigating effects by Carmeda® BioActive Surface

Complement System

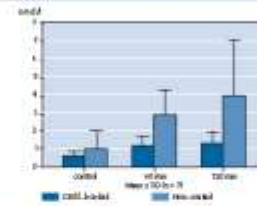
Terminal Complement Complex (soluble marker)



Significantly less terminal complement complex formation occurred with Carmeda® BioActive Surface bonding, indicating less complement activation. ($p < 0.05$)

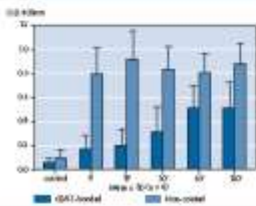
Coagulation System

Prothrombin Fragment 1+2 (soluble marker)



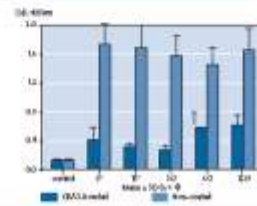
Less coagulation activation occurred with Carmeda® BioActive Surface bonding, suggested by significantly lower prothrombin fragment F1+2 levels. ($p < 0.01$)

C3-Complement (surface adsorbed marker)



Significantly reduced complement activation occurred with End Point Attached heparin, suggested by reduced surface adsorption of complement protein C3 on the Carmeda® BioActive Surface bonded samples. ($p < 0.01$)

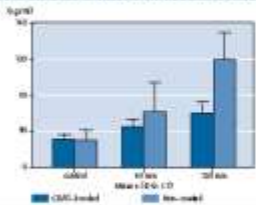
Fibrinogen (surface adsorbed marker)



Significantly lower adsorption of fibrinogen on the Carmeda® BioActive Surface bonded surfaces occurred, compared to uncoated surfaces, also provided evidence of reduced thrombogenicity with End Point Attached heparin. ($p < 0.01$)

Neutrophils

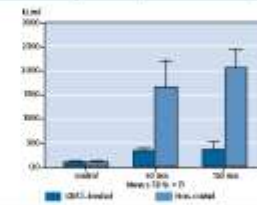
PMN-elastase-alpha 1-PI (soluble marker)



The Carmeda® BioActive Surface group had significantly lower PMN-elastase release, indicating less neutrophil activation. ($p < 0.05$)

Platelets

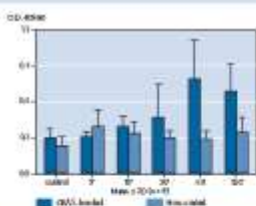
β-Thromboglobulin (soluble marker)



Levels of βTG were five times greater in the uncoated samples compared to the Carmeda® BioActive Surface bonded samples, suggesting less platelet activation with use of End Point Attached heparin surfaces. ($p < 0.01$)

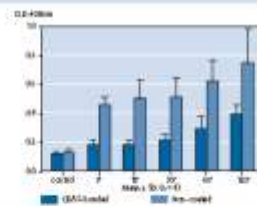
Kallikrein System

High-molecular-weight-kininogen (surface adsorbed marker)



Improved hemocompatibility, suggested by significantly greater surface adsorption of the contact factor high-molecular-weight Kininogen (HMWK), was found with Carmeda® BioActive Surface bonding. ($p < 0.05$)

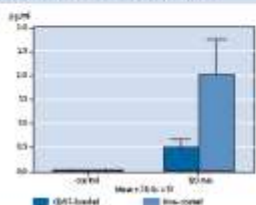
Fibronectin (surface adsorbed marker)



Reduced thrombogenicity on Carmeda® BioActive Surface bonded surfaces was suggested by significantly lower adsorption of the plasma protein fibronectin. ($p < 0.01$)

Cytokines

Interleukin 1-β (soluble marker)



Blood cell secretion of the pro-inflammatory cytokine IL-1β was significantly reduced in the Carmeda® BioActive Surface samples. ($p < 0.01$)

Comparison of soluble markers and surface adsorbed markers of blood activation measured in samples taken from Carmeda® BioActive Surface bonded and uncoated test loops through which heparinized human whole blood was circulated for up to 120 minutes. Carmeda® BioActive Surface (CBAS) was found to favorably alter the composition of surface adsorbed proteins and was also associated with a reduction in complement, coagulation, neutrophil and platelet activation (Weber N. Biomaterials 2002; 23:429-439)

Hemocompatibility of Carmeda® BioActive Surface: Comparison of Soluble and Surface Adsorbed Markers of Hemocompatibility

Weber N. Biomaterials 2002; 23:429-439

GOLD STANDAR

EVOLUCION DEL SOPORTE DE VIDA EXTRACORPOREO

Separación de fases hemática y gaseosa

Niveles más bajos de anticoagulación

Membranas con mayor eficiencia oxigenatoria

Mejoras en la interface

Biocompatibilidad

oxigenador de membrana

Bombas centrífugas



Disminución del daño de los componentes de la Sangre

Tiempo más prolongado de perfusión

ECMO

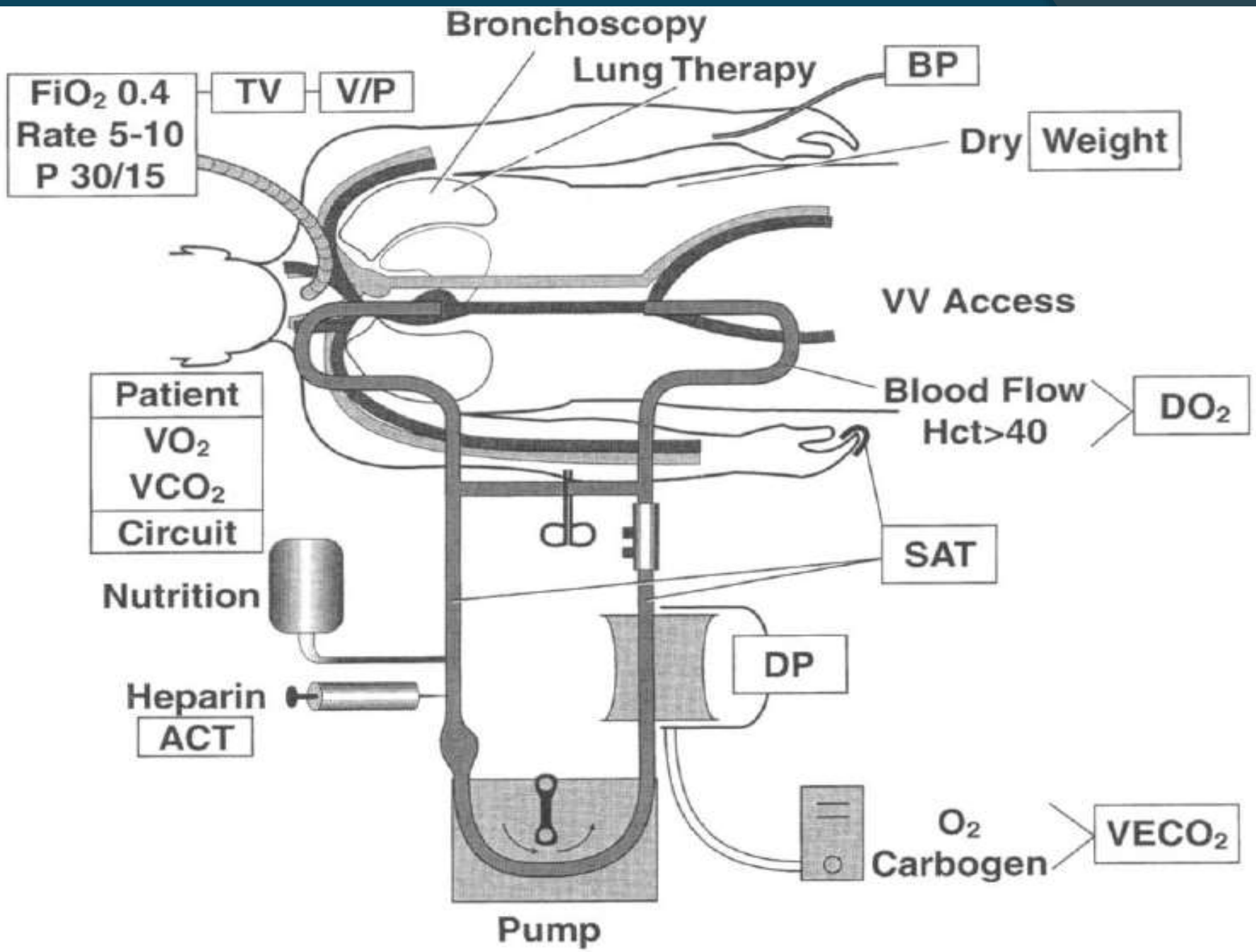


ECMO
UCI





TECNOLOGIA DEL ECLS



FiO₂ 0.4
Rate 5-10
P 30/15

TV **V/P**

Bronchoscopy
Lung Therapy

BP

Dry Weight

VV Access

Blood Flow
Hct > 40

DO₂

SAT

DP

O₂
Carbogen

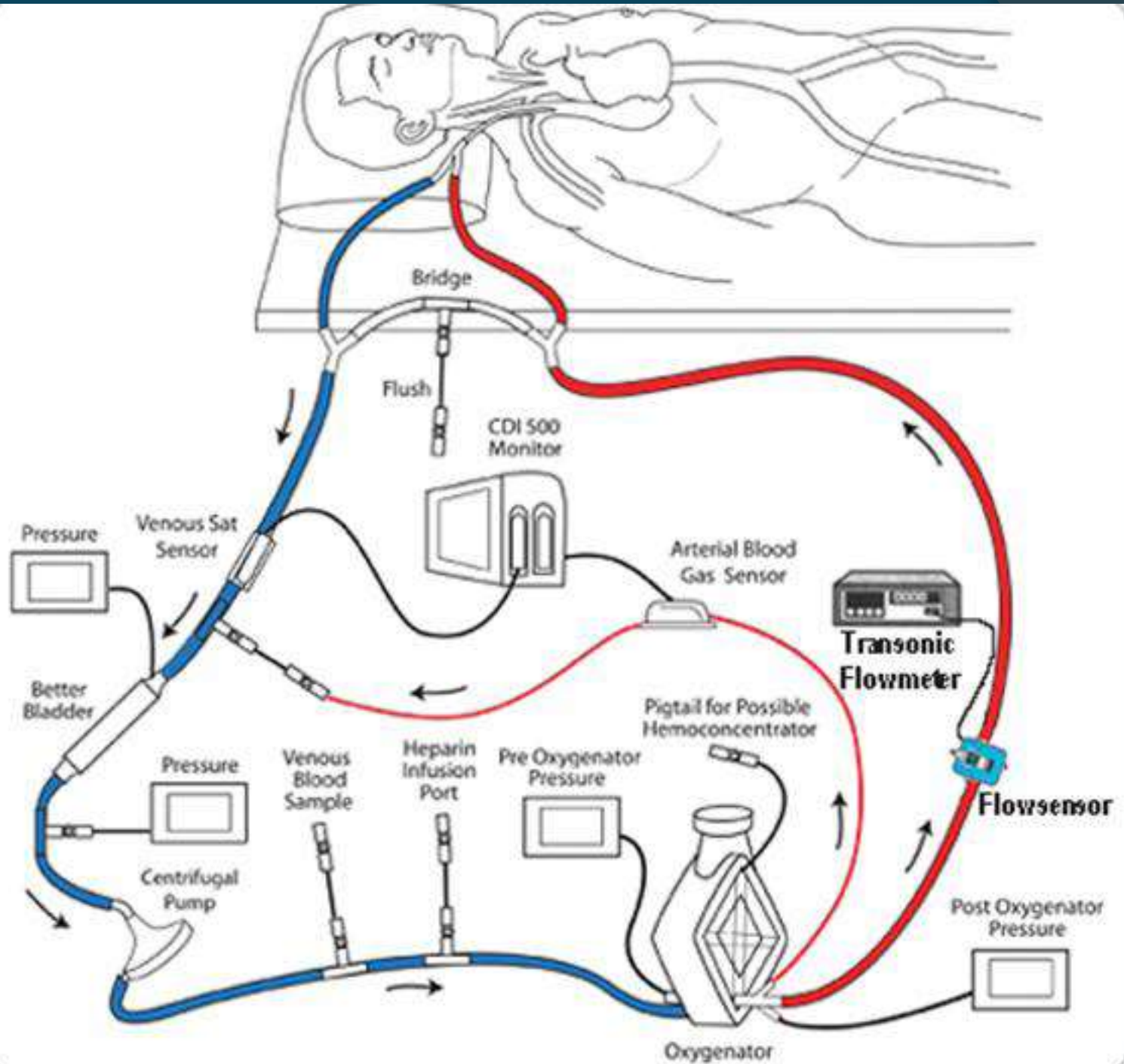
VECO₂

Pump

Patient
VO₂
VCO₂
Circuit

Nutrition

Heparin
ACT



Metodología

Cualquiera que sea la técnica utilizada, un circuito de asistencia extracorpórea incluye

El acceso vascular utilizado:

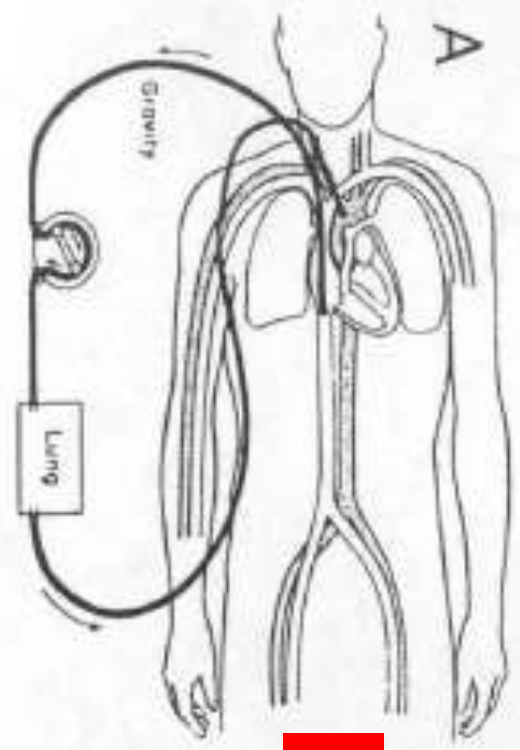
venoarterial (VA) o venovenoso (VV).

Según se requiera soporte cardiovascular, respiratorio, o ambos

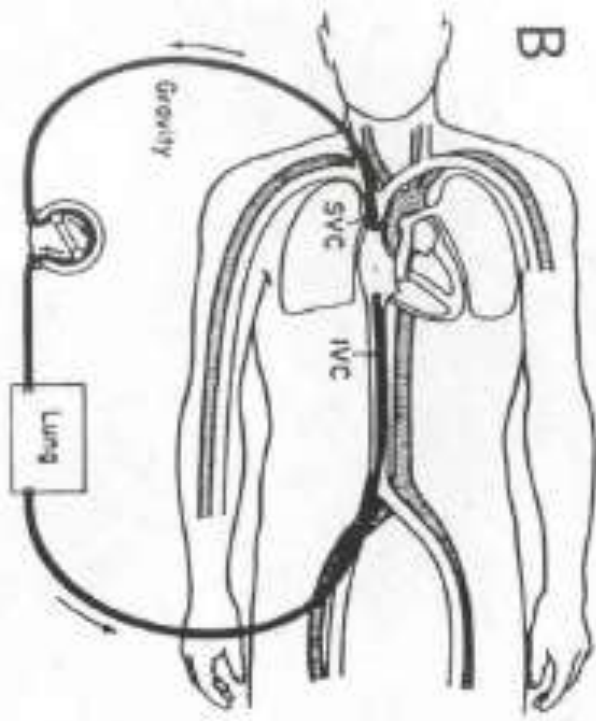
La cantidad de flujo sanguíneo extracorpóreo (ECBF) en relación con el volumen minuto cardíaco (CO).

Cuanto mayor sea la relación $ECBF/CO$ mayor será la contribución del sistema extracorpóreo a la oxigenación.

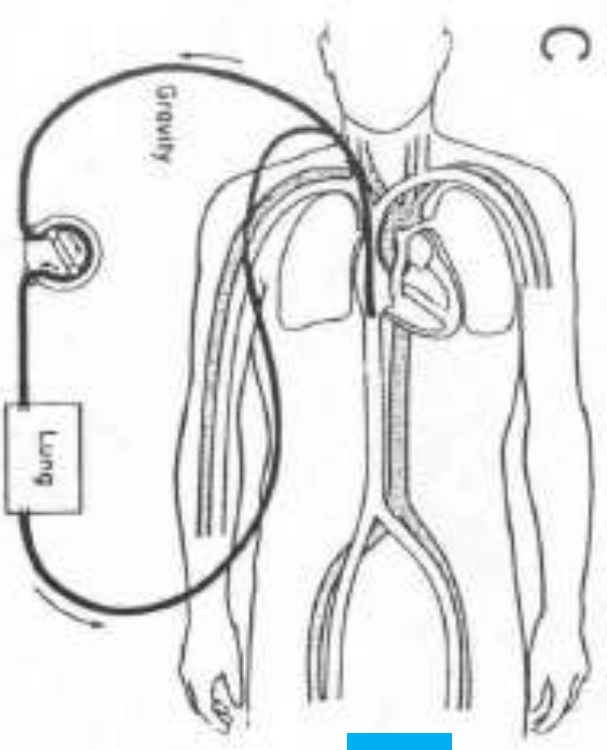
El manejo ventilatorio asociado del paciente



VA



VV



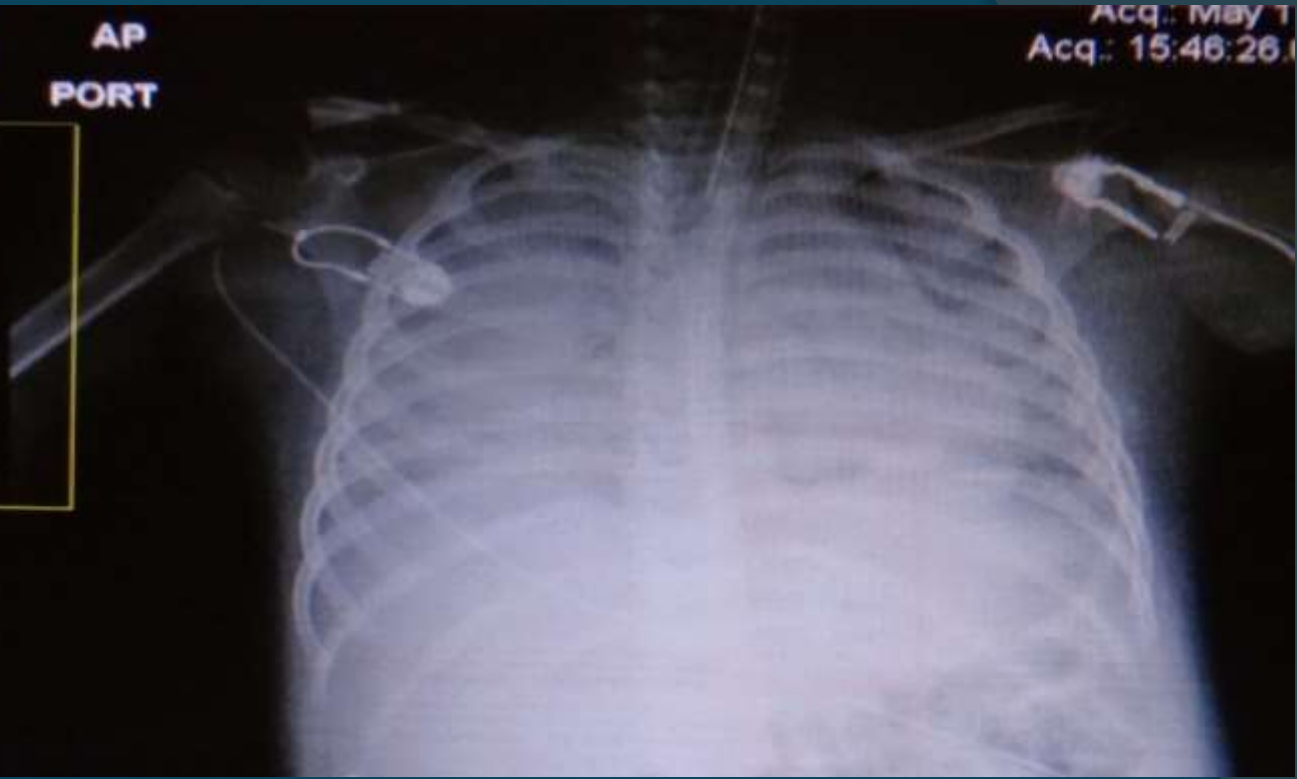
VV

Fio2 = 90%

AP
PORT

Acq.: May 1
Acq.: 15:46:26

PH= 7,26
Pao2= 37
PCo2= 48
SaO2= 70,9
HCO3= 21,5
BE= -5,4
Lactato= 3



QUE PACIENTES SE
BENEFICIAN CON ECMO ?

Fisiología de la oxigenación por membrana extracorporea

Objetivo:

transporte adecuado de oxígeno a los tejidos

- ECMO garantiza, el contenido de oxígeno en la sangre al poder saturarse la hemoglobina extracorporalmente y no depender de la función pulmonar primitiva del paciente.
- La cantidad de sangre oxigenada que el ECMO envía al torrente sanguíneo asegura el transporte de oxígeno

Ambas variables del transporte de oxígeno se aseguran en ECMO de forma independiente

GC



Volúmen Sistólico

X



Frecuencia Cardíaca

GC



X



Volúmen Sistólico
Cardíaca

Frecuencia

CaO₂



DO₂

=

GC

x

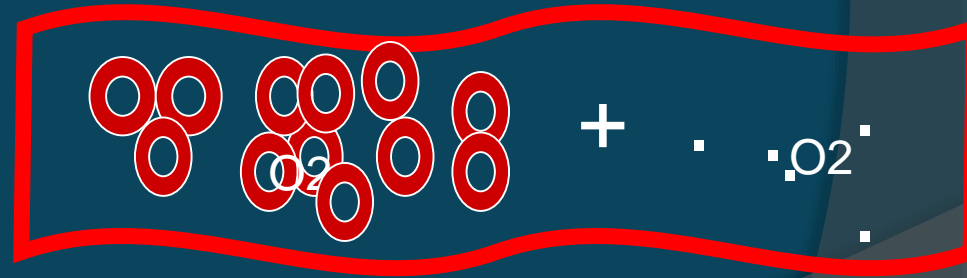
CaO₂

e
l
i
v
e
r
y

TRANSPORTE
APORTE

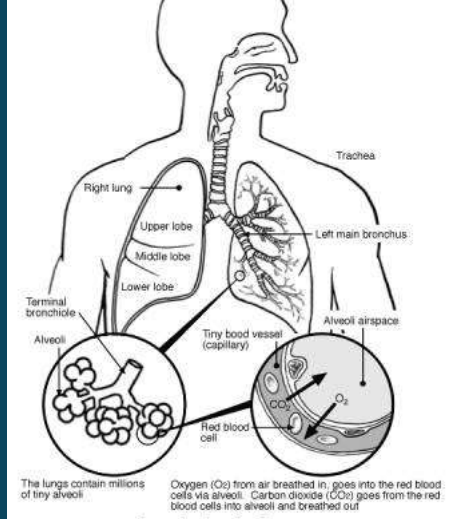


x

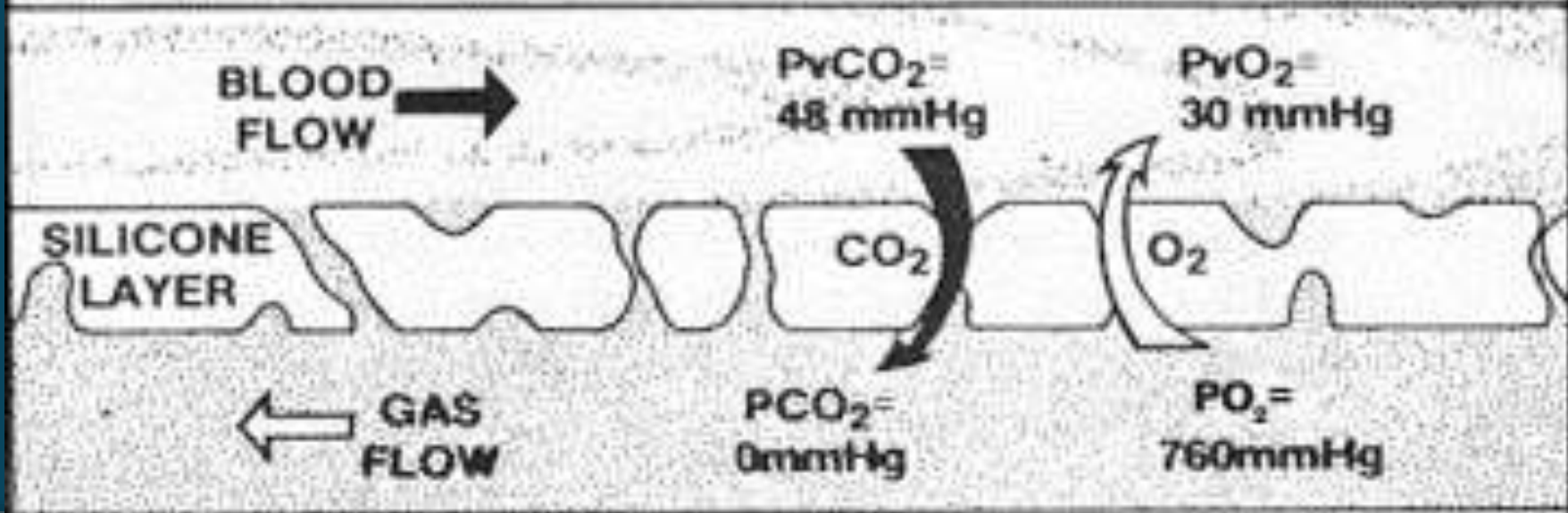


(VS x FC)

(Hb x 1.34 x SaO₂) + (PaO₂ x 0.23)

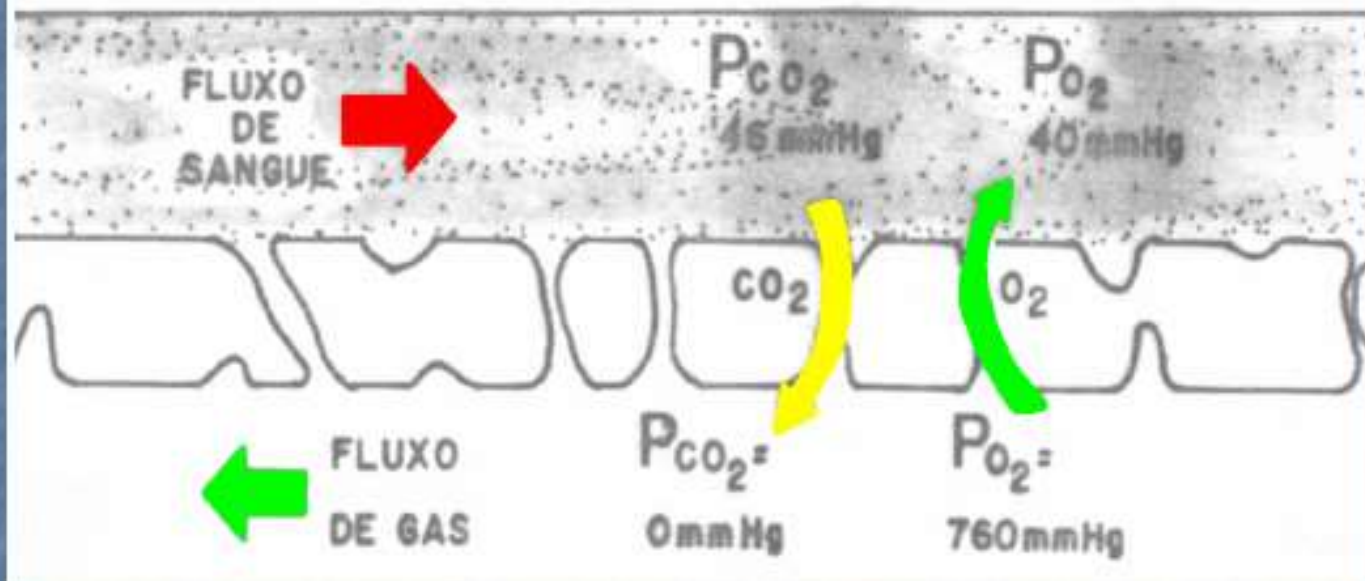


MEMBRANE OXYGENATOR

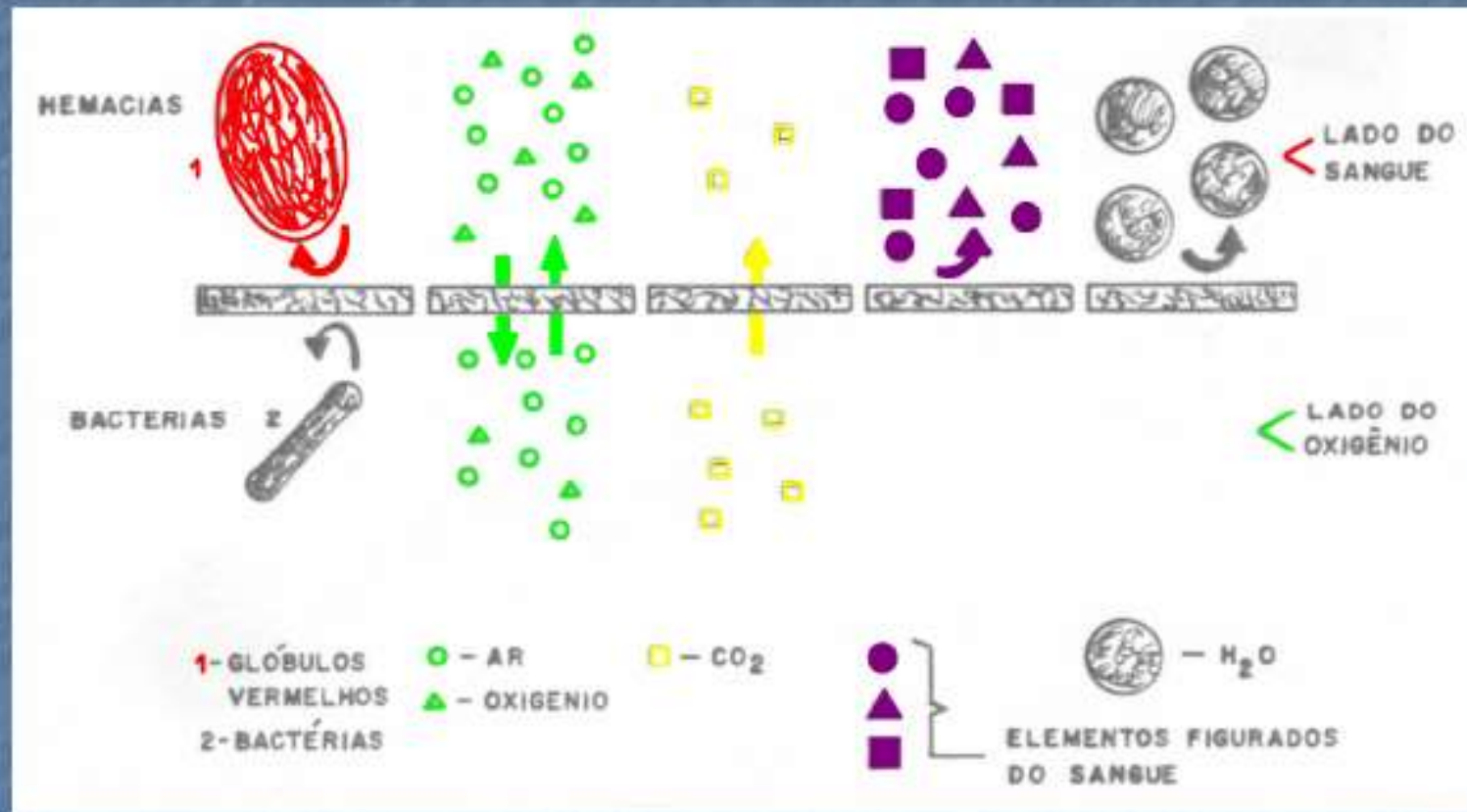


ESQUEMA DEL PRINCIPIO DE DIFUSIÓN DE CO_2 Y O_2 A TRAVÉS DE LA MEMBRANA

COMO A MEMBRANA SELECIONA

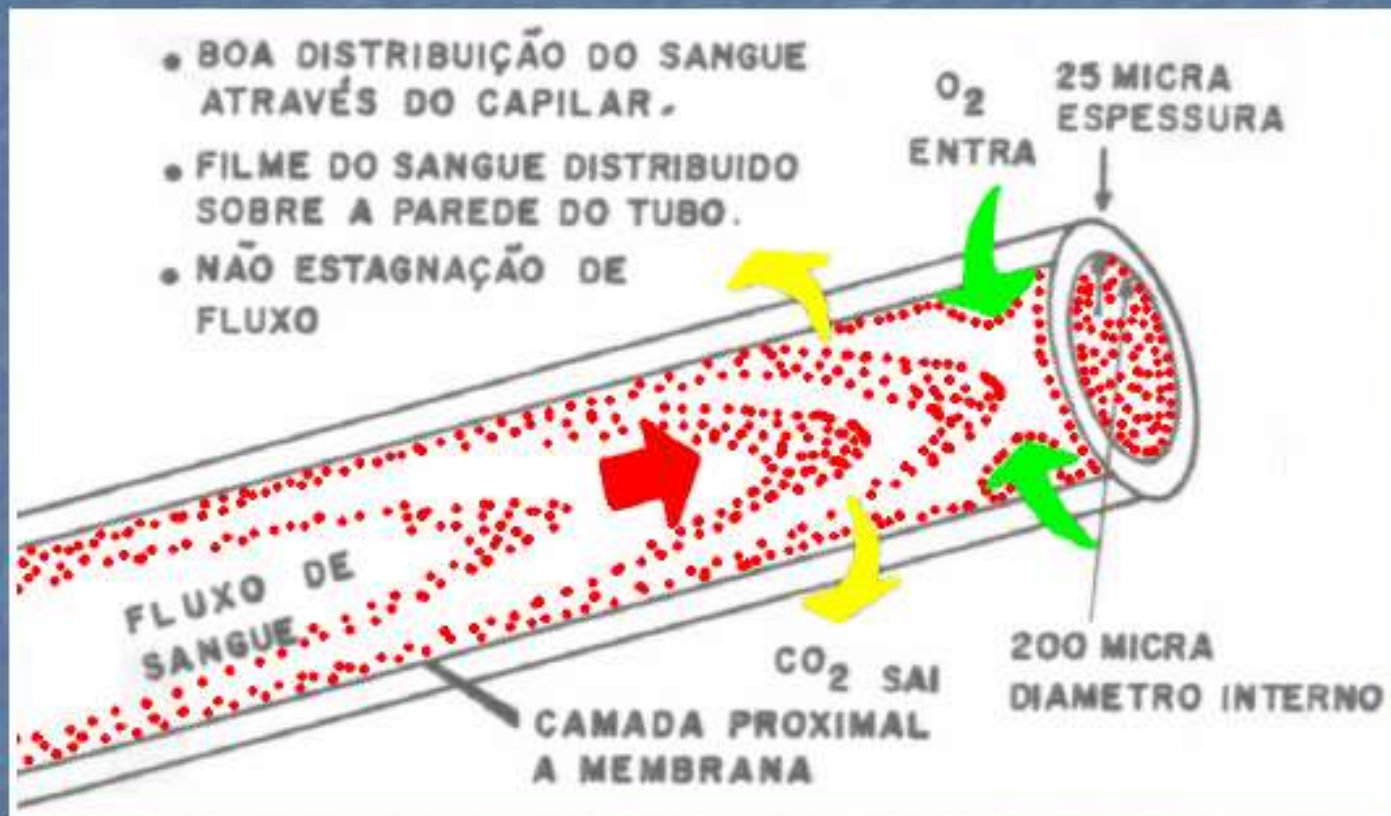


PRINCIPIO DE TRANSFERENCIA POR DIFUSIÓN A TRAVÉS DE LA MEMBRANA



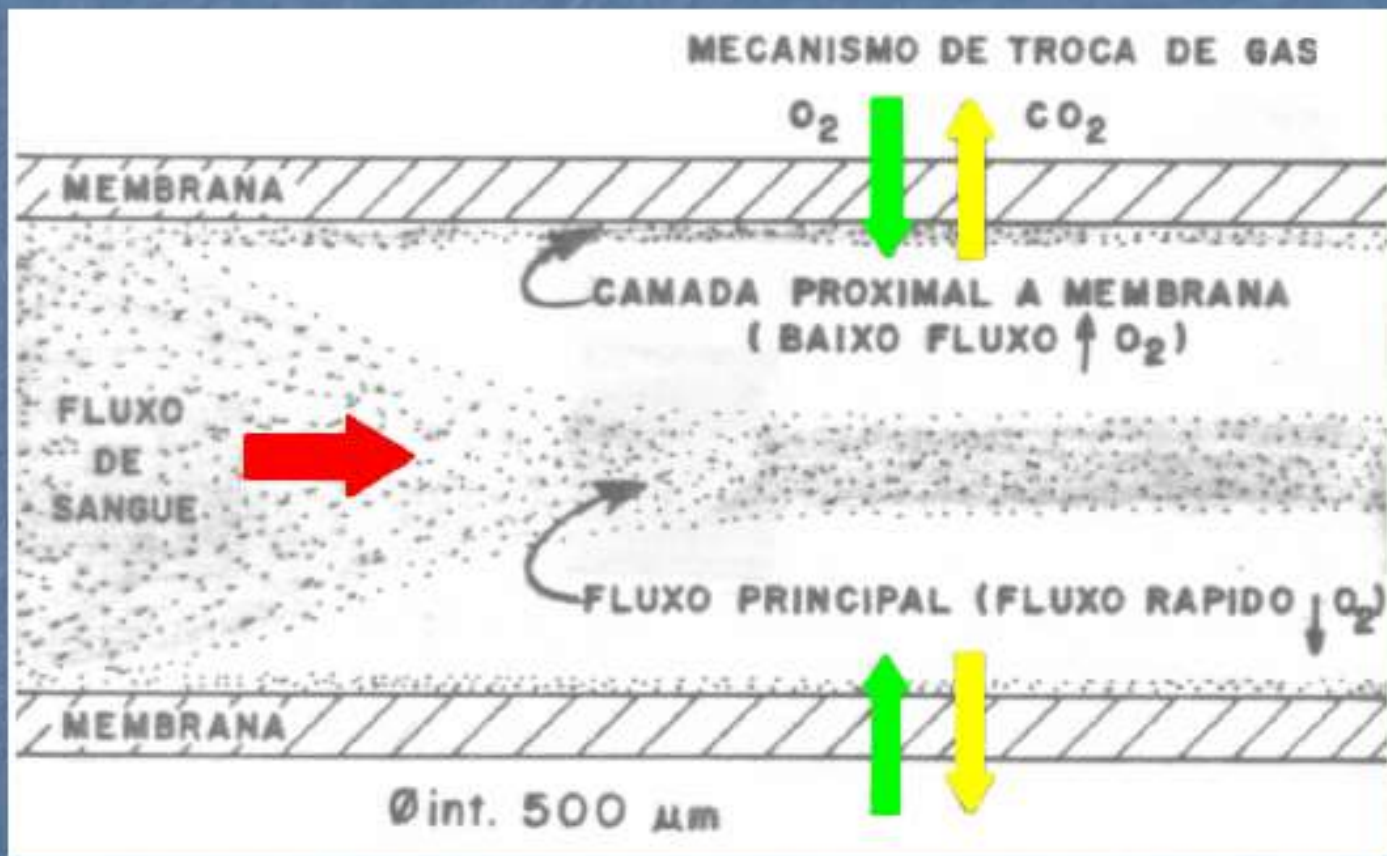
MEMBRANA CAPILAR

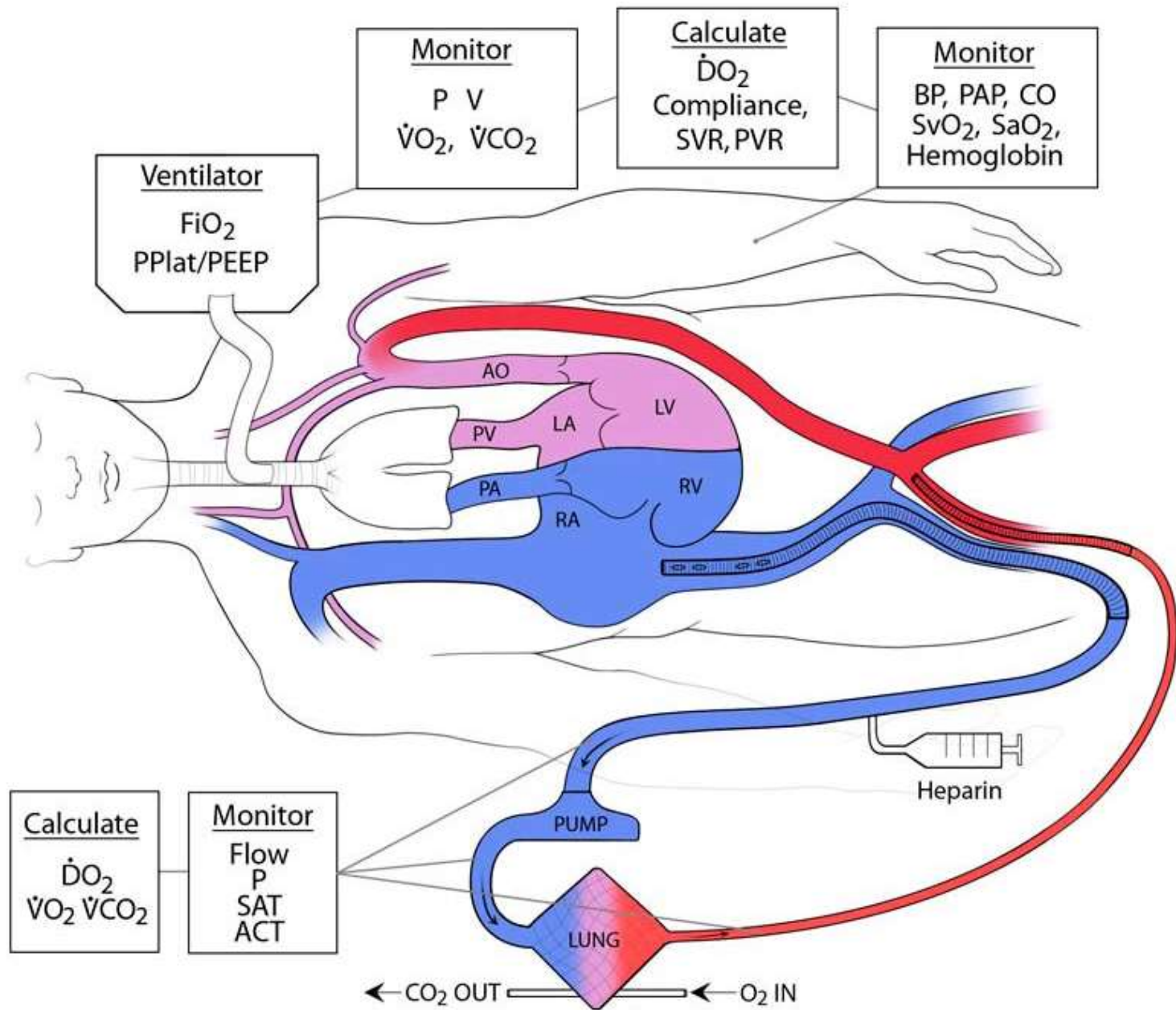
SANGRE DENTRO DEL CAPILAR



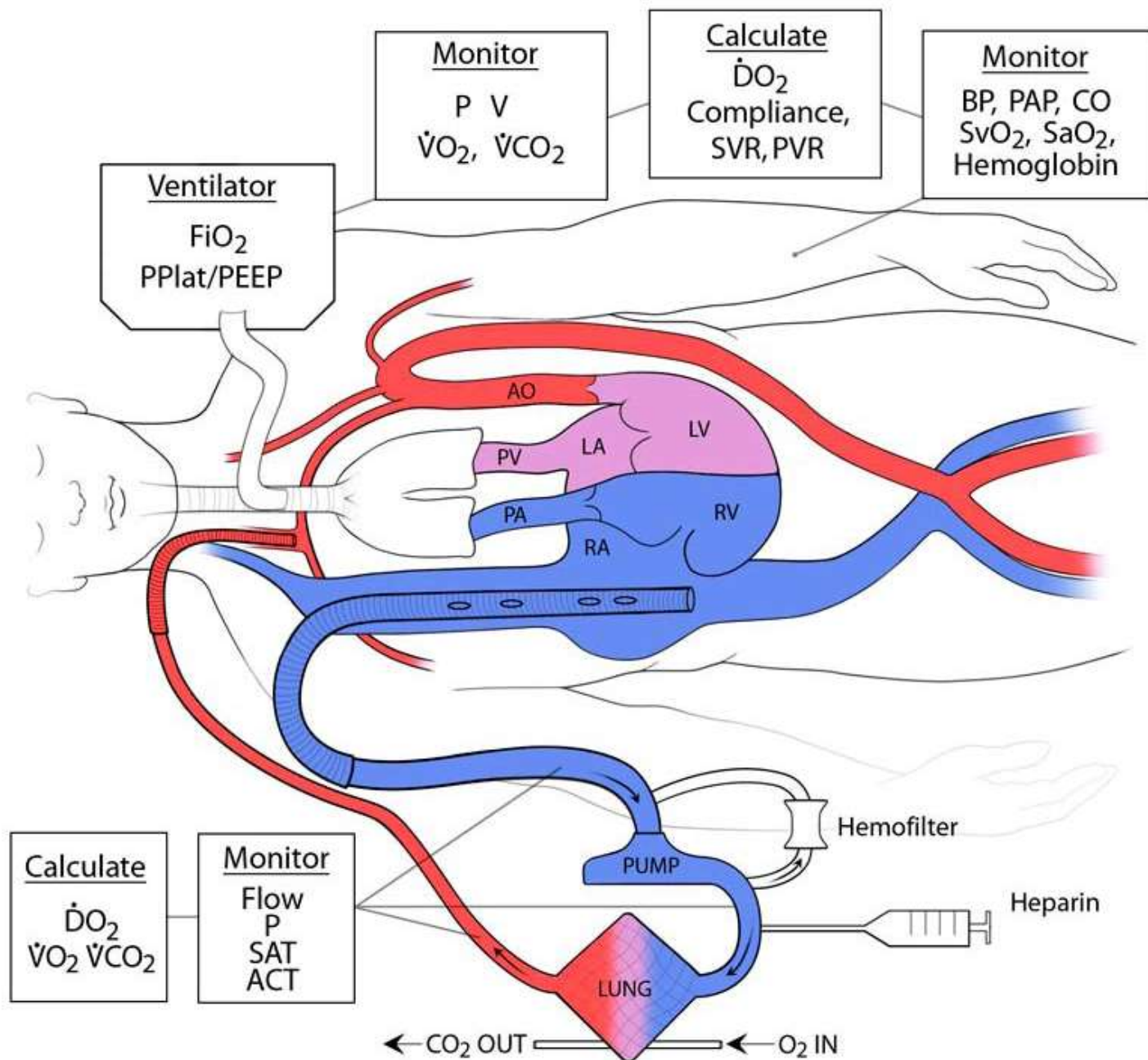
MEMBRANA CAPILAR SANGRE DENTRO DEL CAPILAR

PROBLEMA DE EFECTO DE BORDE

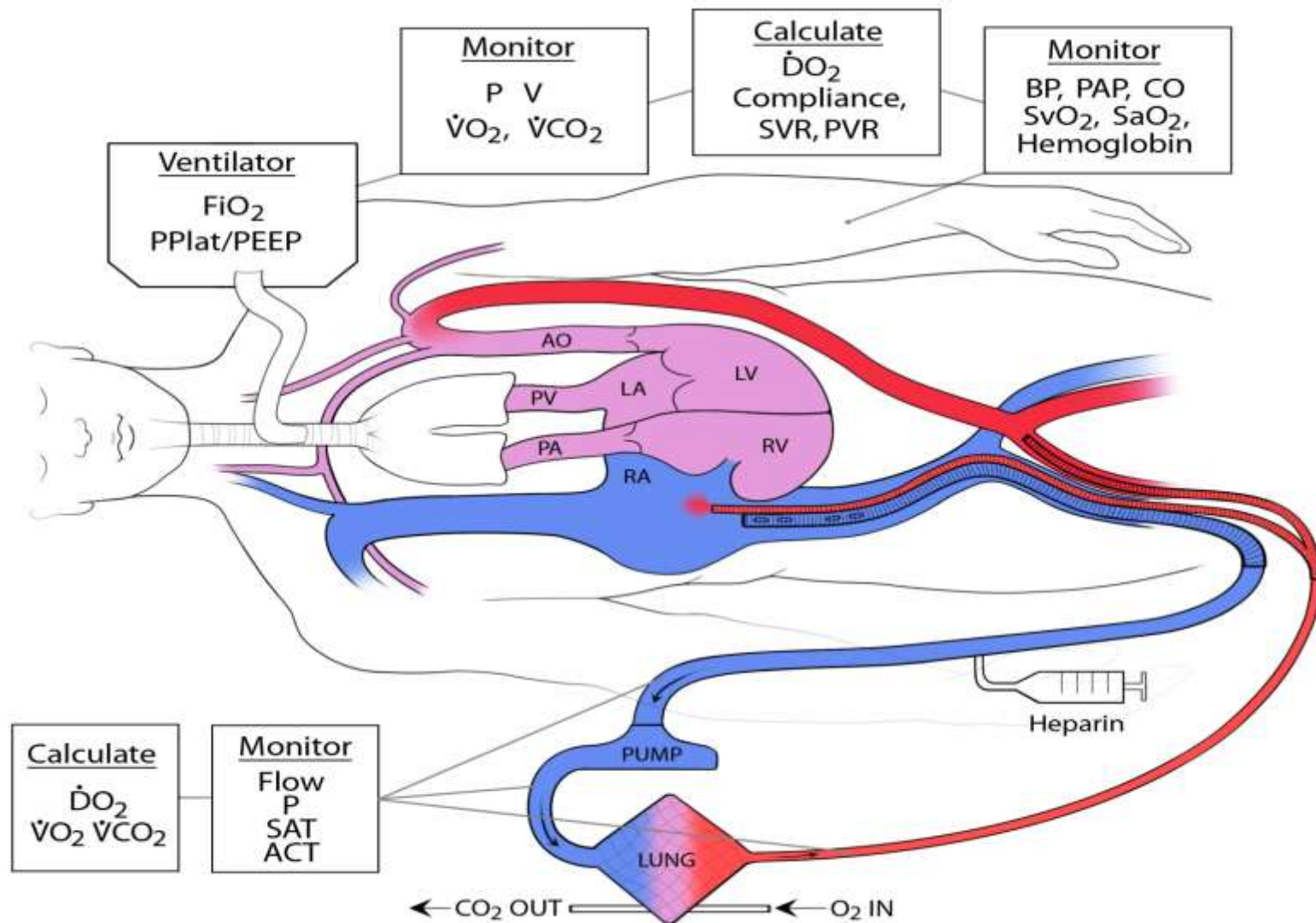




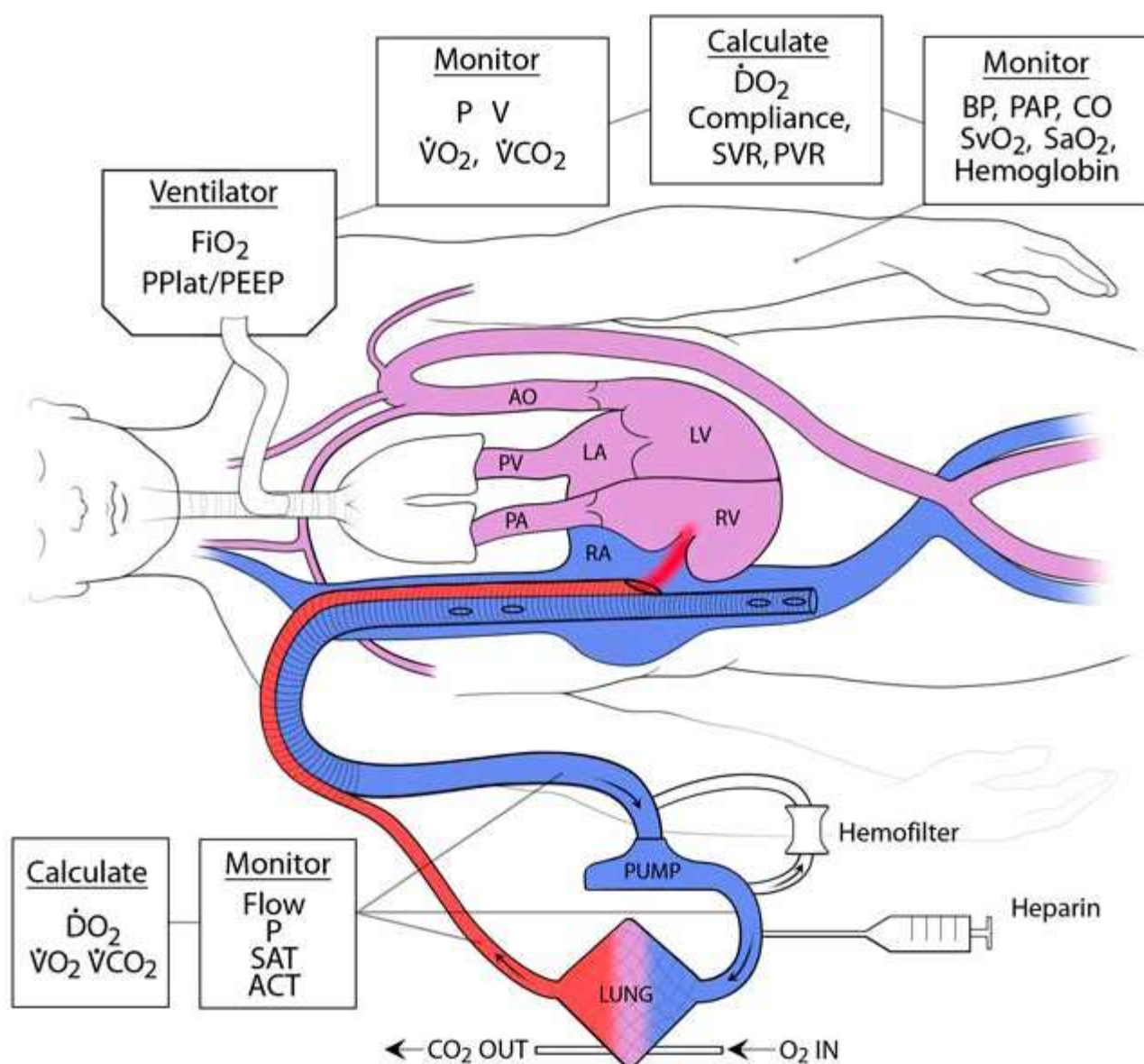
VA: acceso venoarterial via vasos femorales



VA: acceso venoarterial vía vasos del cuello



VAV: acceso venoarterial con algo de retorno venoso por AD

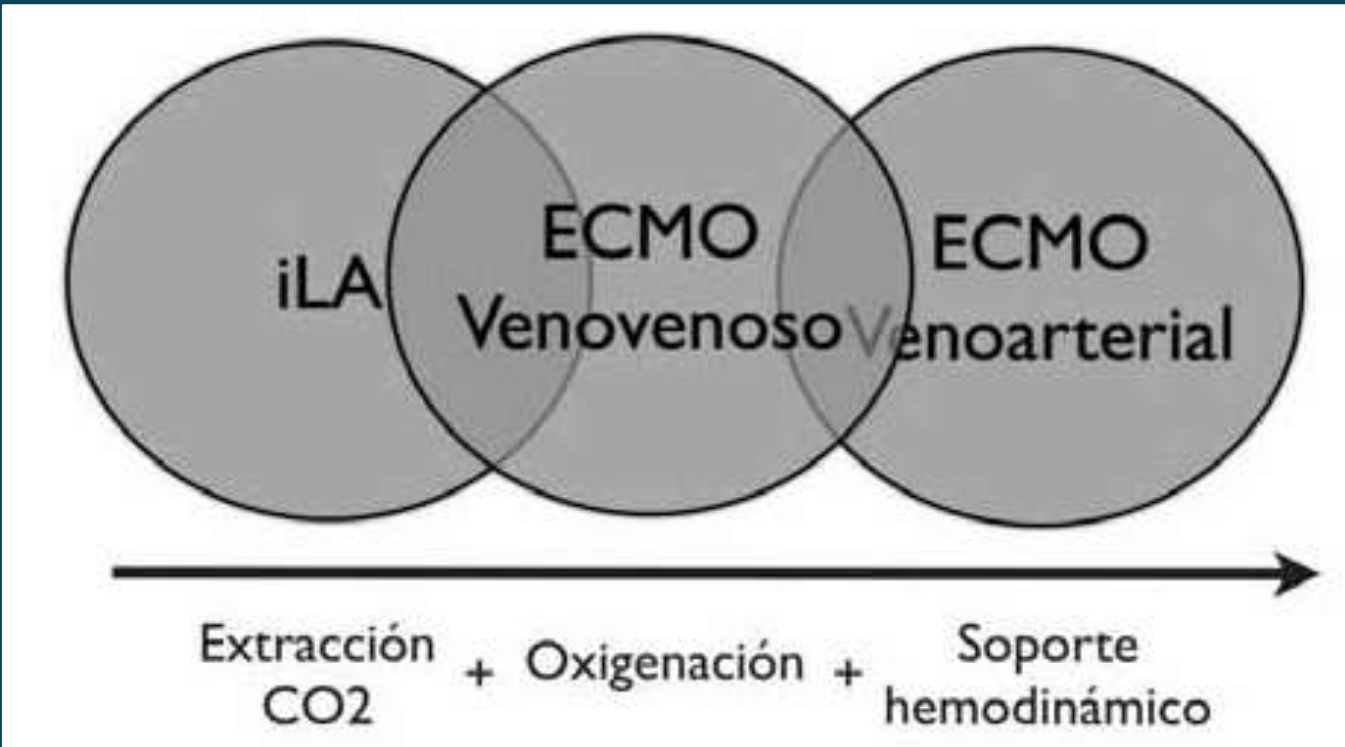


ECLS Veno-venoso con cánula de doble lumen

SOPORTE VITAL EXTRACORPOREO

TÉCNICA	DENOMINACIÓN GENÉRICA	USOS	EJEMPLOS	TIPO DE MEMBRANA
Circulación extra-corpórea (CEC)		Utilizado en cirugía cardiaca		Polipropileno microporoso
Extracción Arterio Venosa de CO ₂	iLA (asistencia respiratoria invasiva)	Destinado a barrer CO ₂	Novalung (iLA)	Polimetilpentene
ECMO VV	ECCOR	ECMO VV destinado a barrer CO ₂	Quadrox D Medtronic ECMO Medos LT	Silicona o polimetilpentene
	ECMO	Soporte respiratorio		
ECMO VA	ECMO	Soporte hemodinámico y/o respiratorio	Bomba Centrifuga (rotaflow, biomedicus, levitronix)	
Asistencia Ventricular		Soporte hemodinámico ventricular izquierdo, derecho o biventricular	Bomba Neumática Extracorpórea (Abiomed, BVS 5000 y AB 5000)	No aplica

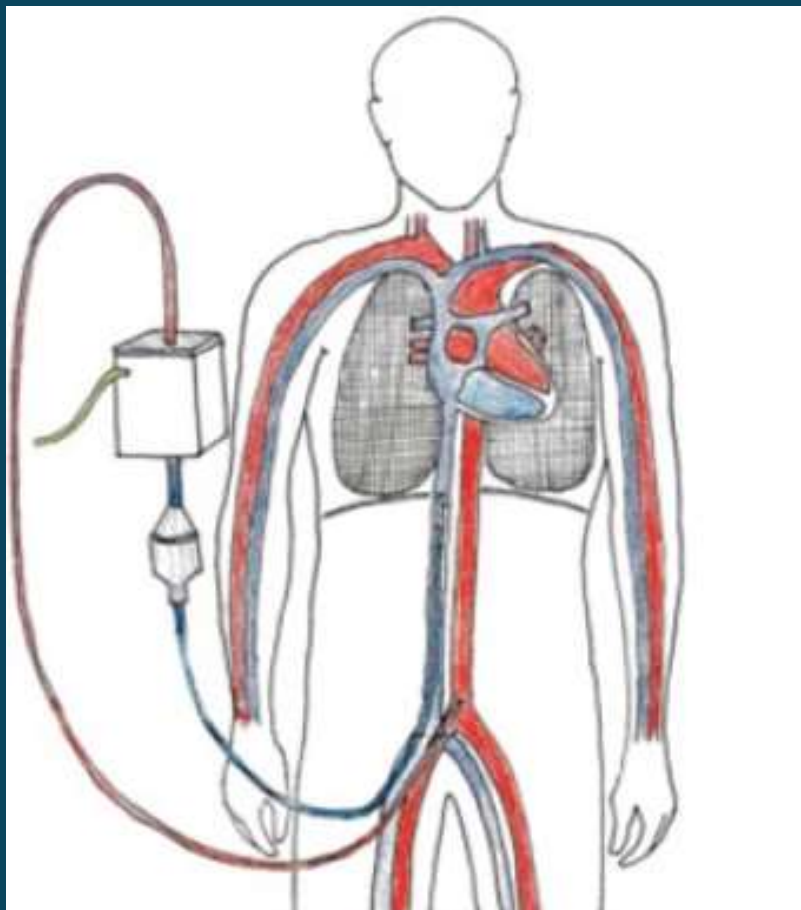
***: ECCOR es "extracción de CO2 extracorpórea". Se refiere al uso de un ECMO VV con un flujo de sangre de 20 a 30% del GC del paciente*



Rodrigo Díaz G. ECMO y ECMO Mobile. Soporte Cardio Respiratorio Avanzado.
REV. MED. CLIN. CONDES - 2011; 22(3) 377-387.

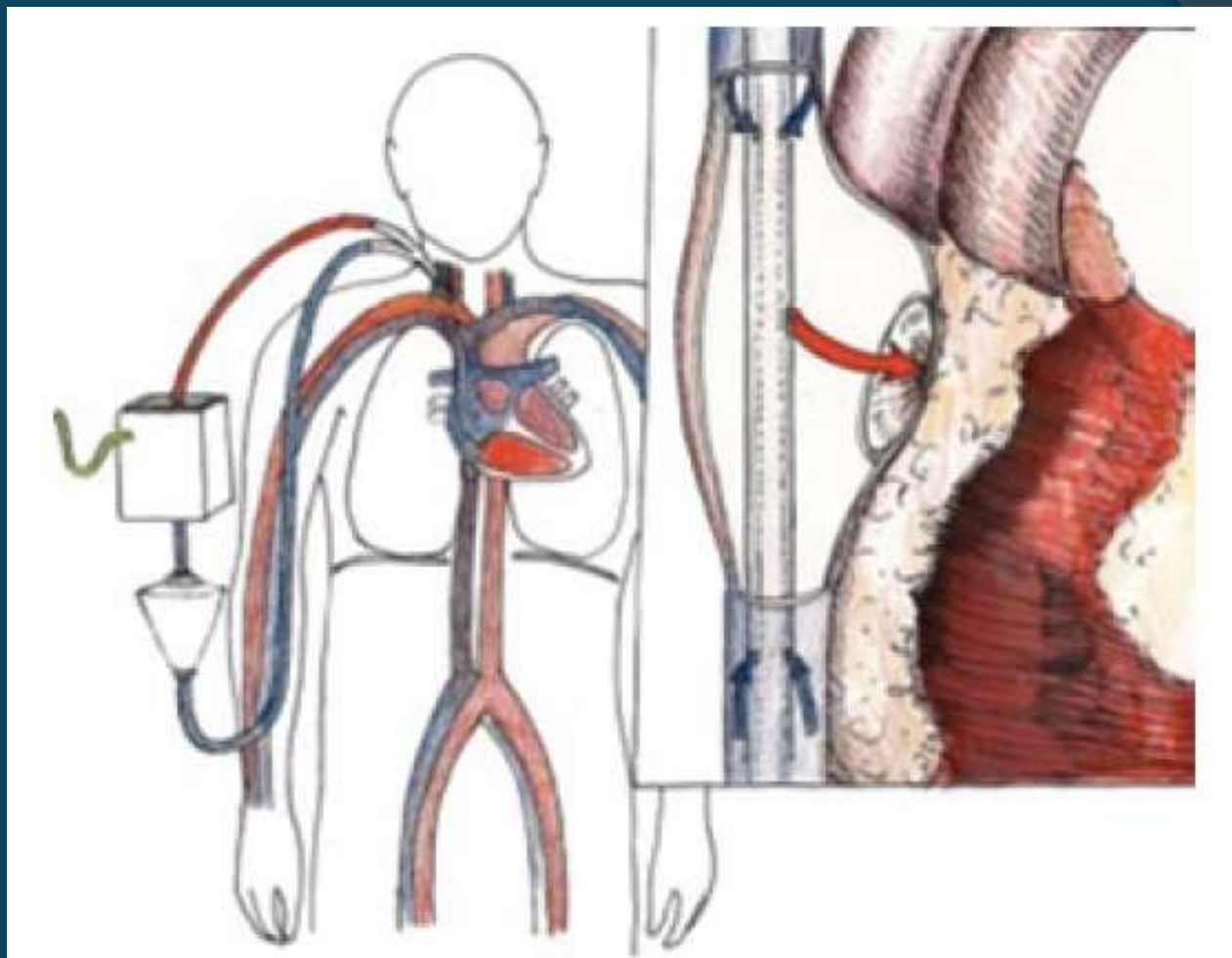
PRINCIPALES DIFERENCIAS EN LOS SOPORTES VITALES EXTRACORPÓREOS

	CEC	ECMO VA	ECMO VV	ART-VENOSO (iLA)
Flujo extracorpóreo (% GC)	100%	30-80%	30-90%	20-30%
Efecto cardiaco	Soporte total	Soporte parcial	Sin soporte	Extracarga
Duración habitual	< 6 horas	< 21 días	< 21 días	< 30 días
TCA	> 400	150-250	150-250	150
% O2 aportado por membrana	100%	20-90%	20-90%	20%
% CO2 extraído por membrana	100%	20-90%	20-90%	50%
Canulación de retorno más habituales	AO, fem, axilar	fem, axilar Central	YID o fem	fem



ECMO Veno Arterial: dibujo con configuración habitual que muestra drenaje por vía femoral y reinfusión por vía arterial femoral

Rodrigo Díaz G. ECMO y ECMO Mobile. Soporte Cardio Respiratorio Avanzado.
REV. MED. CLIN. CONDES - 2011; 22(3) 377-387.

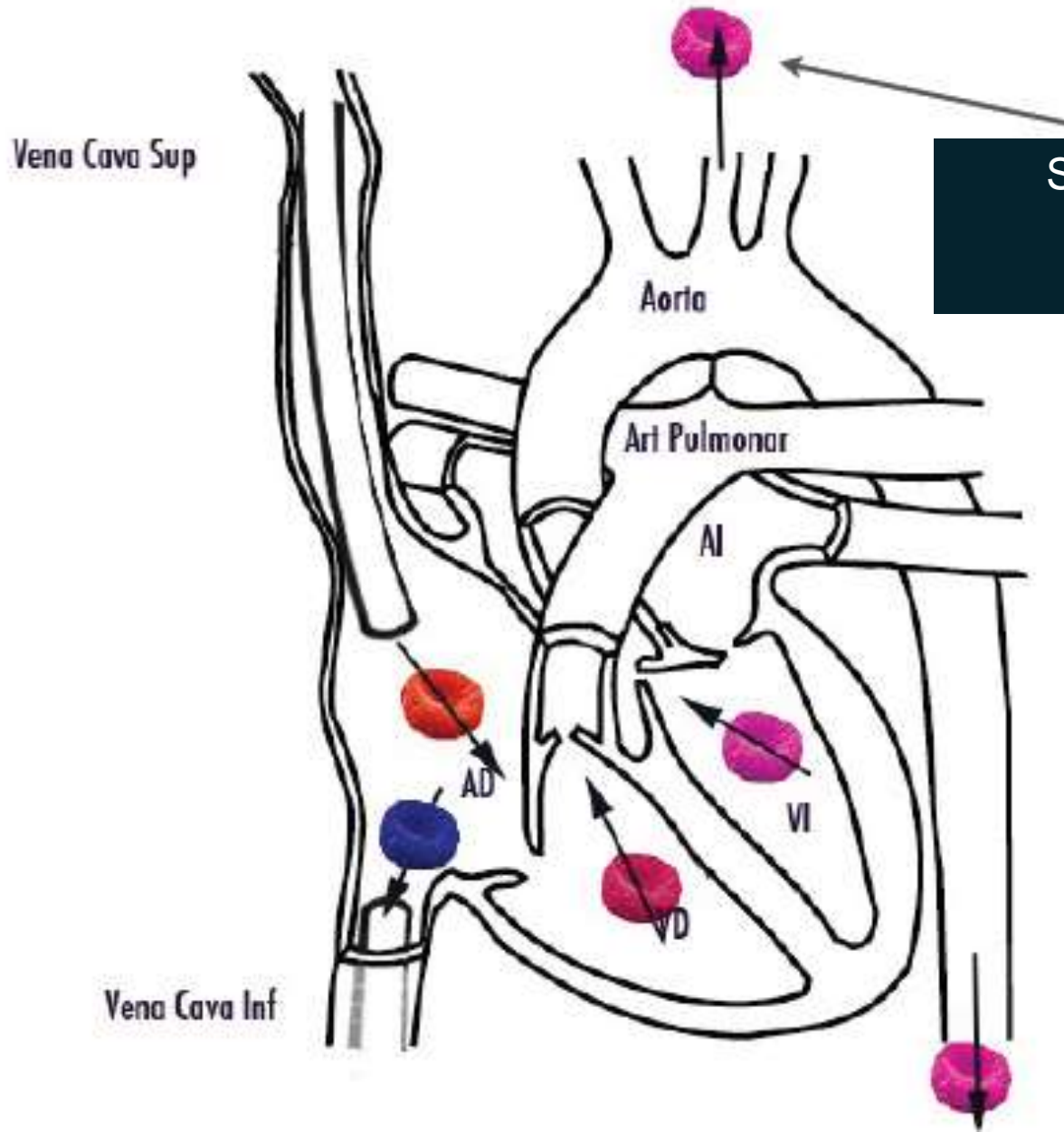


ECMO Veno Venoso la salida y retorno se hace por la vena yugular derecha, en el dibujo del detalle se observa la llegada de sangre oxigenada a la aurícula derecha y la extracción desde la vena cava inferior y superior.



ECMO Venovenoso: Rx de tórax que muestra cánula de retorno desde el ECMO hacia el paciente en aurícula derecha y la cánula de salida hacia el circuito se ve a nivel del diafragma y sale por vena femoral. Paciente con Influenza por AH1N1

ECMO V-V



SATURACION
OBJETIVO
> 80 – 85 %

Criteria para ECMO respiratorio

P_{aO_2}/F_{IO_2} ratio, < 100 on F_{IO_2} of 1.0, or $P(A-a)O_2$ of > 600 mm Hg, or Murray lung score of ≥ 3.0 ,³⁵ or uncompensated hypercapnea with a pH of < 7.20

Age < 65 yr

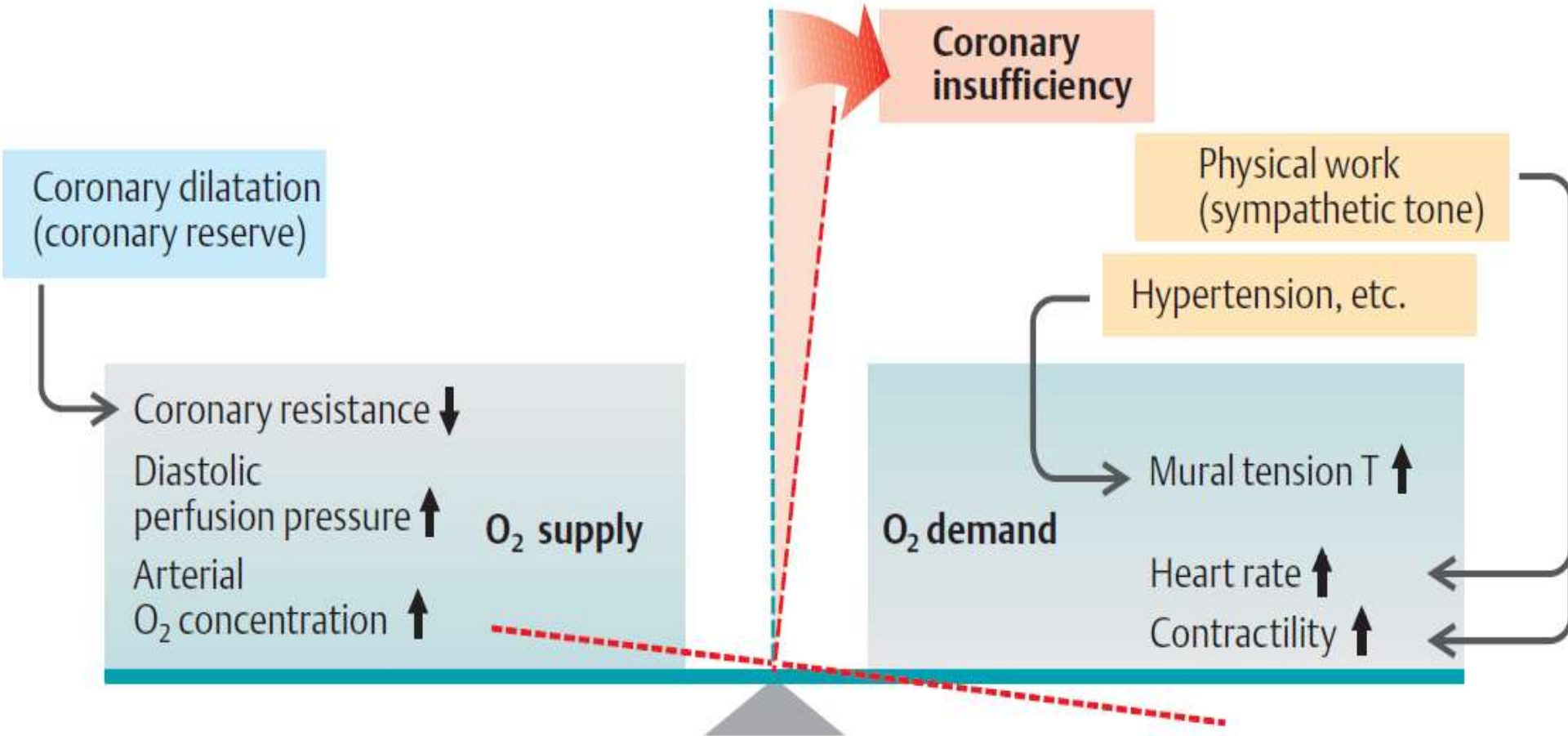
Receipt of mechanical ventilation for < 7 d

No known contraindication to limited anticoagulation

Patients who are not moribund and do not have contraindication to full intensive therapy

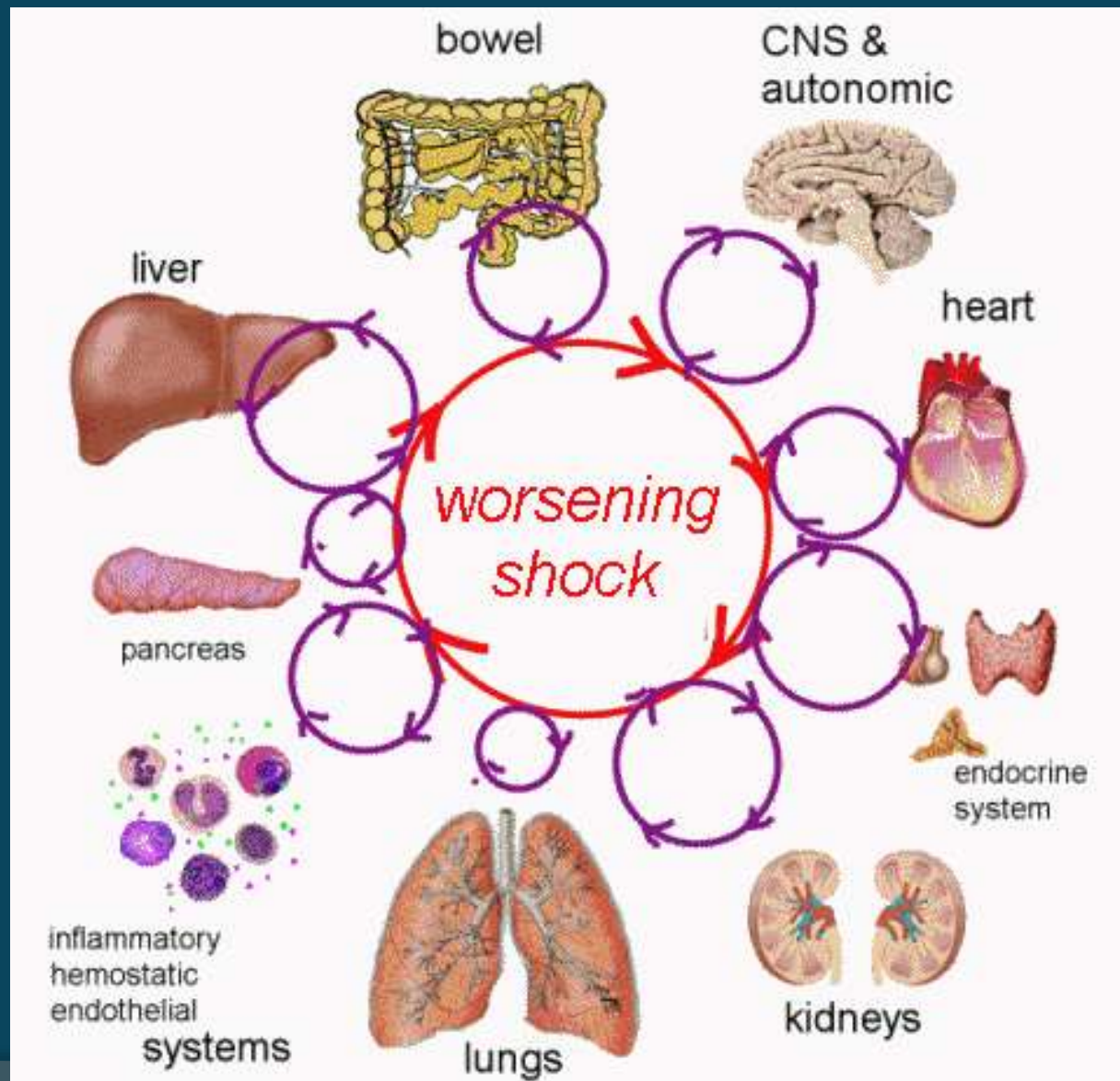
* $P(A-a)O_2$ = alveolar-arterial gradient.

SHOCK CARDIOGENICO

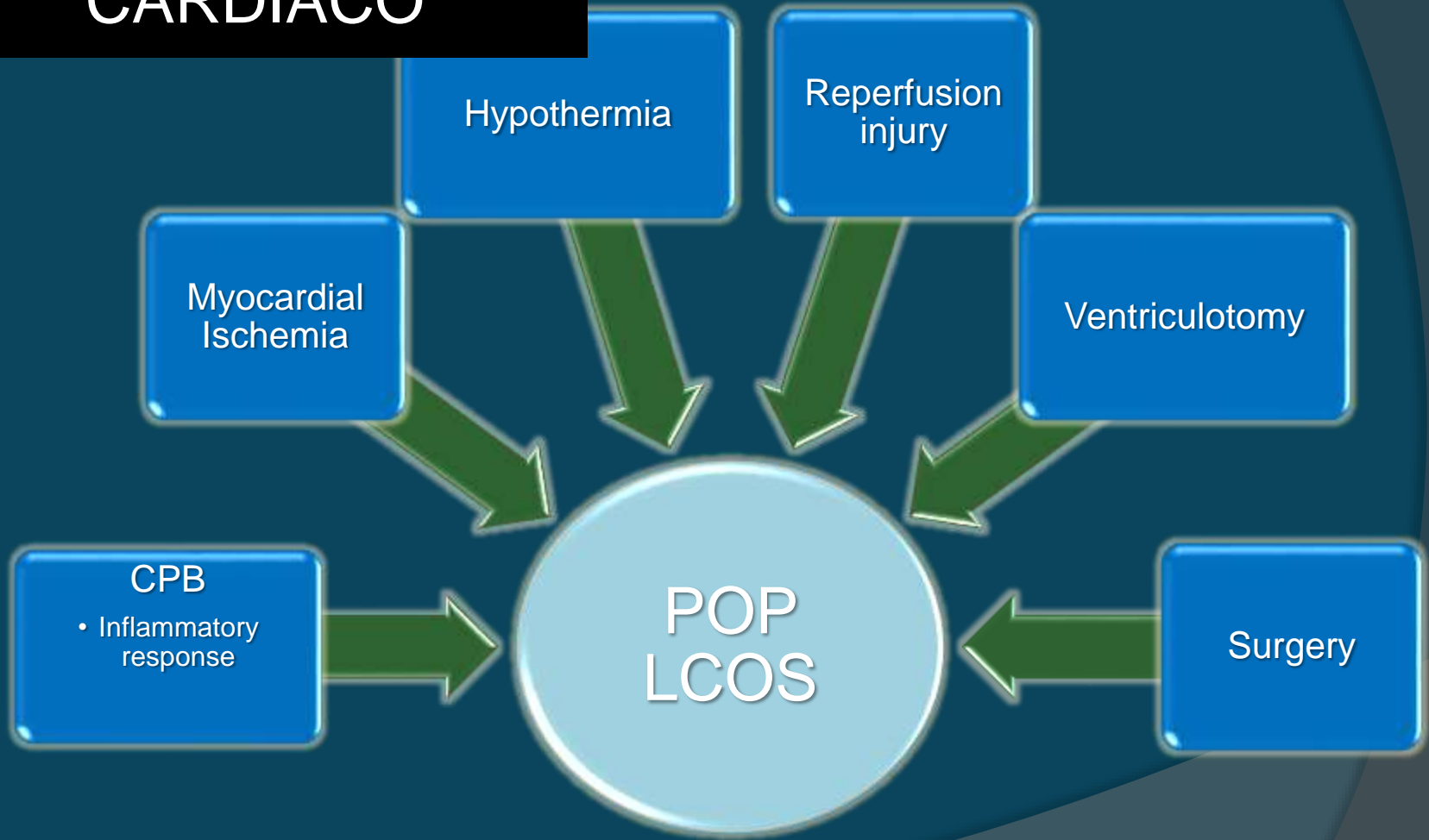


BALANCE DE OXIGENO EN EL MIOCARDIO

SHOCK CARDIOGENICO



SINDROME DE BAJO GASTO CARDIACO



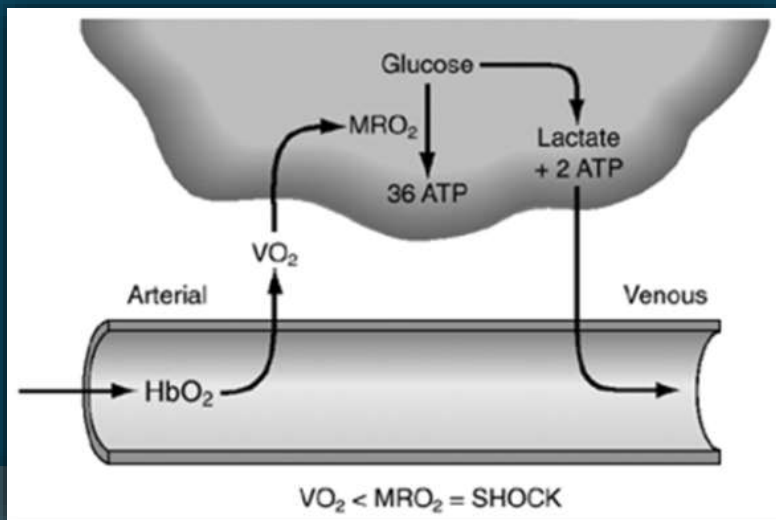
SINDROME DE BAJO GASTO CARDIACO

VO_2

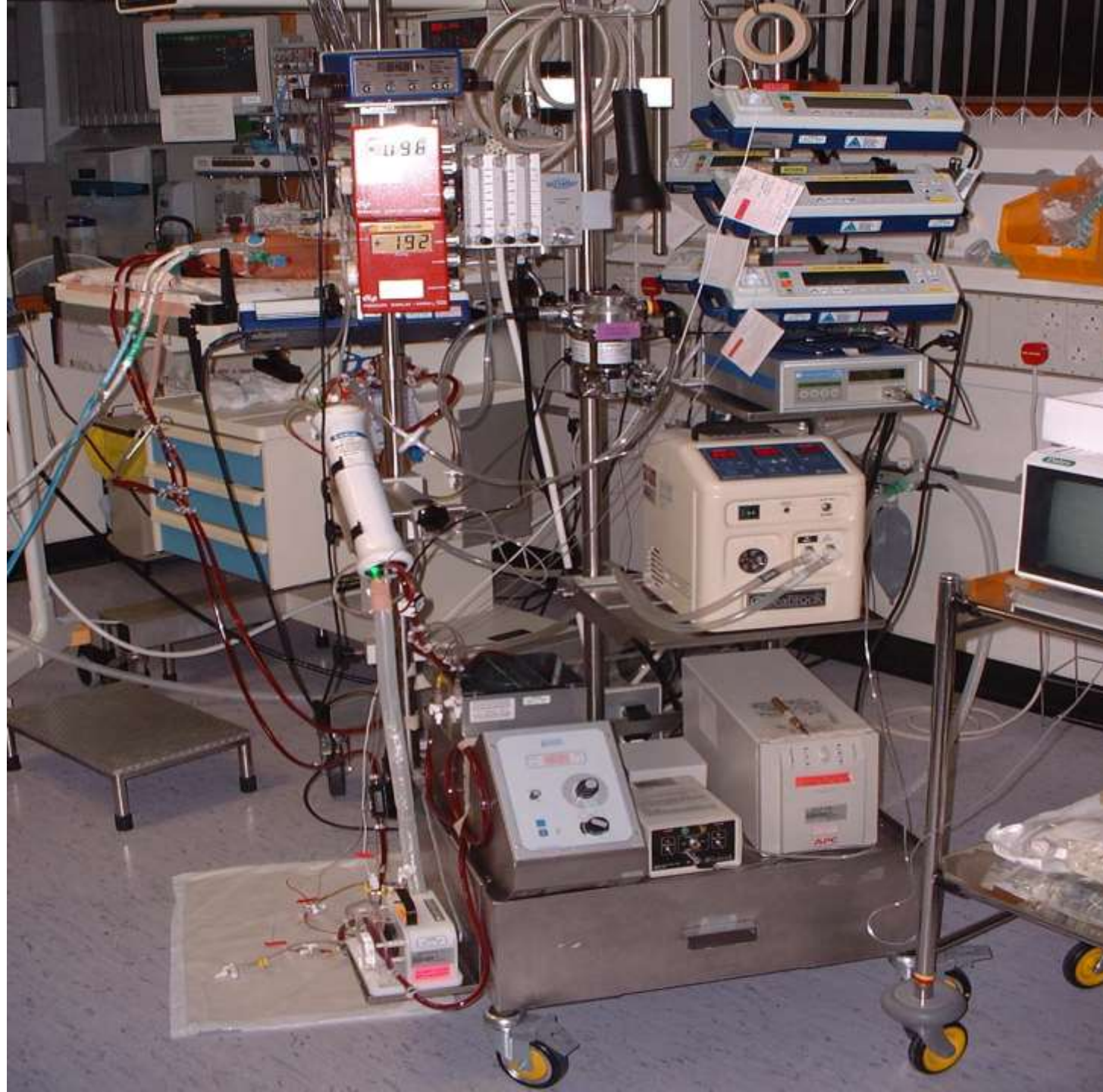


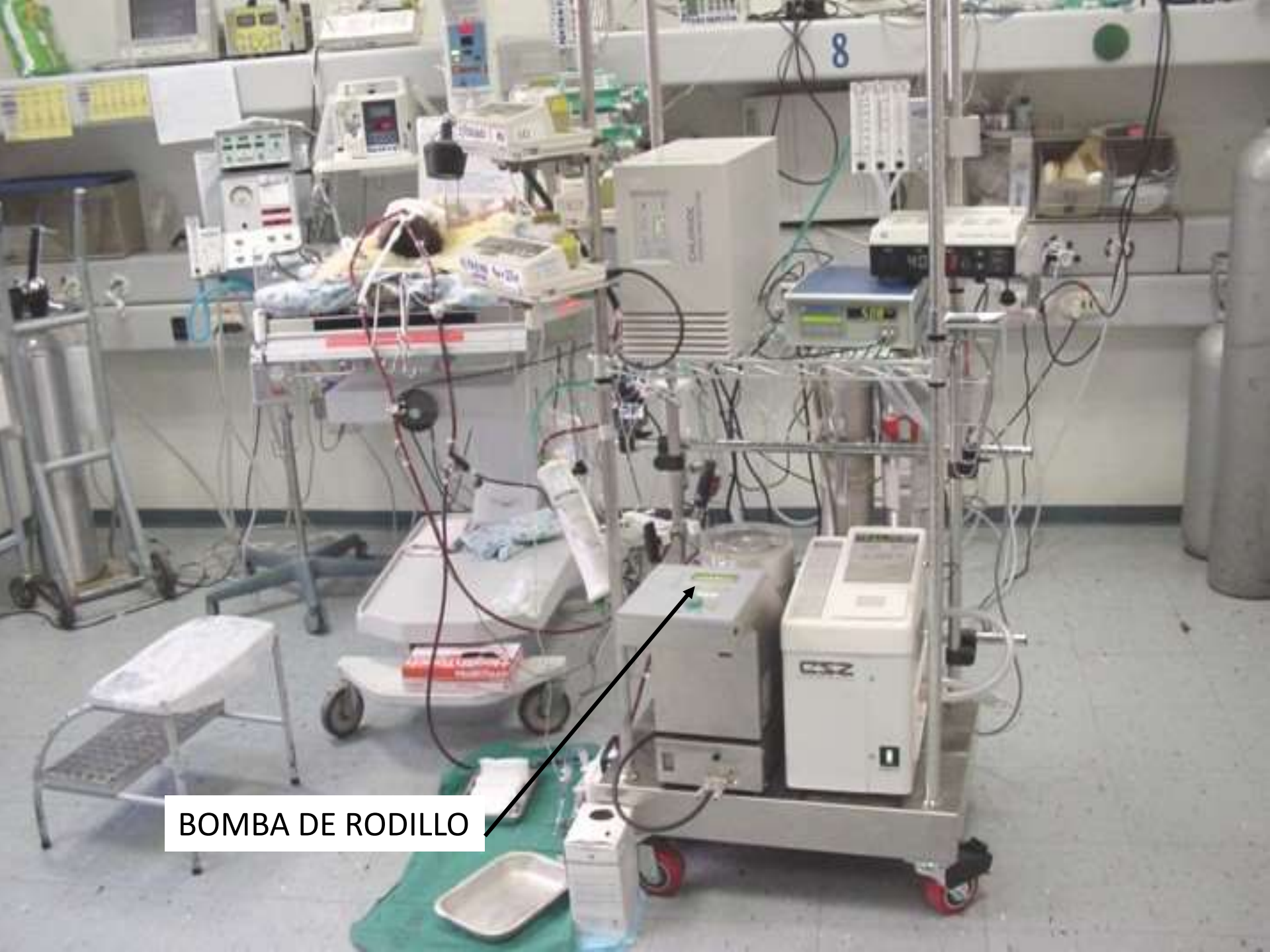
ECMO

EL GASTO CARDIACO ES INSUFICIENTE PARA MANTENER LAS DEMANDAS METABOLICAS SISTEMICAS









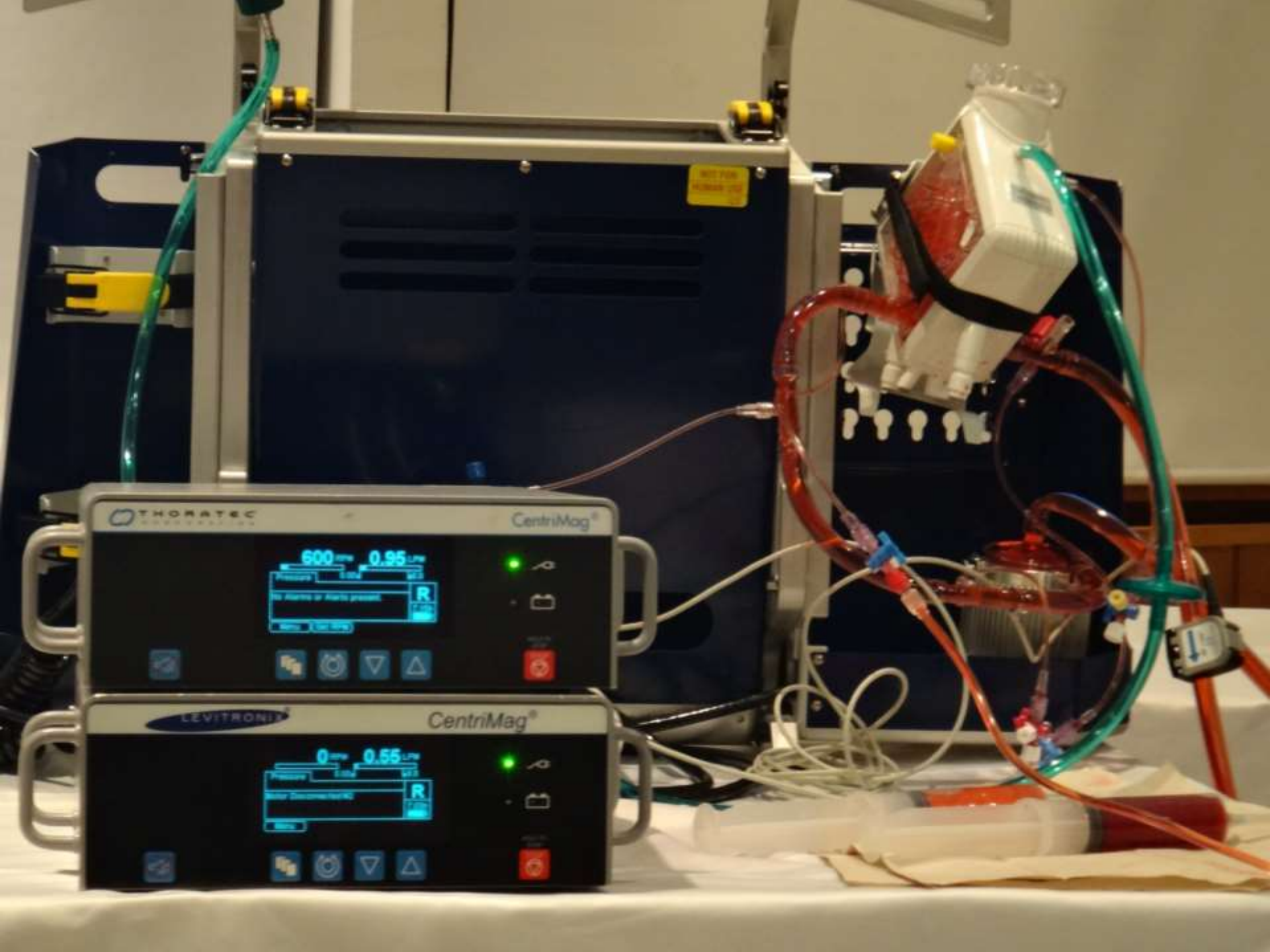
BOMBA DE RODILLO











THORATEC CentriMag®

600 mL/min 0.95 L/min

Pressure 1.0 kPa 12.5 kPa

No Alarms or Alerts present

Mode Run Stop

Buttons: [Home], [Menu], [Stop], [Up], [Down], [Power]

LEVITRONIX CentriMag®

0 mL/min 0.55 L/min

Pressure 1.0 kPa 12.5 kPa

Motor Disconnected

Mode Run Stop

Buttons: [Home], [Menu], [Stop], [Up], [Down], [Power]



OXIGENADOR

BOMBA CENTRIFUGA DE
LEVITACION MAGNETICA

LEVITRONIX

CentriMag

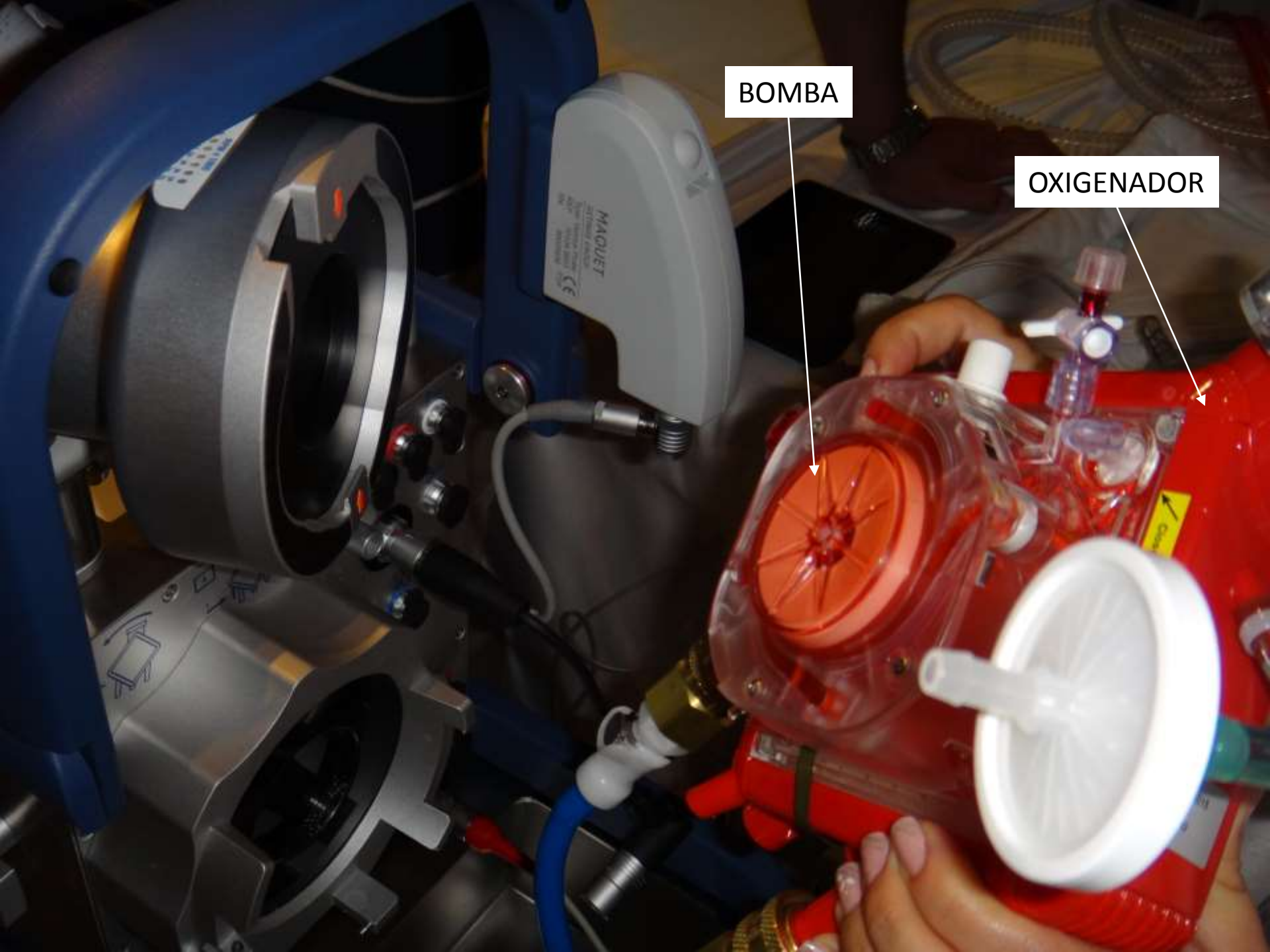
1350 rpm

1.85



BOMBA

OXIGENADOR





CARDIOHELP



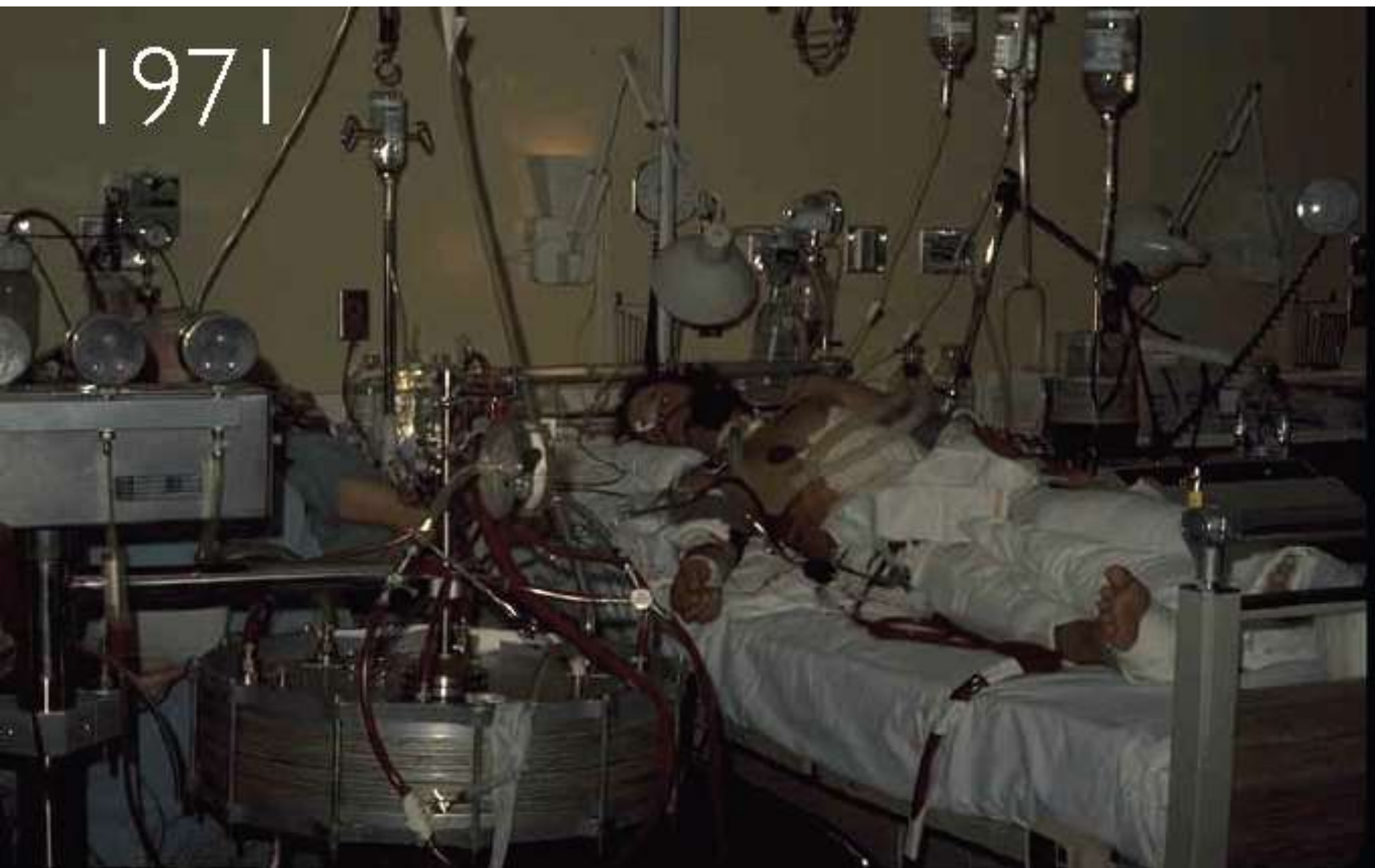
ECMO
+
CRRT

ECMO
+
CRRT



EXPERIENCIA MUNDIAL EN ECMO

1971

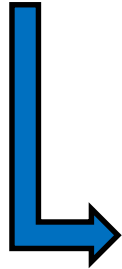


Evolución del ECLS

70 s

1972: Hill y col.

Primer éxito en un adulto con soporte Extracorporeo prolongado (75 h)



Politraumatizado
24 años
IRA postoperatoria
Reparación de aorta

N Engl J Med 1972; 286: 629



Evolución del ECLS

70 s

1976: Barlett.

Primer éxito en RN con SDRN
Mejoría importante en la sobrevida



Cardiopatías congénitas
Hernia congénita diafragmática
Hipoplasia pulmonar
Hipoxia neonatal
Gran número de casos

Latinoamérica

Chile

70 s



PRIMER RN TRATADA EN
ECMO 1975

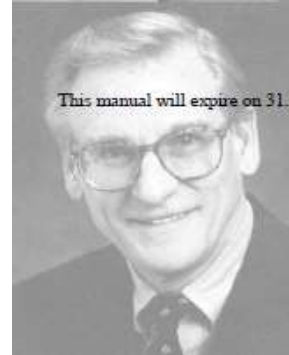




ECMO, VAD and Circulatory support

Extra Corporeal Membrane Oxygenation,
Ventricular Assist Device
Procedures of the Paediatric Intensive Care Unit
Freeman Hospital

J H Smith



This manual will expire on 31.1.2010.



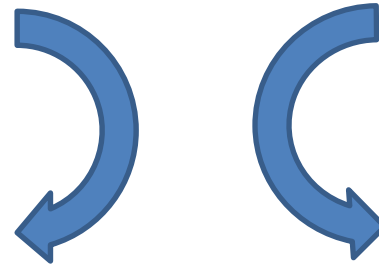
Neonatal ECMO
BOSTON CHILDREN'S HOSPITAL
Prospectivo randomizado 1986-88

80 s

PPHN
(19 pacientes)

ECMO
(9 pacientes
randomizados)

+ 20 ECMO
(no randomizados)
1 muerte



Tratamiento
convencional
(10 pacientes
randomizados)
4 muertes

97 %
SOBREVIDA



60 %
SOBREVIDA



ECMO - ADULTOS

Evolución del ECLS

70 s

- 1979: Zapol y col.

- Multicéntrico avalado por NIH
- ECMO vs. VM convencional en Insuficiencia Respiratoria

JAMA 1979; 242: 2193

- Mortalidad de 90% en ambos grupos
- Se abandono el uso de ECMO para falla respiratoria



1979

Extracorporeal membrane oxygenation in severe acute respiratory failure. A randomized prospective study

JAMA®

The Journal of the American Medical Association

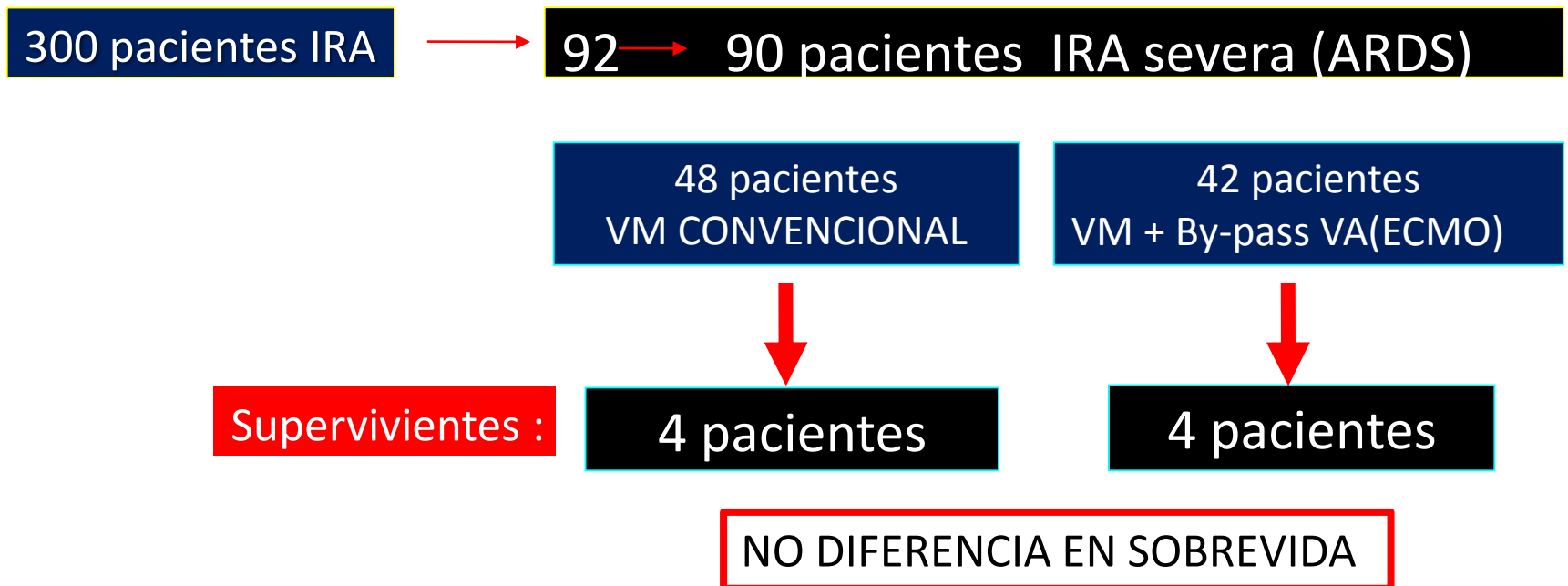
Vol. 242 No. 20, November 16, 1979

W. M. Zapol, M. T. Snider, J. D. Hill, R. J. Fallat, R. H. Bartlett, L. H. Edmunds, A. H. Morris, E. C. Peirce 2nd, A. N. Thomas, H. J. Proctor, P. A. Drinker, P. C. Pratt, A. Bagniewski and R. G. Miller Jr

Extracorporeal membrane oxygenation in severe acute respiratory failure.

A randomized prospective study

- Multicentrico: 11
- Avalado por NIH
- ECMO vs. VM convencional en SDRA
- Técnica: By-pass veno-arterial



1986

Low-frequency positive-pressure ventilation with extracorporeal CO₂ removal in severe acute respiratory failure

Vol. 256 No. 7, August 15, 1986

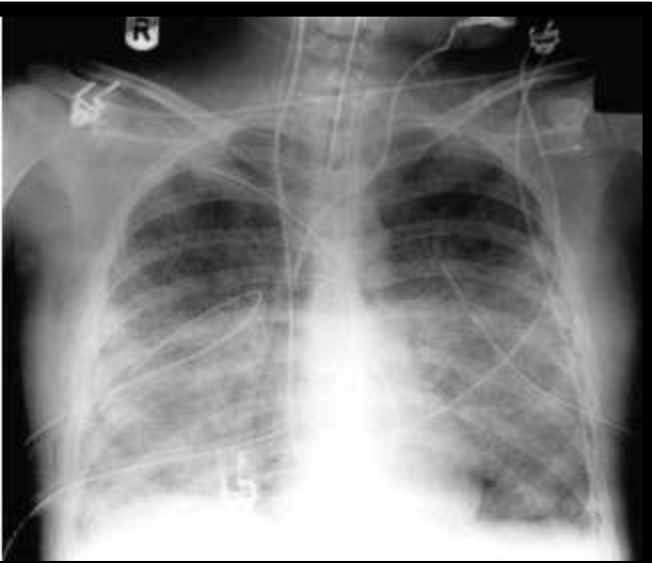
JAMA®

The Journal of the American Medical Association

L. Gattinoni, A. Pesenti, D. Mascheroni, R. Marcolin, R. Fumagalli, F. Rossi, G. Iapichino, G. Romagnoli, L. Uziel, A. Agostoni and al. et

Evolución del ECLS

80 s



- 1986: Gattinoni y col.
- Técnica de perfusión extracorporea con criterios de inclusión similares a los de Zapol.
- Umbral de entrada con mortalidad predecible del 90%
 - Bajo flujo
 - Acceso vascular percutáneo
 - Eliminación aumentada de CO₂
 - Supervivencia 48.8%
 - Se retoma uso de ECLS para falla respiratoria

JAMA 1986; 256: 881

Low-frequency positive-pressure ventilation with extracorporeal CO2 removal in severe acute respiratory failure

- Estudio no controlado
- Técnica: perfusión extracorporea de bajo flujo con acceso vascular percutáneo. By-pass VV
- Eliminación aumentada de dióxido de carbono (ECCO2)
- Umbral de entrada: mortalidad predecible mayor de 90%

43 pacientes



ECMO V-V +
VM: FR: 3-5
PP: 35 -45



SUPERVIVIENTES:
21 PACIENTES = 48.8%

*The mean time on bypass for the survivors was 5.4 +/- 3.5 days.
No major technical accidents occurred in more than 8000 hours of perfusion.*

Terminologia

ECMO

PECO₂R

VA-ECMO

ECCO₂R

VV-ECMO

ECLS

Extracorporeal Life Support





1989

- The Extracorporeal Life Support Organization (ELSO)
- Grupo de centros que utilizan en forma activa el soporte vital extracorpóreo (ECLS) en el manejo de la falla cardiopulmonar.
- Funciones:
 - aumentar la comunicación
 - desarrollar guías para soporte extracorpóreo
 - mantener un registro de los casos de ECLS



**ECMO
Extracorporeal
Cardiopulmonary
Support in
Critical Care**

3rd Edition

Editors

**Krisa Van Meurs, M.D.
Kevin P. Lally, M.D.
Giles Peek, M.D.
Joseph B. Zwischenberger, M.D.**



Extracorporeal Life Support for 100 Adult Patients With Severe Respiratory Failure

ANNALS OF SURGERY
Vol. 226, No. 4, 544–566

Srinivas Kolla, M.D., Samir S. Awad, M.D., Preston B. Rich, M.D.,
Robert J. Schreiner, M.D., Ronald B. Hirschl, M.D., Robert H. Bartlett, M.D.

Selection Criteria

The original selection criteria we used for **ECLS** were the following: transpulmonary shunt >30%, compliance <0.5 mL/cm water/kg, mechanical ventilation <5 days, and age younger than 60 years of age.

Table 1. PATIENT CHARACTERISTICS FOR ADULT RESPIRATORY ECLS

	Hypoxemic Respiratory Failure (n = 94)	Hypercarbic Respiratory Failure (n = 6)
Survival/recovery (%)	(52.1/59.6)	(83.0/83.0)
Male/female (%)	(46.8/53.2)	(33.3/66.7)
Weight (kg)	77.6 ± 22.2	73.0 ± 17.5
Age (yr)	33.9 ± 12.5	37.8 ± 9.3
Duration of ECLS (hr)	285.3 ± 249.9	54.0 ± 41.5
p _a O ₂ /F _i O ₂ ratio	55.7 ± 16.0	266.2 ± 161.8
Shunt (Q _s /Q _t)	0.52 ± 0.22*	0.25 ± 0.20
Pre-ECLS vent days	3.5 ± 2.7	3.8 ± 4.3
Last pre-ECLS ABG		
p _a O ₂ (mmHg)	54.7 ± 15.0	187.5 ± 158.0
p _a CO ₂ (mmHg)	45.4 ± 12.3	84.0 ± 31.5
pH	7.26 ± 0.76	7.19 ± 0.18
S _a O ₂ (%)	82.0 ± 12.0	95.0 ± 7.5
Last pre-ECLS ventilator settings		
F _i O ₂	1.00 ± 0.10	0.70 ± 0.30
PIP (cmH ₂ O)	46.5 ± 13.4	51.3 ± 9.9
PEEP	13.9 ± 4.8	2.2 ± 3.5
S _v O ₂	49.8 ± 21.5*	72.2 ± 12.5

VV-ECMO

100 adultos

Supervivencia : 54 %

Extracorporeal Life Support for 100 Adult Patients With Severe Respiratory Failure

ANNALS OF SURGERY
Vol. 226, No. 4, 544-566

Srinivas Kolla, M.D., Samir S. Awad, M.D., Preston B. Rich, M.D.,
Robert J. Schreiner, M.D., Ronald B. Hirschl, M.D., Robert H. Bartlett, M.D.

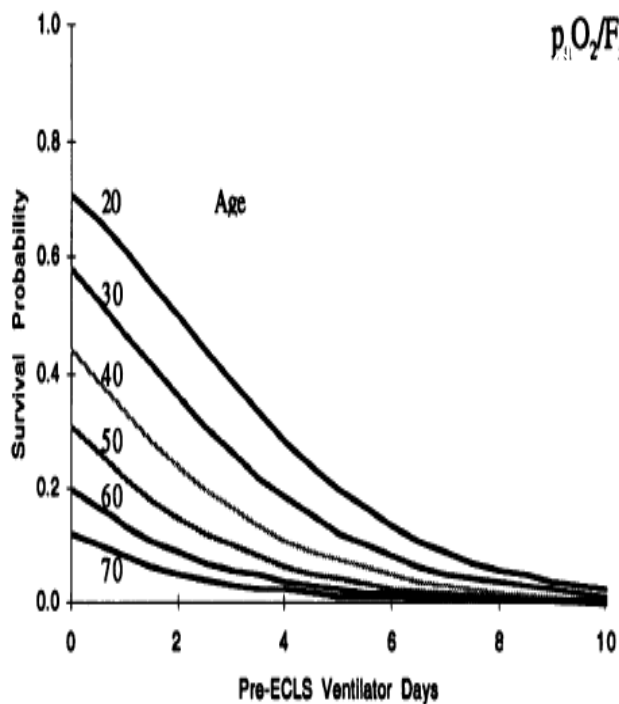


Table 7. SUMMARY OF THE STEPWISE LOGISTIC REGRESSION MODELS OF THE DEPENDENT VARIABLE "SURVIVAL" FOR 94 PATIENTS WITH PRIMARY HYPOXEMIC RESPIRATORY FAILURE TREATED WITH ECLS

Variable	β	SE	Chi Square	p Value	Odds Ratio
Pre-ECLS					
Age (yr)	>0.0580	0.0209	7.7005	0.0055	1.060
p_iO_2/F_iO_2 ratio	0.0628	0.0204	9.4636	0.0021	0.939
Ventilator days	-0.4607	0.1261	13.3422	0.0003	1.585
Constant	0.1962	1.2164	—	—	—
During ECLS					
Bleeding	-2.0247	0.5819	12.1080	0.0005	7.574
Creatinine >1.5 mg/dL	-2.6513	0.5805	20.8618	<0.0001	14.172
Constant	2.7127	0.6148	—	—	—

2000

Extracorporeal Life Support The University of Michigan Experience

JAMA[®]

The Journal of the American Medical Association

2000;283:904-908.

Robert H. Bartlett, MD; Dietrich W. Roloff, MD; Joseph R. Custer, MD; John G. Younger, MD; Ronald B. Hirschl, MD

Extracorporeal Life Support The University of Michigan Experience

- Universidad de Michigan
- Grupo trabaja específicamente con técnica V-A (Hemmila y col.)
- Son tratados aproximadamente 20 pacientes por año con SDRA severo
- Criterio principal de ingreso: $PaO_2/FiO_2 \leq 100$
- Con una sobrevida estimada del 52%. VA-ECMO



Extracorporeal Life Support The University of Michigan Experience

- 1000 pacientes consecutivos entre 1980 y 1998

Survival to hospital discharge

Respiratory failure

88% in 586 neonates

70% in 132 children

56% in 146 adults

Cardiac failure

48% in 105 children

33% in 31 adults.

CASO CLÍNICO

Oxigenación con membrana extracorpórea en pacientes pediátricos. Comunicación de los 3 primeros casos tratados

Javier Kattan S^{1,2}, Alvaro González M^{1,2},
Pedro Becker R^{1,3}, José I Rodríguez C^{1,2},
Alberto Estay N^{1,2}, Miriam Faunes P^{1,2,a},
Christian Fajardo J^{1,4}, Roberto Canessa B⁴,
por Grupo ECMO-UC¹.



Conventional Ventilation or
ECMO for
Severe
Adult
Respiratory Failure

A Collaborative
Randomised
Controlled Trial

PROTOCOL
February 2003

[ISRCTN47279827](https://www.clinicaltrials.gov/ct2/show/study?term=CESAR&rank=1)

- Adult patients (18-65 years)
- Severe, but *potentially reversible* respiratory failure:
 - Murray score >3.0 , or
 - uncompensated hypercapnoea with a pH <7.20 .
- The Murray score using all 4 parameters
- The Murray score of 3.0 is a **MINIMUM** entry criterion
- Duration of high pressure and/or high FIO₂ ventilation < 7 days
 - no intra-cranial bleeding
 - no contra-indication to heparinisation



Conventional Ventilation or
ECMO for
Severe
Adult
Respiratory Failure

A Collaborative
Randomised
Controlled Trial

PROTOCOL
February 2003

[ISRCTN47279827](https://www.clinicaltrials.gov/ct2/show/study/NCT00171439)

Conventional Management

Plateau pressure <30 cm H₂O
(or if plateau pressure is not
measured the peak inspiratory
pressure).

This will usually mean a
tidal volume of 4-8ml/kg body
weight as defined in the low
tidal volume ventilation
strategy according to the ARDS
Network group

Randomised controlled trial and parallel economic evaluation of conventional ventilatory support versus extracorporeal membrane oxygenation for severe adult respiratory failure (CESAR)

GJ Peek, D Elbourne, M Mugford,
R Tiruvoipati, A Wilson, E Allen,
F Clemens, R Firmin, P Hardy,
C Hibbert, N Jones, H Killer, M Thalanany
and A Truesdale

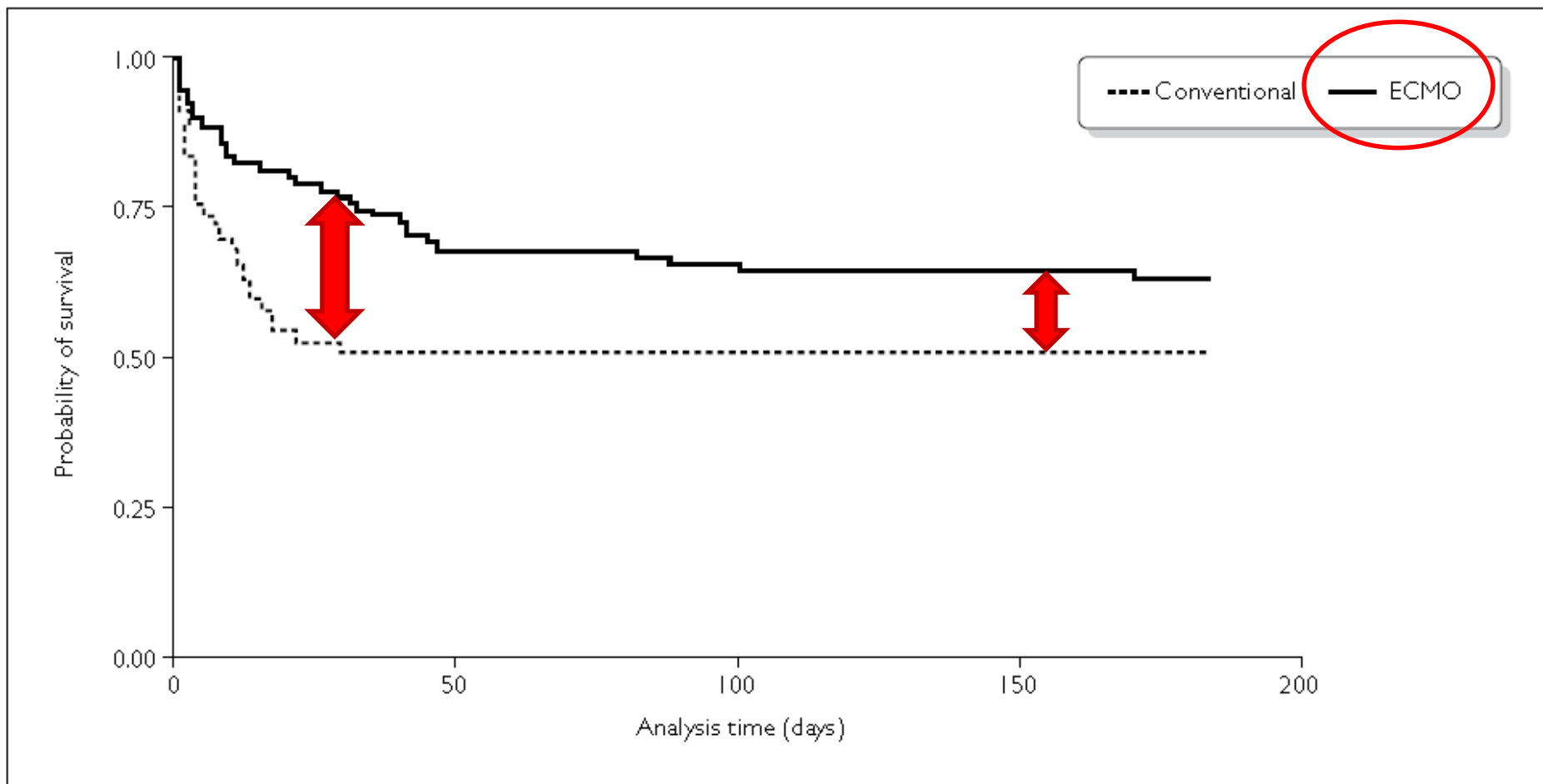
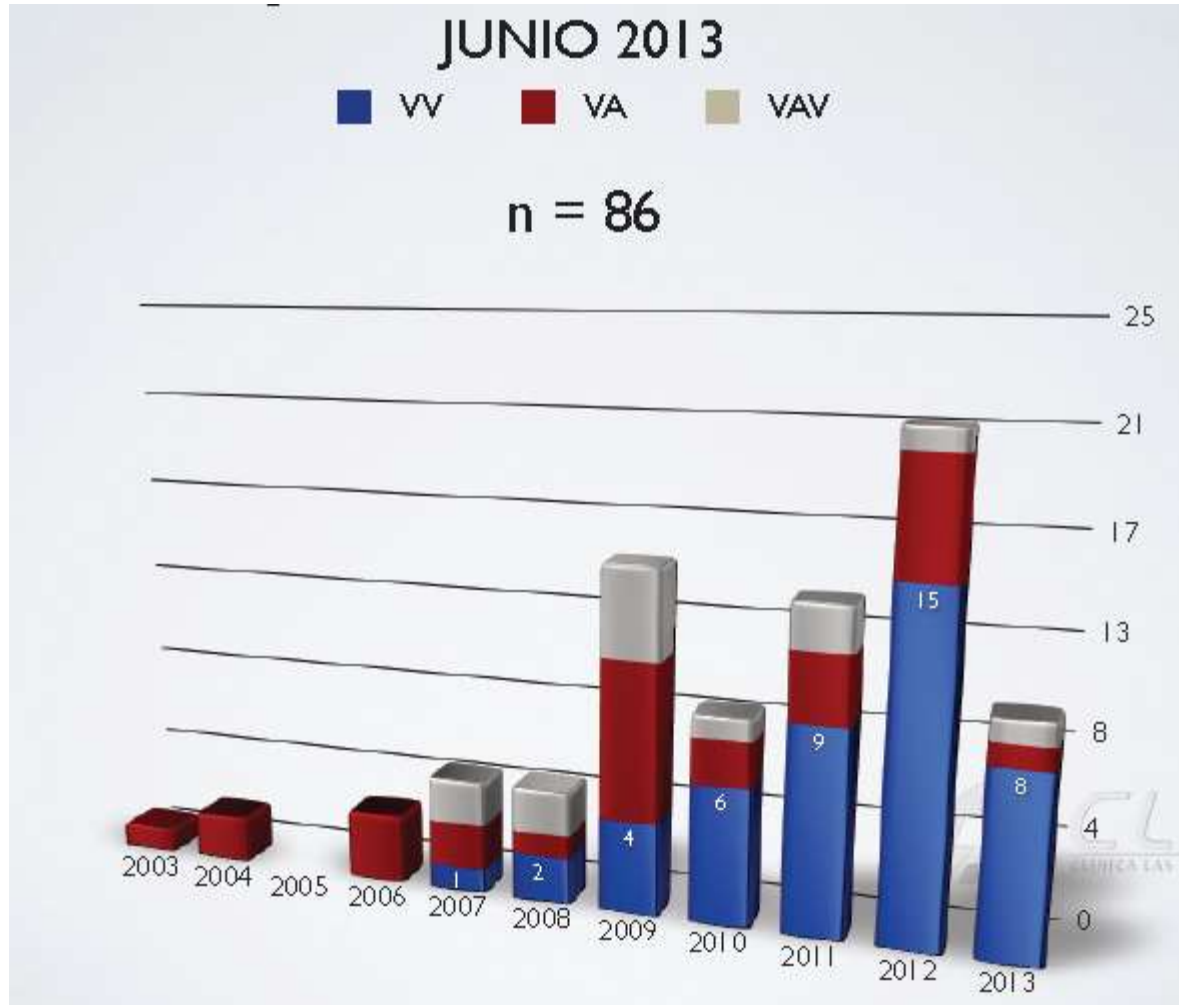


FIGURE 2 Kaplan–Meier survival estimates, by allocation.

CLINICA LAS CONDES – SANTIAGO DE CHILE



Extracorporeal Life Support Organization

Resultados CLC

Resumen Internacional - Junio 2013
SOBREVIDA

n=86

INDICACION	NEONATAL	PEDIATRICA	ADULTOS
Respiratoria	75% - 3/3	56% - (10/15) 67%	55% - (29/41) 71%
Cardíaca	40% - NO	49% - NO	39% - (6/21) 29%
ECPR	39% - NO	41% - 2/2	28% - 0/3

n=85 + 1 en curso

58% sobrevida global



registro ELSO



Extracorporeal Life Support Organization

Soporte vital extracorpóreo para la falla respiratoria en adultos

	Total de casos	Sobrevivientes	% sobrevivientes
Neumonía bacteriana	186	97	52
Neumonía viral	87	54	62
Neumonía por aspiración	32	18	56
SDRA postor/trauma	132	68	52
SDRA no postor/trauma	196	100	51
ALI, no SDRA	55	35	64
Otros	317	154	49

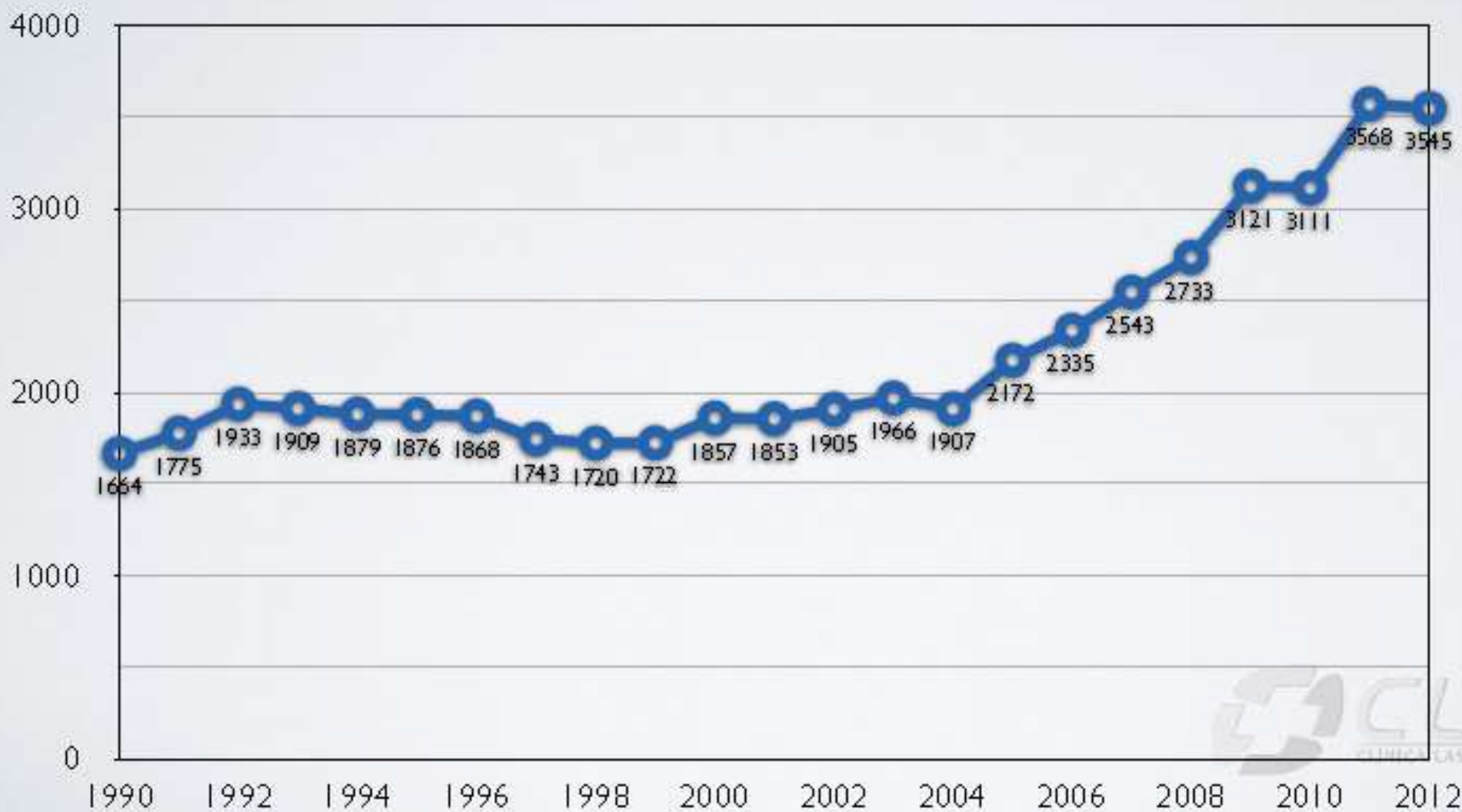
registro ELSO

TABLA 3. REGISTRO INTERNACIONAL EL SO ENERO 2011 (32)

	TOTAL (N)	SOBREVIVEN ECMO (%)	DE ALTA O TRASLADADOS (%)
NEONATAL			
Respiratoria	24344	20608 (85%)	18276 (75%)
Cardiaca	4232	2566 (61%)	1663 (39%)
ECPR	640	403 (63%)	245 (38%)
PEDIÁTRICA			
Respiratoria	4771	3094 (65%)	2656 (56%)
Cardiaca	5221	3322 (64%)	2502 (48%)
ECPR	1220	646 (53%)	479 (39%)
ADULTO			
Respiratoria	2340	1474 (63%)	1261 (54%)
Cardiaca	1540	812 (53%)	598 (39%)
516	381	201 (39%)	153 (30%)
TOTAL	44824	33126 (74%)	27833 (62%)

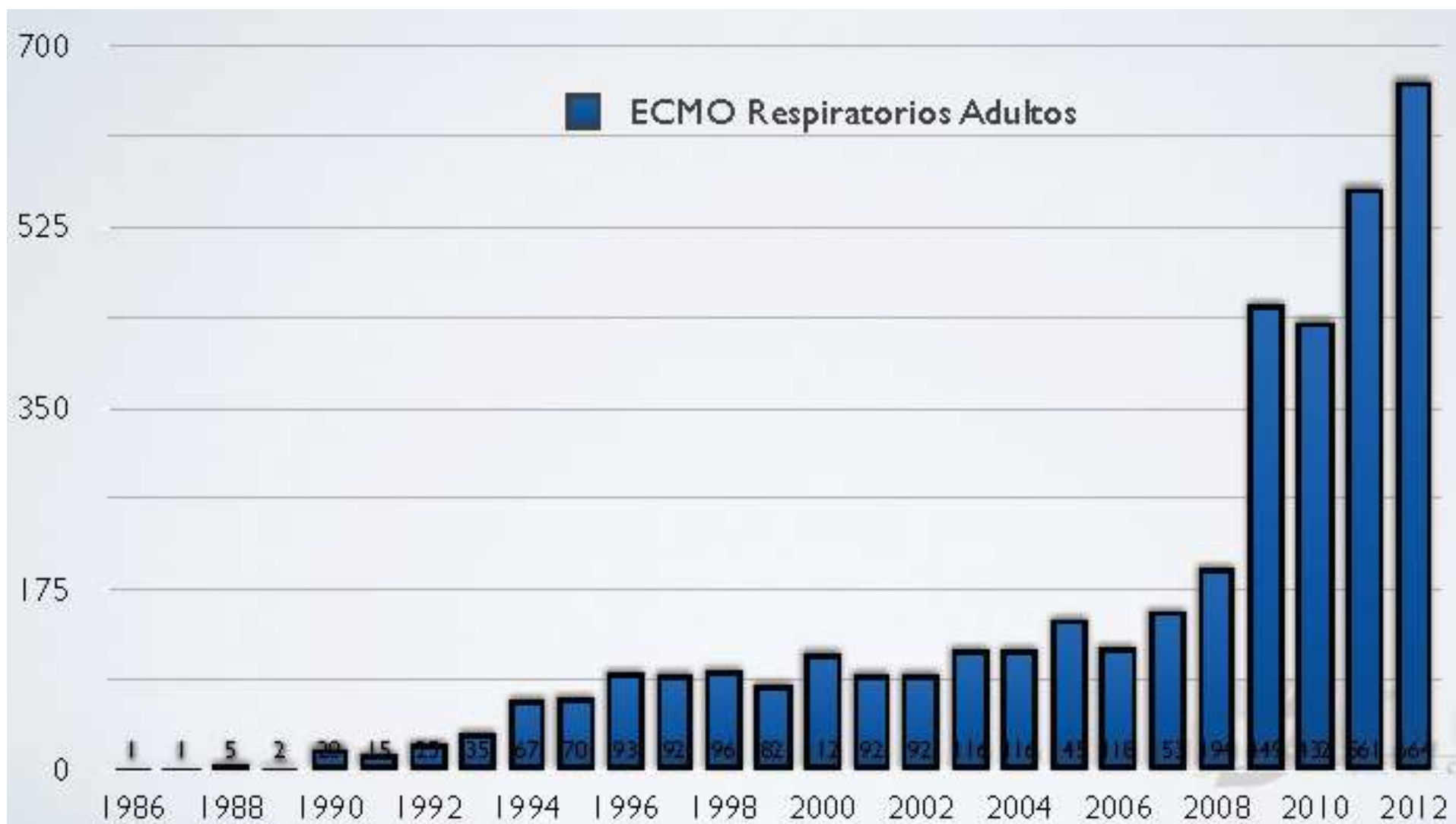
ELSO

NUMERO DE CASOS ECMO – ENERO 2013



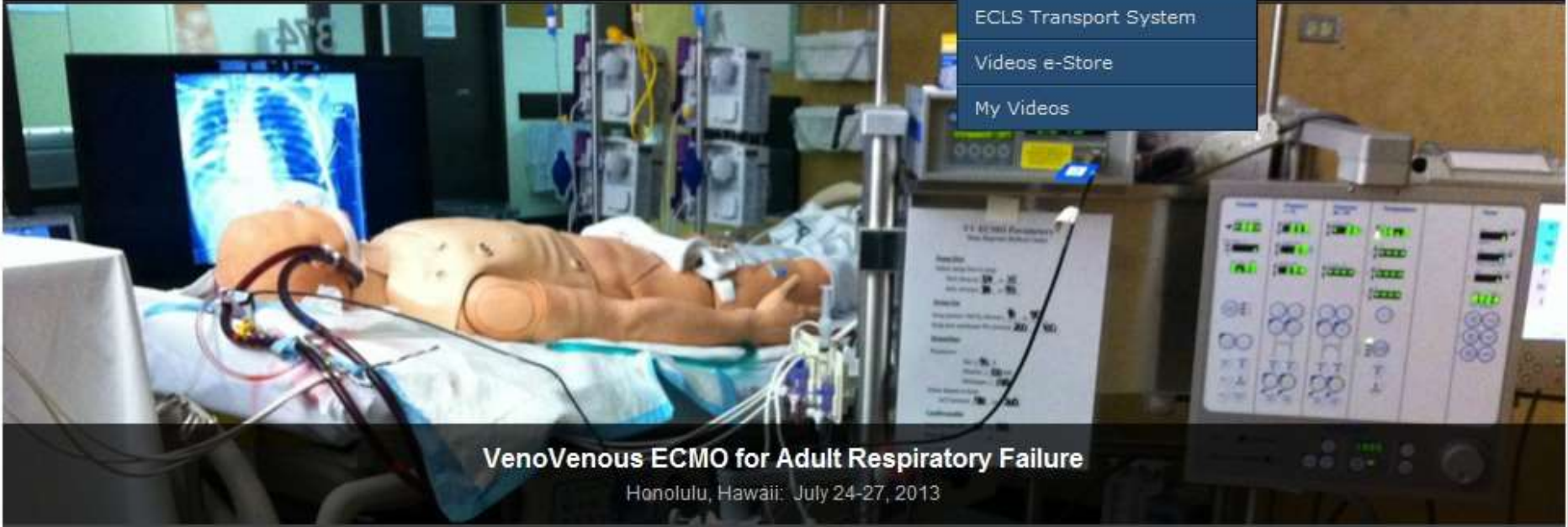
ELSO

SOPORTE RESPIRATORIO – ENERO 2013





- ECLS Transport System
- Videos e-Store
- My Videos



VenoVenous ECMO for Adult Respiratory Failure

Honolulu, Hawaii: July 24-27, 2013

Welcome!

Members, please log in on the top right.

The Extracorporeal Life Support Organization (ELSO) is an international consortium of health care professionals and scientists who are dedicated to the development and evaluation of novel therapies for support of failing organ systems. Crucial is the promotion of a broad multidisciplinary collaboration. The primary mission of the Organization

- News Feeds
- Announcements
- Clinical Trials
- Device
- Research
- Transition from ECMO to left ventricular support via trans-catheter cannula using a single





**ELSO GUIDELINES FOR TRAINING AND CONTINUING EDUCATION
OF ECMO SPECIALISTS**

TRAINING OUTLINE: NEW ECMO PROGRAM

- A. **Didactic Course**: The didactic course should include, but not be limited to the following topics. Between 24 to 36 hours will be required to cover the following material. Case presentations are encouraged.

- B. **Water-drills**: These sessions should be small enough so that each individual has hands-on experience. A full understanding of all possible circuit emergencies and the appropriate intervention should be accomplished by the end of this session. Each trainee should be able to describe and conceptually demonstrate how to change the major equipment (oxygenator, heat exchange, bladder) in a reasonable period of time. They should be able to change less complicated components of the circuit (raceway, pigtails, and checking pump head occlusion on ECMO) in a pre-established period of time.

- C. **Animal Laboratory Sessions**: As bedside training sessions are not possible in a new ECMO center, more extensive laboratory training is required compared to an experienced center.

PROYECTO DE TRABAJO

**UNIDAD DE SOPORTE VITAL EXTRACORPOREO(ECLS) –
OXIGENACION EXTRACORPOREA POR MEMBRANA (ECMO)**

SERVICIO DE CUIDADOS INTENSIVOS I - HNERM EsSALUD

**UNIDAD DE SOPORTE VITAL EXTRACORPOREO(ECLS) –
OXIGENACION EXTRACORPOREA POR MEMBRANA (ECMO)**

SERVICIO DE CUIDADOS INTENSIVOS I - HNERM EsSALUD

PROGRAMA DE CAPACITACION

Modelo experimental animal para
ECMO

sus scrofa domestica (especie porcina)

UCI ZC - HNERM - ESALUD

ANEXO 4: IOT EN CERDOS

Relación entre el tamaño del tubo endotraqueal y el peso del animal

Peso del animal (kg)	Diámetro (mm)
< 10	3-4
10-15	4-5
15-25	5-6
25-50	6-9
50-100	8-10
> 1000	10-16

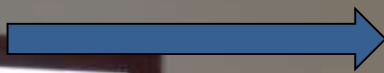


ORGANIZACIÓN DE LA SALA





UCI- HNERM



Animal Lab sessions



ECMO TEAM 1



ECMO TEAM 1

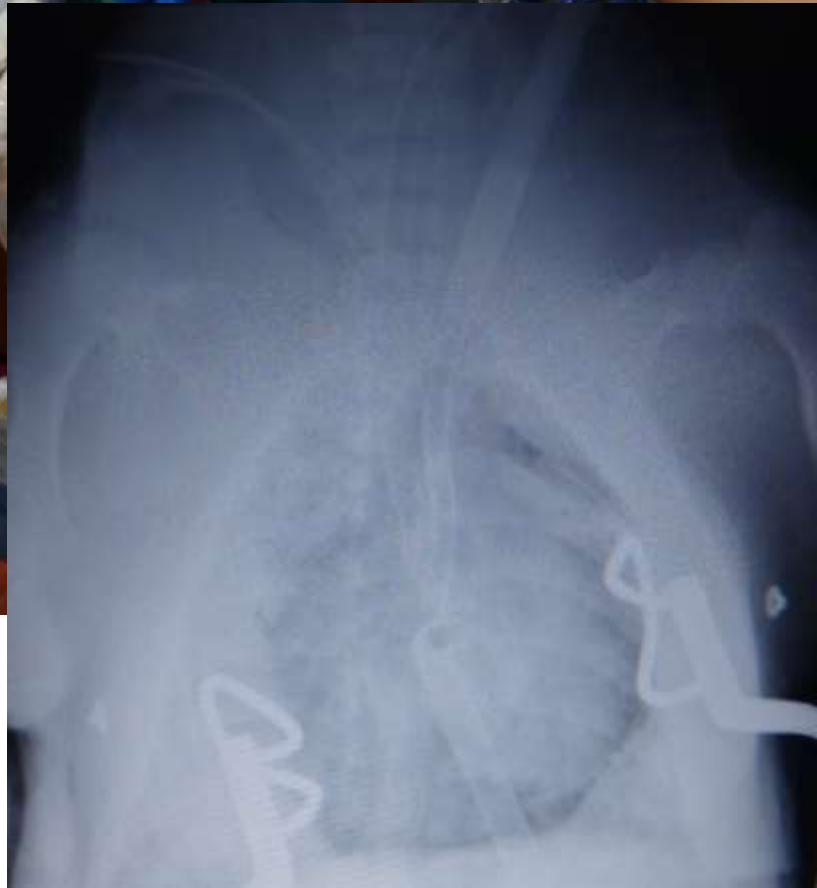
A photograph of a hospital room where two teams of medical professionals are performing ECMO. The room is filled with medical equipment, including monitors, pumps, and tubing. Several staff members are wearing blue scrubs and surgical masks, while others are in white lab coats. A patient is lying on a gurney in the center of the room. The room has a red carpet and a projector mounted on the ceiling. A yellow text box in the upper right corner identifies the team as 'ECMO TEAM 3'.

ECMO TEAM 3

ECMO TEAM 2

MODELO DE FALLA RESPIRATORIA AGUDA

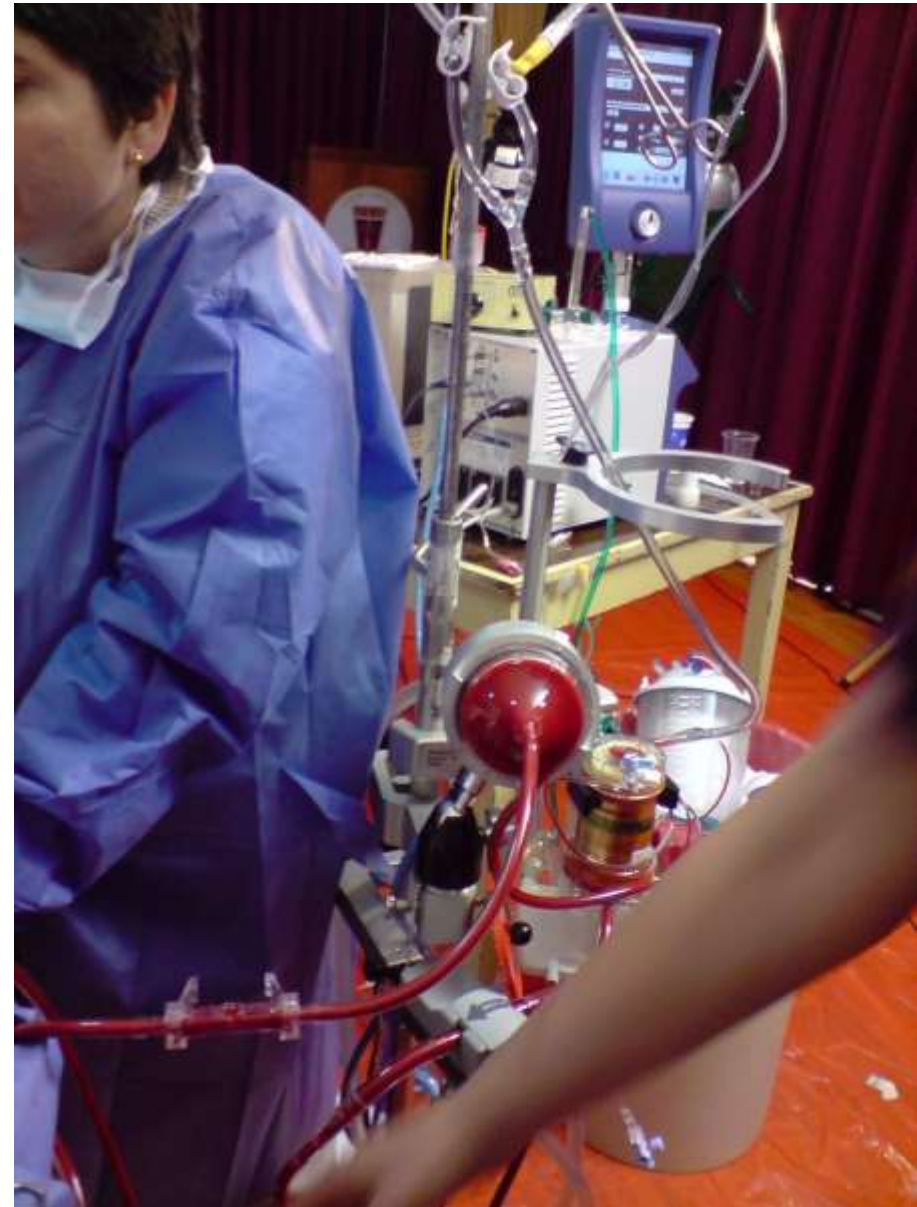




UCI- HNERM



Animal Lab sessions



UCI- HNERM



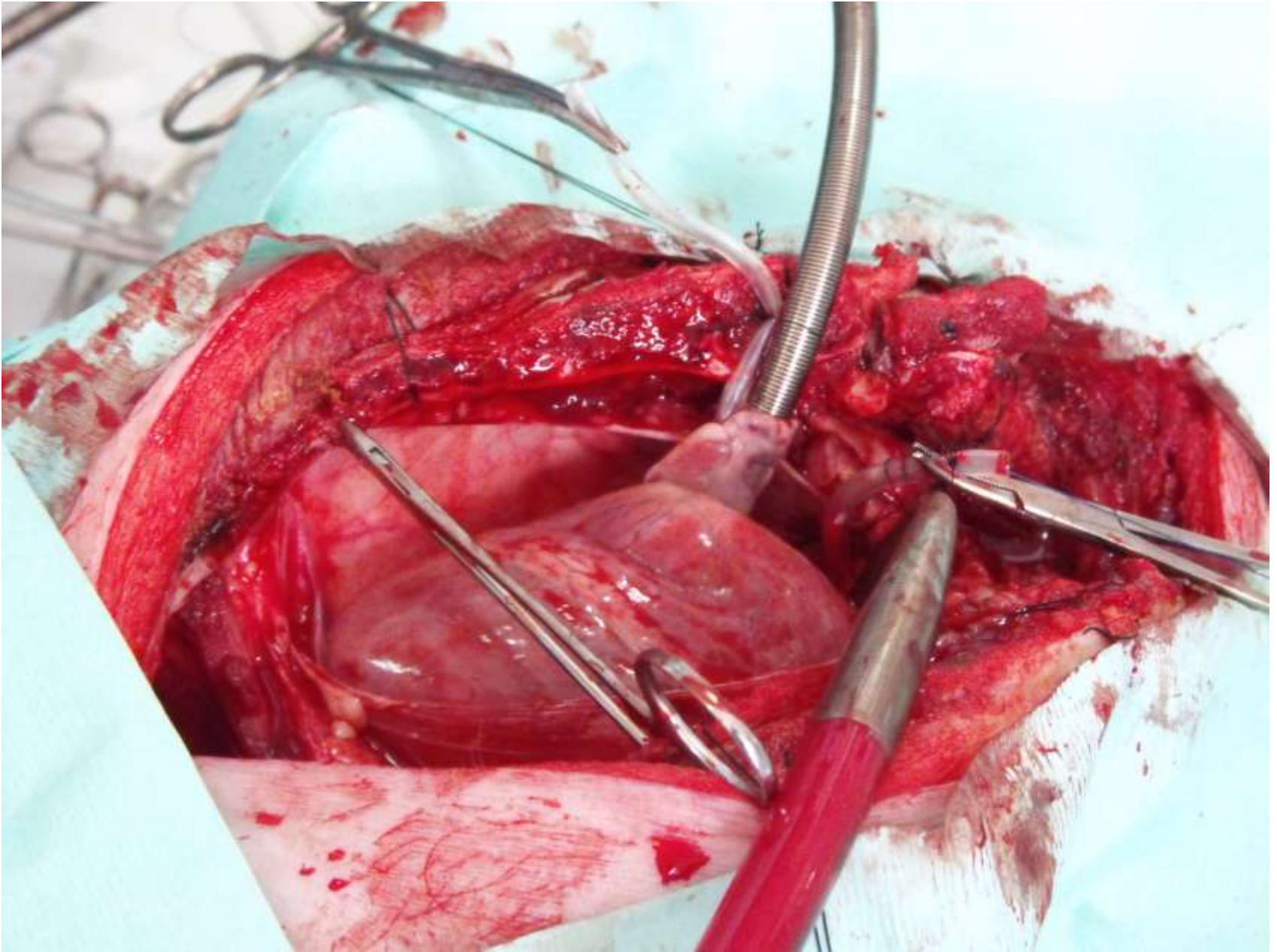
Animal Lab sessions



FCV
Colombia



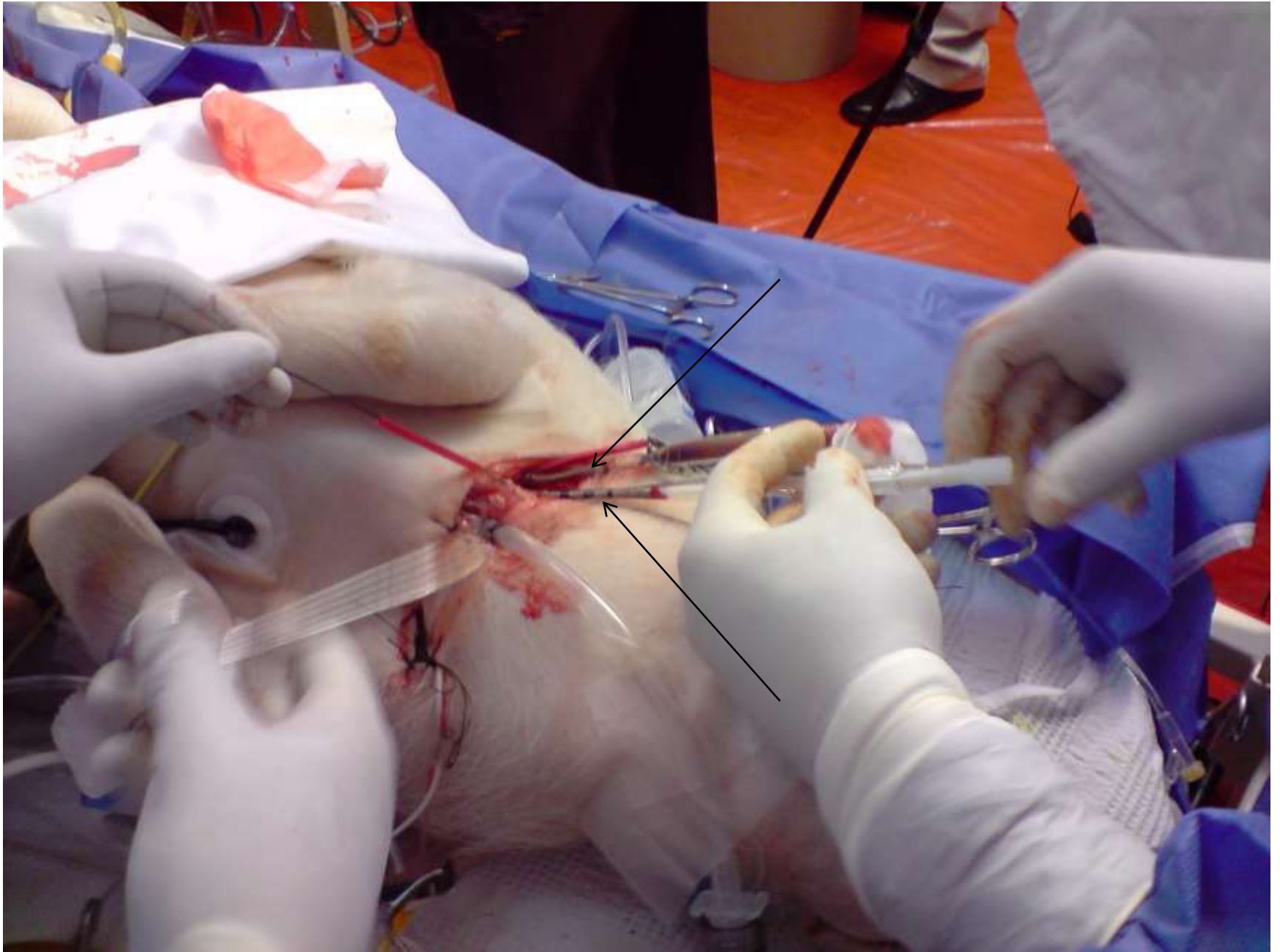
CANULACION CENTRAL PARA ECMO



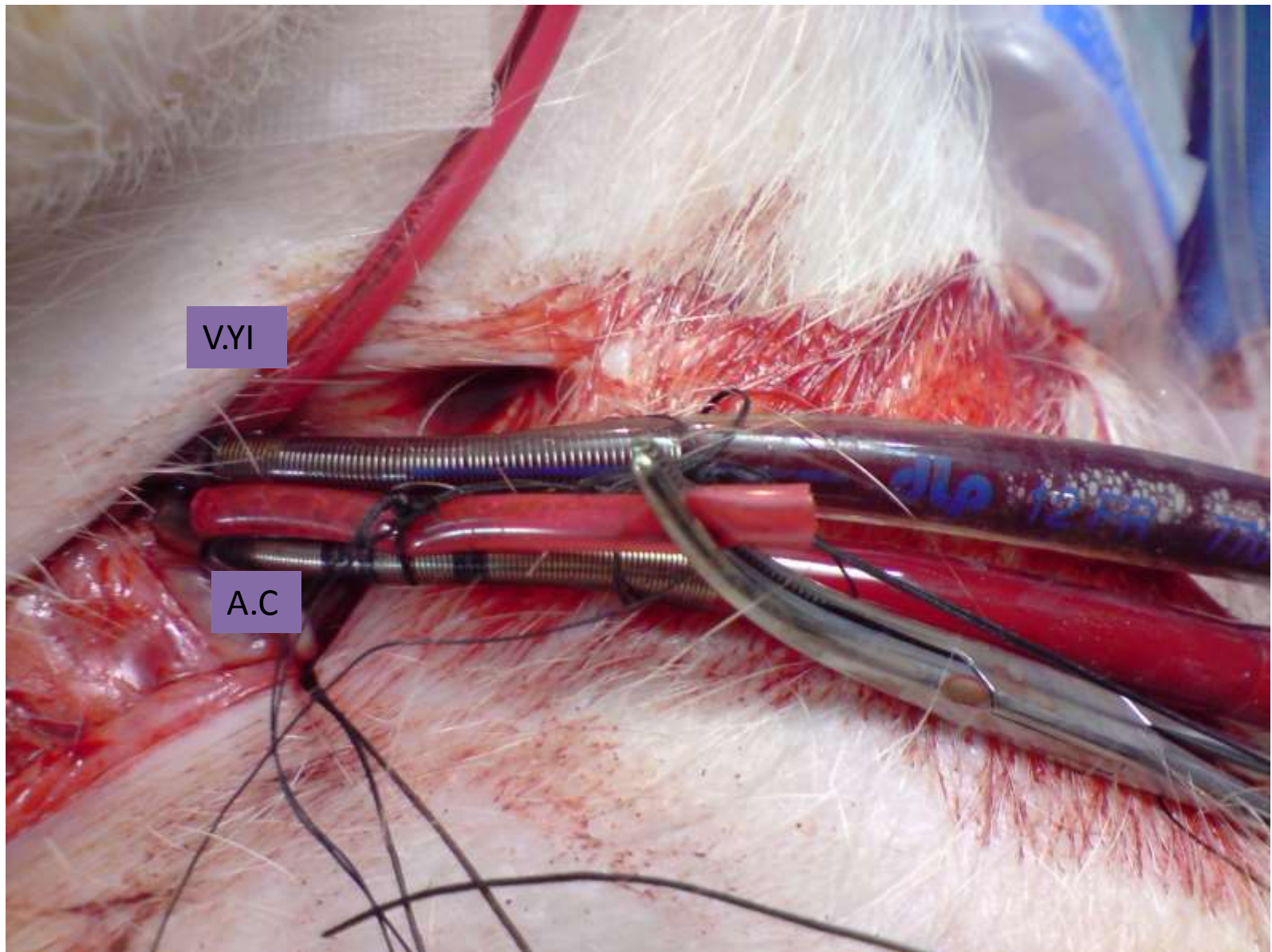
CANULACION CENTRAL PARA ECMO



CANULACION V-A

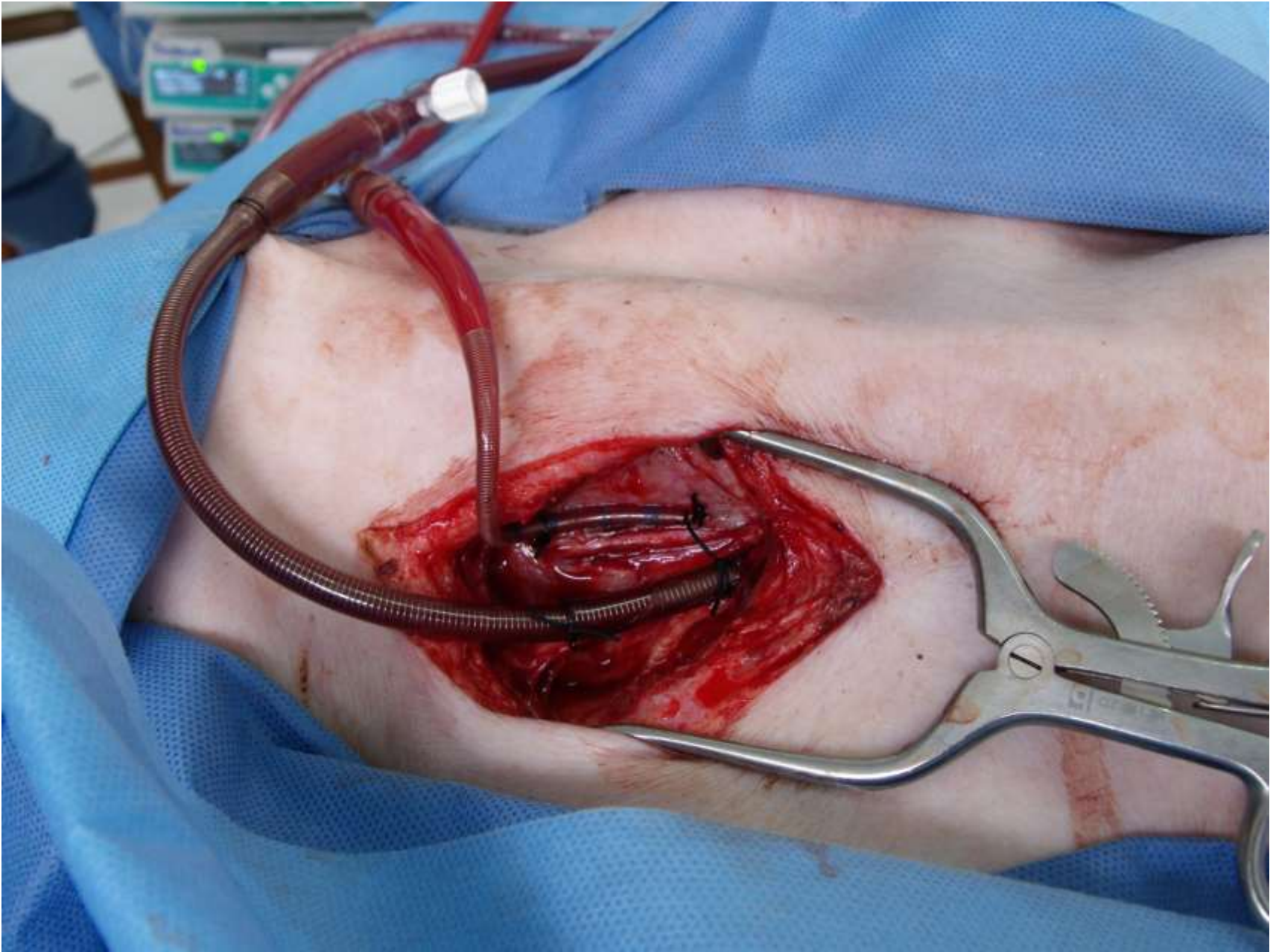


CANULACION V-A (cervical)



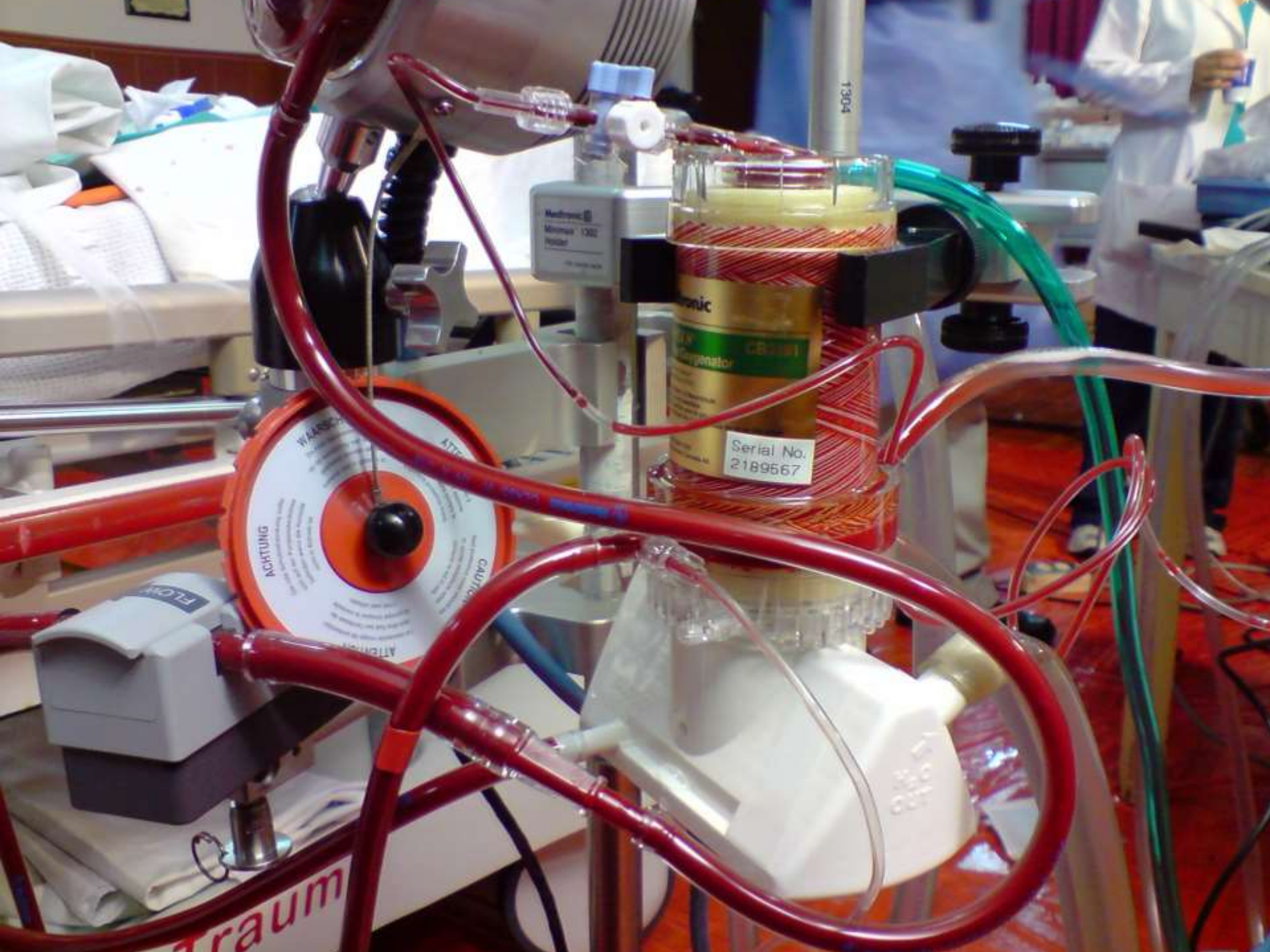


CANULACION V-A (femoral)









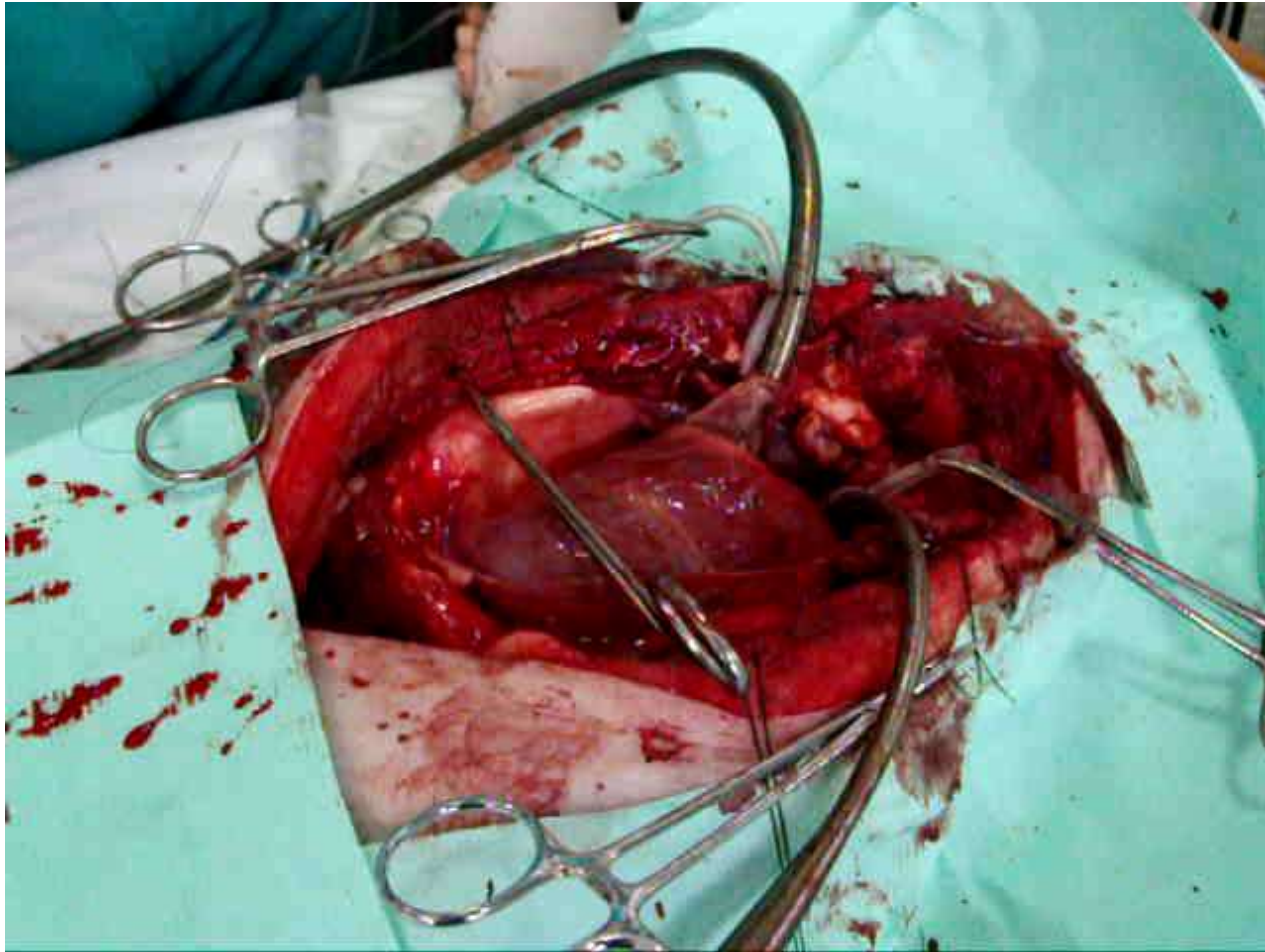
Medtronic
Minimax 1302
Peristaltic

Medtronic
Minimax 1302
Peristaltic
Serial No.
2189567

ACHTUNG
CAUTION
Attention
Warning

FLOW
traum

ANIMAL-LAB CANULACION CENTRAL









Curso PRINCIPIOS Y PRACTICAS DEL SOPORTE
VITAL EXTRACORPÓREO
CLUB CAMPESTRE. FLORIDABLANCA COLOMBIA

**“Si buscas resultados
distintos, no hagas siempre
lo mismo”**

Albert Einstein